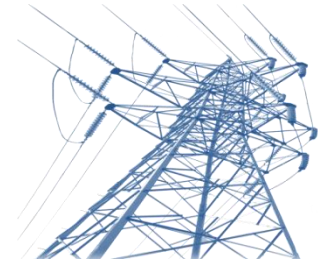


# 工程电磁场

稻叶先生



# 3. 静态电磁场 恒定电流的电场和磁场

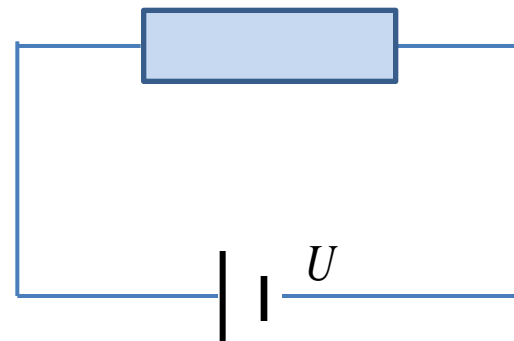


## 3.1 恒定电场基本方程与场的特性

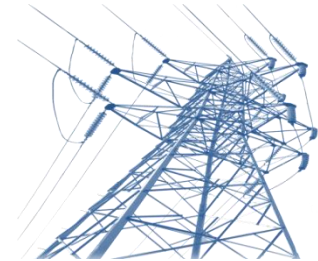
恒定电场：与恒定电流相伴随的电场，该电场不随时间变化。

分析：导体两端施加电压 $U$ ，导体中形成电场，驱使其中的自由电子持续定向运动，呈现直流即恒定电流，此时导体中 $\mathbf{E} \neq 0$ 。

静电场与恒定电场的差异与联系：



- (1) 为何静电场中电荷静止而恒定电场中电荷持续移动形成电流？
- (2) 导体特征有何差异？
- (3) 场的特征的差异？



### 3. 静态电磁场 恒定电流的电场和磁场

#### 3.1.1 恒定电场基本方程：无散、无旋

电荷守恒：
$$\oint_S \mathbf{J}_c \cdot d\mathbf{S} = -\frac{\partial q}{\partial t} = -\frac{\partial}{\partial t} \int_V \rho dV = -\int_V \frac{\partial \rho}{\partial t} dV$$

分析：导体当中 $\rho$ 为常数，不随时间变化，故右端为零，即

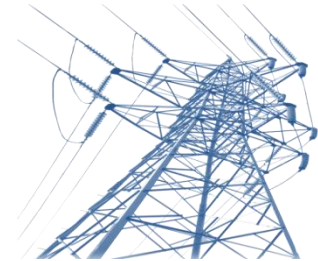
$$\oint_S \mathbf{J}_c \cdot d\mathbf{S} = 0 \quad \Rightarrow \quad \nabla \cdot \mathbf{J}_c = 0 \quad \text{无散性}$$

另一方面，恒定电场可看作是电源极板上驻定电荷引起的静态电场，

$$\oint_l \mathbf{E} \cdot d\mathbf{l} = 0 \quad \Rightarrow \quad \nabla \times \mathbf{E} = 0 \quad \text{无旋性}$$

媒质构成方程：
$$\mathbf{J}_c = \gamma \mathbf{E}$$

### 3. 静态电磁场 恒定电流的电场和磁场



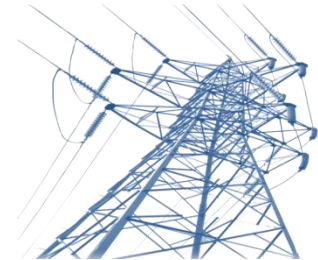
#### 3.1.1 恒定电场基本方程：无散、无旋

由无旋性： $\nabla \times \mathbf{E} = 0$   $\Rightarrow$   $\mathbf{E} = -\nabla \varphi$  类似于静电场可引入标量电位

$$U_{PQ} = \int_P^Q \mathbf{E} \cdot d\mathbf{l} \quad \varphi_P = \int_P^\infty \mathbf{E} \cdot d\mathbf{l}$$

$$\left. \begin{array}{l} \nabla \cdot \mathbf{J}_c = 0 \\ \mathbf{E} = -\nabla \varphi \\ \mathbf{J}_c = \gamma \mathbf{E} \end{array} \right\} \nabla^2 \varphi = 0 \quad \text{可基于边值问题求恒定电场}$$

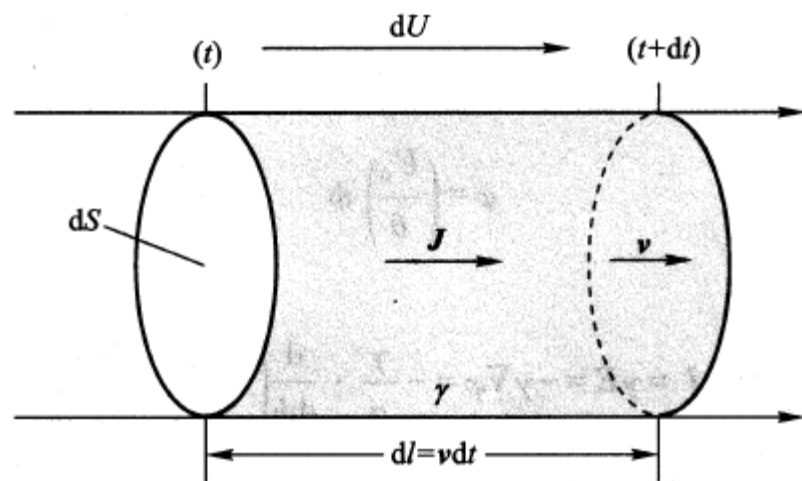
# 3. 静态电磁场 恒定电流的电场和磁场



## 3.1.2 电功率 电动势

导体电流热效应： 电荷运动，与晶格相碰撞，产生热，此部分的能量由电源提供，具体是电源通过电场力作功输送电子，供热能消耗。

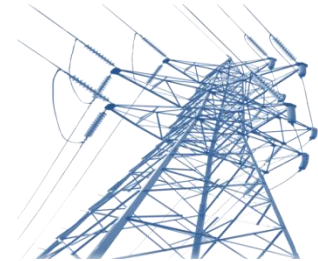
电功率： 取一元电流管，设电场作用下， $dt$ 时间内，电荷 $dq$ 由导体左端面移动到右端面，电场力作功为



$$dW = dU \cdot dq \quad (\text{由外电源提供})$$

$$dP = \frac{dW}{dt} = \frac{dU dq}{dt} = dU dI = (\mathbf{E} \cdot d\mathbf{l})(\mathbf{J} \cdot d\mathbf{S}) = EJ dV$$

$$\Rightarrow p = dP / dV = EJ = \gamma E^2 = J^2 / \gamma \quad (\text{W/m}^3)$$



### 3. 静态电磁场 恒定电流的电场和磁场

#### 3.1.2 电功率 电动势

一般地,  $p = \mathbf{E} \cdot \mathbf{J}$  电功率体密度

电动势: (与感应电动势完全不同的概念)

电池: 通过化学作用, 使得溶液中的正负电荷分开, 并分别趋向于正负电极, 维持板间电压, 从而建立恒定电场, 本质上将化学能转为电能。

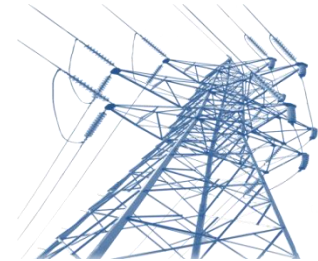
定义: 电源中将正负电荷分开的力为局外力 $\mathbf{F}_e$ , 进而引入局外场强

$$\mathbf{E}_e = \mathbf{F}_e / q \quad \text{等效场强}$$

为了衡量电源将其他能量转化为电能的能力,

定义:  $e = \int_{-}^{+} \mathbf{E}_e \cdot d\mathbf{l}$  积分在电源内部由负极到正极

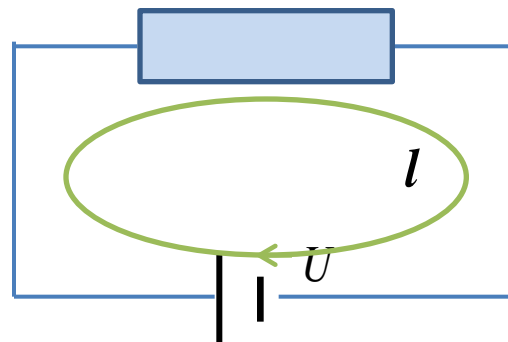
### 3. 静态电磁场 恒定电流的电场和磁场

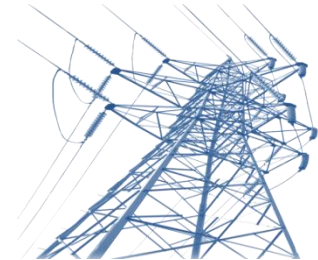


#### 3.1.2 电功率 电动势

注意： 电源内部也有库仑电场

思考题：沿闭合路径 $l$ 作电场的积分，结果？





### 3. 静态电磁场 恒定电流的电场和磁场

#### 3.1.3 不同媒质分界面的边界条件

(1) 两种不同导电媒质

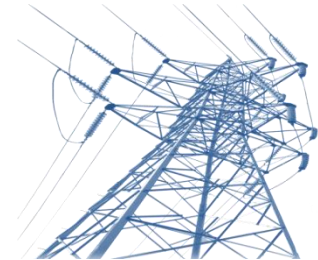
由

$$\oint_l \mathbf{E} \cdot d\mathbf{l} = 0 \quad \Downarrow \quad E_{1t} = E_{2t}$$
$$\oint_S \mathbf{J}_c \cdot d\mathbf{S} = 0 \quad \Downarrow \quad J_{2n} = J_{1n}$$
$$\mathbf{e}_n \times (\mathbf{E}_2 - \mathbf{E}_1) = 0 \quad \mathbf{e}_n \cdot (\mathbf{J}_2 - \mathbf{J}_1) = 0$$
$$\begin{aligned} E_1 \sin \alpha_1 &= E_2 \sin \alpha_2 \\ \gamma_1 E_1 \cos \alpha_1 &= \gamma_2 E_2 \cos \alpha_2 \end{aligned} \quad \Rightarrow \quad \frac{\tan \alpha_1}{\tan \alpha_2} = \frac{\gamma_1}{\gamma_2}$$

折射定理



### 3. 静态电磁场 恒定电流的电场和磁场



#### 3.1.3 不同媒质分界面的边界条件

(2) 良导体和不良导体  $\gamma_1 \gg \gamma_2$

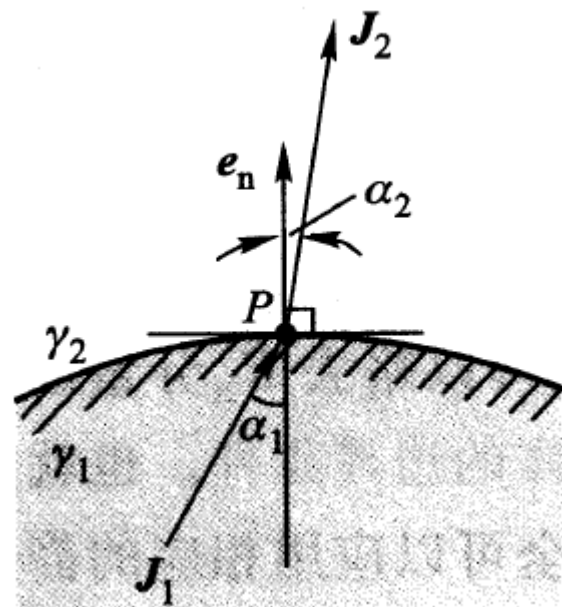
由 
$$\frac{\tan \alpha_1}{\tan \alpha_2} = \frac{\gamma_1}{\gamma_2} \rightarrow \infty$$

➡ 当  $\alpha_1 \neq \pi/2$   $\tan \alpha_1$  为一有限值

➡  $\alpha_2 \approx 0$  ➡ 电流垂直于交界面，流入不良导体

由于  $E_{1t} = E_{2t} \approx 0$

➡ 良导体表面近似为等位面。



例:  $\gamma_{steel} = 5 \times 10^6 \text{ S/m}$   $\gamma_{soil} = 1 \times 10^{-2} \text{ S/m}$

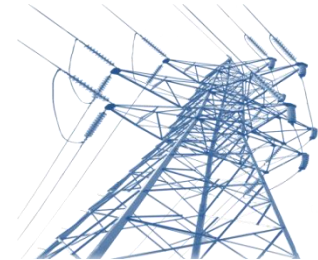
$$\alpha_1 = 89^\circ 59' 50''$$

$$\alpha_2 = 8''$$

➡  $J_{2t} = \gamma_2 E_{2t} \approx 0$



### 3. 静态电磁场 恒定电流的电场和磁场

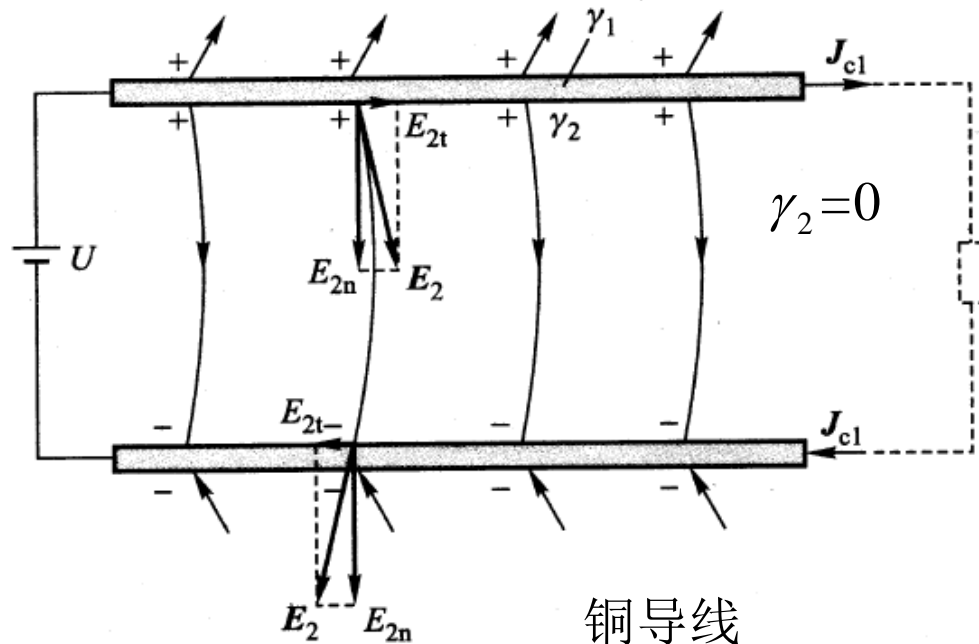


#### 3.1.3 不同媒质分界面的边界条件

(3) 导体和理想介质  $\gamma_1 \gg \gamma_2 = 0$

$$\gamma_2 = 0 \Rightarrow \mathbf{J}_2 = 0$$

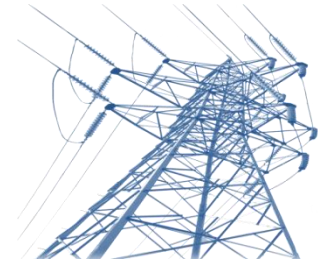
$$\begin{aligned} E_{1t} = E_{2t} \\ J_{1n} = J_{2n} \end{aligned} \Rightarrow J_{2n} = 0 = J_{1n}$$



媒质1:  $J_{1n} = 0 \Rightarrow E_{1n} = 0 \Rightarrow J_1 = J_{1t} \quad E_{1t} = J_1 / \gamma_1 = 0.086 \text{ V/m}$

媒质2:  $J_{2n} = 0 \Rightarrow \begin{aligned} E_{2n} &= J_{2n} / \gamma_2 \quad ? \\ E_{2t} &= E_{1t} \end{aligned} \quad U = \int_+^- E_{2n} \cdot dl \quad E_{2n} = 3 \times 10^6 \text{ V/m}$

$$\Rightarrow E_{2n} \gg E_{2t} \Rightarrow \text{导体近似为等位体}$$



### 3. 静态电磁场 恒定电流的电场和磁场

#### 3.1.3 不同媒质分界面的边界条件

##### (4) 两种有损电介质

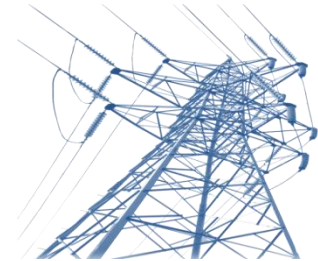
有损： 介质不是理想的，有导体的性质，可以导电

$$\begin{aligned} J_{1n} = J_{2n} &\quad \longrightarrow \quad \gamma_1 E_{1n} = \gamma_2 E_{2n} \\ D_{2n} - D_{1n} = \sigma &\quad \longrightarrow \quad \varepsilon_2 E_{2n} - \varepsilon_1 E_{1n} = \sigma \end{aligned} \quad \left. \vphantom{\begin{aligned} J_{1n} = J_{2n} \\ D_{2n} - D_{1n} = \sigma \end{aligned}} \right\} \text{寻求}\sigma\text{与}\mathbf{J}\text{的关系}$$

可解得， 
$$\sigma = \frac{\varepsilon_2 \gamma_1 - \varepsilon_1 \gamma_2}{\gamma_1 \gamma_2} J_{2n}$$

可知，当 
$$\varepsilon_2 \gamma_1 = \varepsilon_1 \gamma_2 \sim \frac{\varepsilon_1}{\varepsilon_2} = \frac{\gamma_1}{\gamma_2} \quad \longrightarrow \quad \sigma = 0$$

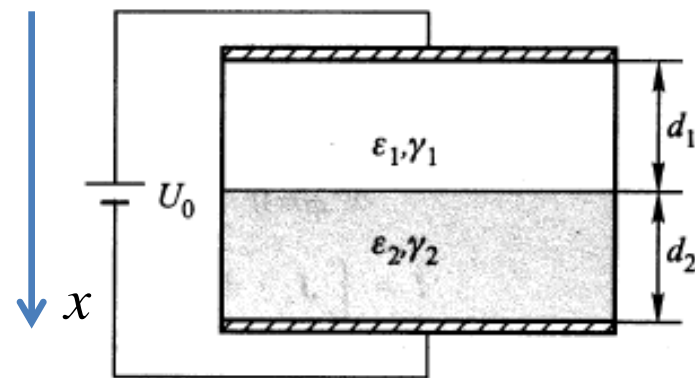
### 3. 静态电磁场 恒定电流的电场和磁场



#### 3.1.3 不同媒质分界面的边界条件

例3-2：两层非理想介质（有损电介质）构成的平板电容器，如图所示，介电常数和电导率已知，外施电压为 $U_0$ ，求：

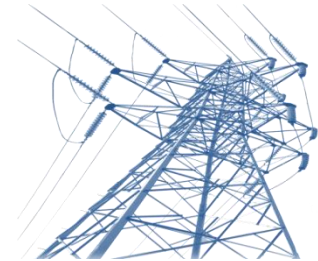
- (1) 两层非理想介质中的电场强度；
- (2) 单位体积中的电场能量及功率损耗；
- (3) 两层介质分界面上的自由电荷面密度。



解： (1)  $U_0 = \int_+^- \mathbf{E} \cdot d\mathbf{l} \quad \Rightarrow \quad E_1 d_1 + E_2 d_2 = U_0$

$$J_{1n} = J_{2n} \quad \Rightarrow \quad J_1 = J_{1n} = J_{2n} = J_2 \quad \Rightarrow \quad \gamma_1 E_1 = \gamma_2 E_2$$

### 3. 静态电磁场 恒定电流的电场和磁场



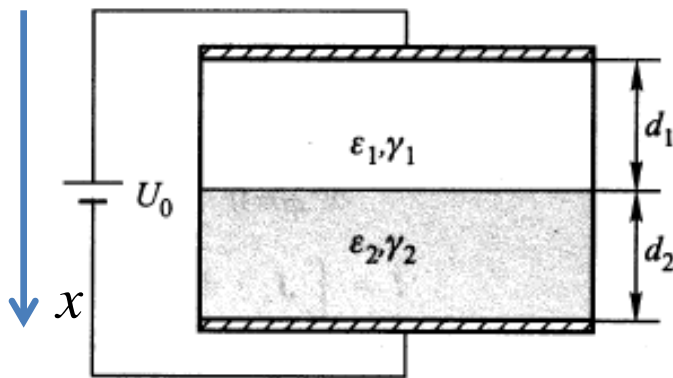
#### 3.1.3 不同媒质分界面的边界条件

可解得 
$$\mathbf{E}_1 = \frac{\gamma_2 U_0}{\gamma_1 d_2 + \gamma_2 d_1} \mathbf{e}_x \quad \mathbf{E}_2 = \frac{\gamma_1 U_0}{\gamma_1 d_2 + \gamma_2 d_1} \mathbf{e}_x$$

(2)

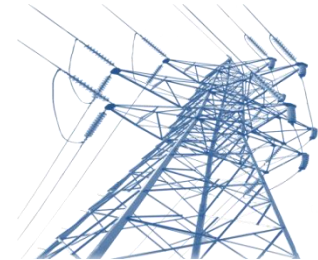
$$w_{e1} = \frac{1}{2} \mathbf{D}_1 \cdot \mathbf{E}_1 = \frac{1}{2} \varepsilon_1 E_1^2 \quad w_{e2} = \frac{1}{2} \mathbf{D}_2 \cdot \mathbf{E}_2 = \frac{1}{2} \varepsilon_2 E_2^2$$

$$p_1 = \mathbf{J}_1 \cdot \mathbf{E}_1 = \gamma_1 E_1^2 \quad p_2 = \mathbf{J}_2 \cdot \mathbf{E}_2 = \gamma_2 E_2^2$$



(3) 分界面自由电荷面密度

$$\sigma = \frac{\varepsilon_2 \gamma_1 - \varepsilon_1 \gamma_2}{\gamma_1 \gamma_2} J_{2n} = \frac{\varepsilon_2 \gamma_1 - \varepsilon_1 \gamma_2}{\gamma_1 \gamma_2} J_2 = \frac{\varepsilon_2 \gamma_1 - \varepsilon_1 \gamma_2}{\gamma_1 \gamma_2} \gamma_2 \frac{\gamma_1 U_0}{\gamma_1 d_2 + \gamma_2 d_1} = \frac{\varepsilon_2 \gamma_1 - \varepsilon_1 \gamma_2}{\gamma_1 d_2 + \gamma_2 d_1} U_0$$



### 3. 静态电磁场 恒定电流的电场和磁场

#### 3.2 恒定电场与静电场的比拟 接地系统

##### 3.2.1 静电比拟

均匀导电媒质中

$$\nabla \cdot \mathbf{J}_c = 0$$

$$\nabla \times \mathbf{E} = 0$$

$$\mathbf{E} = -\nabla \varphi$$

$$\mathbf{J}_c = \gamma \mathbf{E}$$

$$\nabla^2 \varphi = 0$$

$$I = \int_S \mathbf{J}_c \cdot d\mathbf{S}$$

$$\nabla \cdot \mathbf{D} = 0 \quad (\rho = 0)$$

$$\nabla \times \mathbf{E} = 0$$

$$\mathbf{E} = -\nabla \varphi$$

$$\mathbf{D} = \varepsilon \mathbf{E}$$

$$\nabla^2 \varphi = 0$$

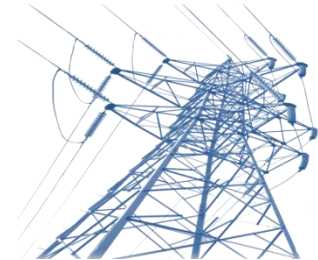
$$\psi(q) = \int_S \mathbf{D} \cdot d\mathbf{S}$$

均匀电介质中

➡ (1) 两种场均可基于边值问题 (BVP) 求解和分析

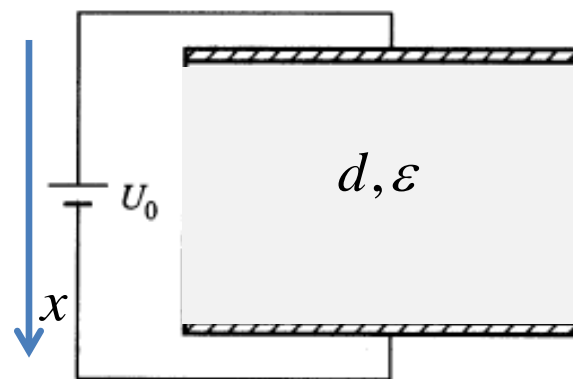
(2) 由唯一性定理, 当边界条件相同时,  $\varphi$  同,  $\mathbf{E}$  同,  $\mathbf{J}$ ,  $\mathbf{D}$  分布规律一致

### 3. 静态电磁场 恒定电流的电场和磁场

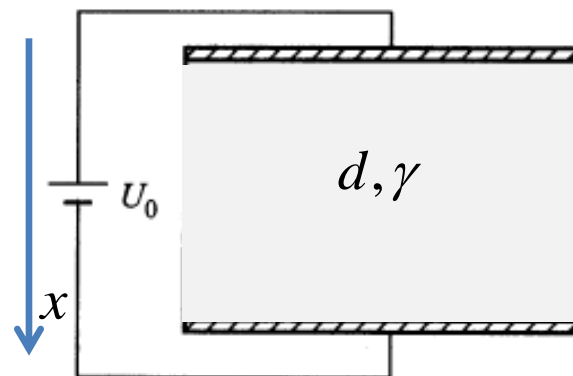


#### 3.2.1 静电比拟

单一均匀电介质:      BVP: 
$$\begin{cases} \nabla^2 \varphi = 0 \\ \varphi|_{x=0} = U_0 \\ \varphi|_{x=d} = 0 \end{cases}$$



单一均匀导电媒质:      BVP: 
$$\begin{cases} \nabla^2 \varphi = 0 \\ \varphi|_{x=0} = U_0 \\ \varphi|_{x=d} = 0 \end{cases}$$



➡ 由唯一性定理,  $\varphi$ 同,  $E$ 同,  $J$ ,  $D$ 分布相似

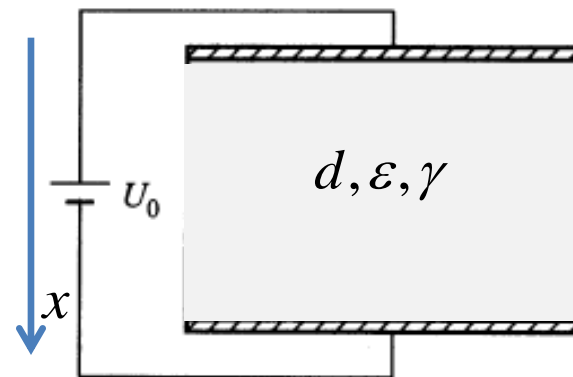
# 3. 静态电磁场 恒定电流的电场和磁场



## 3.2.1 静电比拟

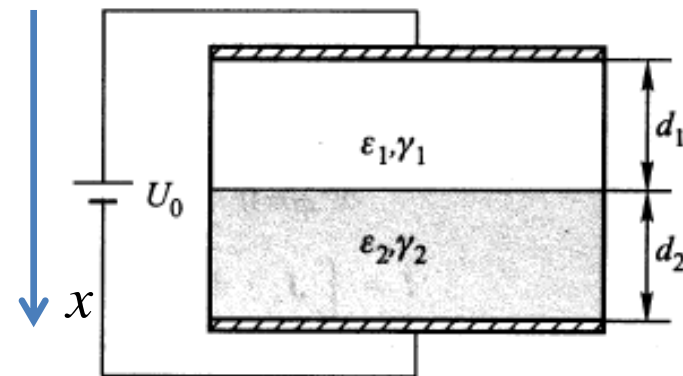
a. 单一媒质（极化+导电）：

$$\left\{ \begin{array}{l} \nabla^2 \varphi = 0 \\ \varphi|_{x=0} = U_0 \\ \varphi|_{x=d} = 0 \end{array} \right.$$



解出 $\varphi$ ，得到 $\mathbf{E}$ ，再得到 $\mathbf{J}$ ， $\mathbf{D}$ ，二者分布相似。

b. 非单一媒质（分块均匀）：



$$\frac{\tan \alpha_1}{\tan \alpha_2} = \frac{\varepsilon_1}{\varepsilon_2} \quad \text{静电场}$$

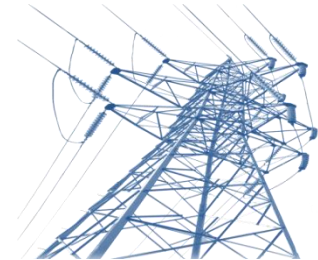
$$\frac{\tan \alpha_1'}{\tan \alpha_2'} = \frac{\gamma_1}{\gamma_2} \quad \text{恒定电场}$$

$$\frac{\varepsilon_1}{\varepsilon_2} = \frac{\gamma_1}{\gamma_2}$$



$\mathbf{J}$ ， $\mathbf{D}$ 分布相似





### 3. 静态电磁场 恒定电流的电场和磁场

#### 3.2.1 静电比拟

静电比拟： 基于场分布的相似性，可将一种场的计算和实验结果（**场量，参数等**），推广应用于另一种场，将这种方法称之为静电比拟。

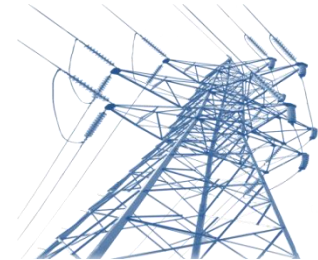
电容： 
$$C = \frac{q}{U} = \frac{\int_s \mathbf{D} \cdot d\mathbf{S}}{\int_l \mathbf{E} \cdot d\mathbf{l}} = \frac{\varepsilon \int_s \mathbf{E} \cdot d\mathbf{S}}{\int_l \mathbf{E} \cdot d\mathbf{l}}$$



$$\frac{G}{C} = \frac{\gamma}{\varepsilon}$$

电导： 
$$G = \frac{I}{U} = \frac{\int_s \mathbf{J}_c \cdot d\mathbf{S}}{\int_l \mathbf{E} \cdot d\mathbf{l}} = \frac{\gamma \int_s \mathbf{E} \cdot d\mathbf{S}}{\int_l \mathbf{E} \cdot d\mathbf{l}}$$

### 3. 静态电磁场 恒定电流的电场和磁场



例3-3: 内外导体半径分别为 $a$ ,  $b$ 的同轴电缆, 外施电压 $U_0$ , 试求因绝缘介质老化 (不完善) 而引起的电缆内泄漏电流密度及其绝缘电阻。  $L \gg b$

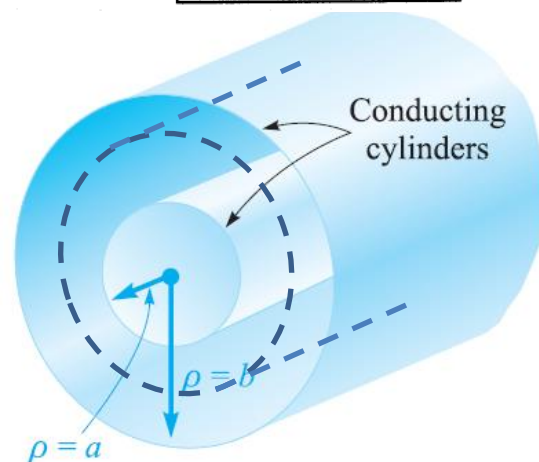
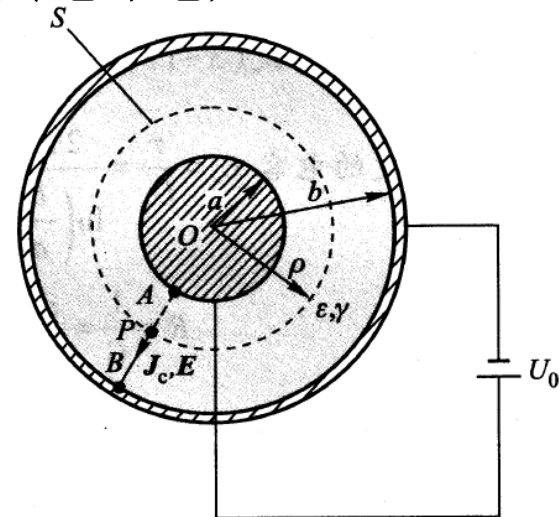
解1: 取长度为 $l$ 的一段进行分析, 由对称性可知,  $\mathbf{E}$ ,  $\mathbf{J}$ 都沿 $\mathbf{e}_\rho$ 方向, 设总电流为 $I$ , 建立圆柱坐标系分析, 作半径为 $\rho$ , 长度为 $l$ 的圆柱面 $S$ , 则有

$$\text{由 } \int_S \mathbf{J}_c \cdot d\mathbf{S} = \int_S J_c \mathbf{e}_\rho \cdot d\mathbf{S} \mathbf{e}_\rho = J_c 2\pi\rho l = I$$

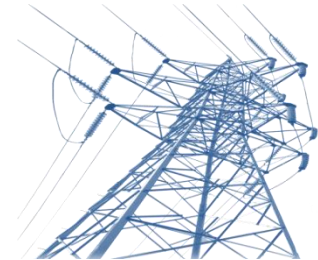
$$\Rightarrow J_c = I / 2\pi\rho l \quad \mathbf{J}_c = \frac{I}{2\pi\rho l} \mathbf{e}_\rho \quad \mathbf{E} = \frac{I}{\gamma 2\pi\rho l} \mathbf{e}_\rho$$

$$\text{由已知 } U_0 = \int_a^b \mathbf{E} \cdot d\boldsymbol{\rho} = \int_a^b \frac{I}{\gamma 2\pi\rho l} d\rho = \gamma 2\pi l \ln \frac{b}{a}$$

$$\Rightarrow I = \frac{U_0 \gamma 2\pi l}{\ln(b/a)} \Rightarrow \mathbf{J}_c = \frac{U_0 \gamma}{\rho \ln(b/a)} \mathbf{e}_\rho \quad (a < \rho < b)$$



### 3. 静态电磁场 恒定电流的电场和磁场



例3-3: 内外导体半径分别为 $a$ ,  $b$ 的同轴电缆, 外施电压 $U_0$ , 试求因绝缘介质老化 (不完善) 而引起的电缆内泄漏电流密度及其绝缘电阻。  $L \gg b$

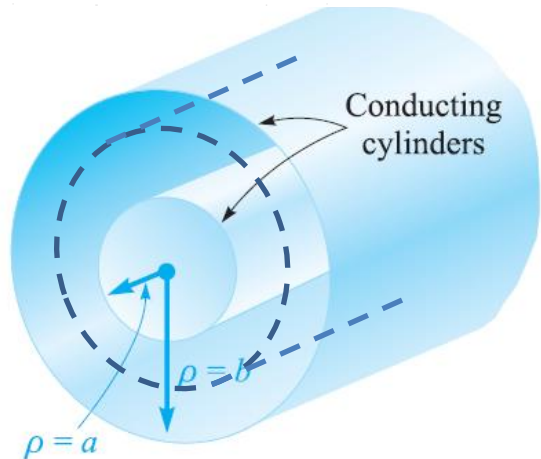
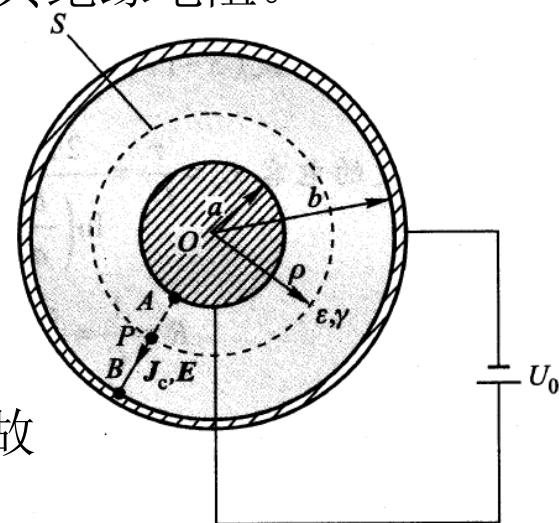
$$\Rightarrow R = \frac{U_0}{I} = \frac{\ln(b/a)}{\gamma 2\pi l}$$

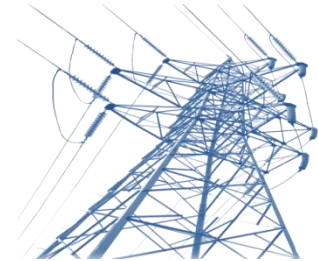
解2: 由高斯定理可求得, 静电场中  $\mathbf{E} = \frac{U_0}{\rho \ln(b/a)} \mathbf{e}_\rho$

由静电比拟可知, 对于恒定电场中 $\mathbf{E}$ 与此相同, 故

$$\Rightarrow \mathbf{J}_c = \gamma \mathbf{E} = \frac{U_0}{\rho \ln(b/a)} \mathbf{e}_\rho \quad (a < \rho < b)$$

$$\text{由 } C_l = \frac{\tau}{U_0} = \frac{2\pi\epsilon}{\ln(b/a)} \Rightarrow R = \frac{1}{G} = \frac{\epsilon}{\gamma C} = \frac{\epsilon}{\gamma C_l l} = \frac{\ln(b/a)}{\gamma 2\pi l}$$





## 3. 静态电磁场 恒定电流的电场和磁场

### 3.2.2 接地电阻

接地： 将金属导体埋入地内，与系统中需要接地的部分相连，此接地导体称之为**接地器**。

接地作用： a 保障人身和设备安全； b 为系统提供零电位参考点。

接地电阻： 电流流经大地遇到的电阻；

- a. 接地器本身的电阻；
- b. 接地导线电阻；
- c. 接地器与大地间的接触电阻；
- d. 接地器间的土壤电阻； **最主要部分**



# 3. 静态电磁场 恒定电流的电场和磁场

## 3.2.2 接地电阻

深埋地下的球形接地器接地电阻：

由静电场可知，带电导体球的电容为，

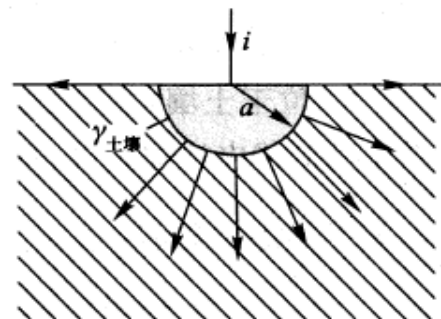
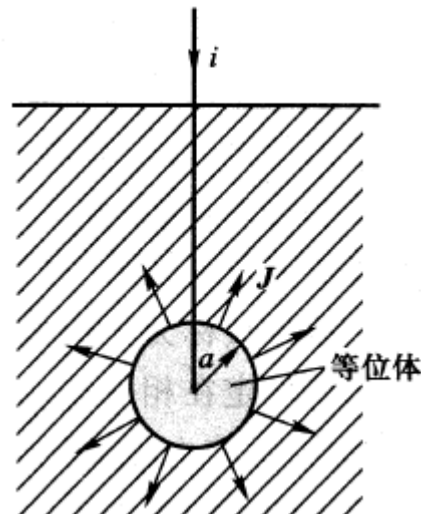
$$C = \frac{q}{U} = q / (\varphi_a - \varphi_\infty) = q / (q / 4\pi\epsilon a) = 4\pi\epsilon a$$

由静电比拟可得，  $G = C\gamma / \epsilon = 4\pi\gamma a$

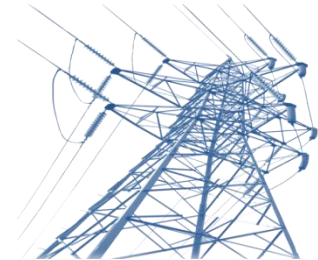
➡  $R = 1 / G = 1 / (4\pi\gamma a)$

埋于地下的半球形接地器接地电阻：

空间中既有土壤，也有空气，介质不均匀，可采用镜像法



# 3. 静态电磁场 恒定电流的电场和磁场



## 3.2.2 接地电阻

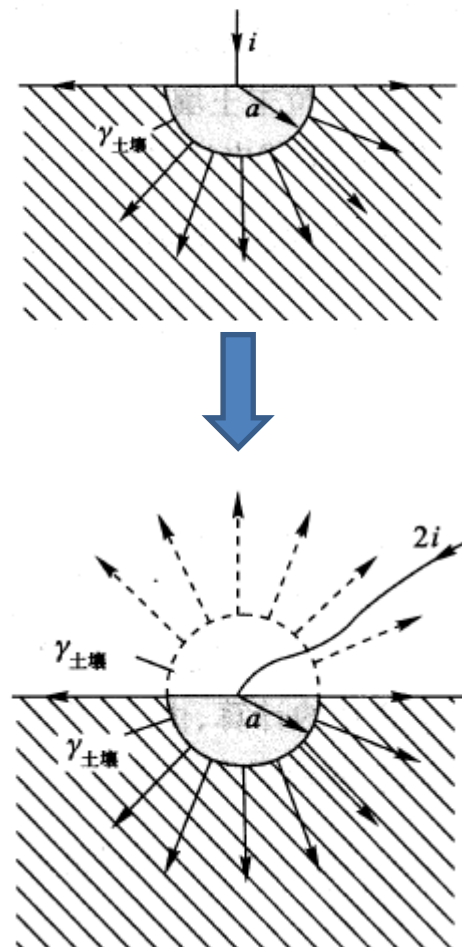
埋于地下的半球形接地器接地电阻：

$$\mathbf{J}_c = \frac{2i}{4\pi r^2} \mathbf{e}_r \Rightarrow \mathbf{E} = \frac{2i}{4\pi r^2 \gamma_s} \mathbf{e}_r$$

$$C = \frac{q}{U} = q / (\varphi_a - \varphi_\infty)$$

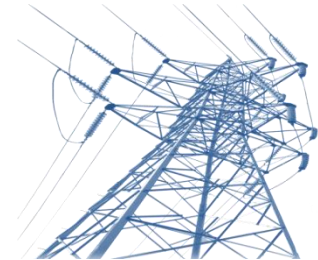
$$\varphi_a = \int_a^\infty \mathbf{E} \cdot d\mathbf{r} = \frac{i}{2\pi \gamma_s a}$$

$$R = U / I = \varphi_a / i = \frac{1}{2\pi \gamma_s a}$$





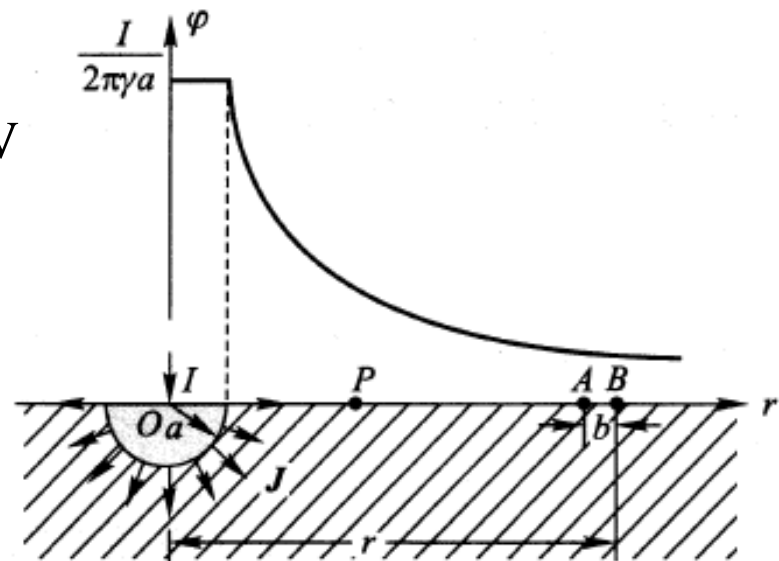
### 3. 静态电磁场 恒定电流的电场和磁场



#### 3.2.3 跨步电压

人体所能承受的安全临界电压： $U_0=50\sim 70\text{V}$

求人体的跨步电压 $U_{AB}$ 和安全距离 $r_0$



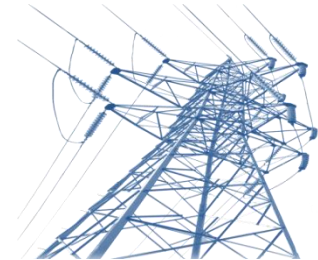
$$\mathbf{J}_c = \frac{I}{2\pi r^2} \mathbf{e}_r \Rightarrow \mathbf{E} = \frac{I}{2\pi r^2 \gamma_s} \mathbf{e}_r$$

$$U_{AB} = \int_A^B \mathbf{E} \cdot d\mathbf{r} = \int_{r-b}^r \frac{I}{2\pi r^2 \gamma_s} dr$$

$$= \frac{I}{2\pi \gamma_s} \left( \frac{1}{r-b} - \frac{1}{r} \right) = \frac{I}{2\pi \gamma_s} \left[ \frac{r-r+b}{r(r-b)} \right] \approx \frac{Ib}{2\pi r^2 \gamma_s} < U_0 \Rightarrow r > \sqrt{\frac{Ib}{2\pi U_0 \gamma_s}} = r_0$$

$$\text{若已知 } R = \frac{1}{2\pi \gamma_s a} \quad r_0 = \sqrt{\frac{abIR}{U_0}}$$

若要减小危险区域面积怎么办？（ $I, R$ ）



## 3. 静态电磁场 恒定电流的电场和磁场

### 3.3 恒定磁场

#### 3.3.1 基本方程

积分方程

微分方程

全电流定律:  $\oint_l \mathbf{H} \cdot d\mathbf{l} = \int_s \left( \mathbf{J} + \frac{\partial \mathbf{D}}{\partial t} \right) \cdot d\mathbf{S}$

$$\nabla \times \mathbf{H} = \mathbf{J} + \frac{\partial \mathbf{D}}{\partial t}$$

电磁感应定律:  $\oint_l \mathbf{E} \cdot d\mathbf{l} = - \int_s \frac{\partial \mathbf{B}}{\partial t} \cdot d\mathbf{S}$

$$\nabla \times \mathbf{E} = - \frac{\partial \mathbf{B}}{\partial t}$$

磁通连续性:  $\oint_s \mathbf{B} \cdot d\mathbf{S} = 0$

$$\nabla \cdot \mathbf{B} = 0$$

高斯定理:  $\oint_s \mathbf{D} \cdot d\mathbf{S} = \int_v \rho dV$

$$\nabla \cdot \mathbf{D} = \rho$$

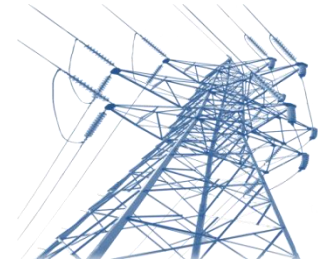
静态: 与时间无关

磁场: 与电场无关





# 3. 静态电磁场 恒定电流的电场和磁场



## 3.3.1 基本方程

积分方程

微分方程

安培环路定律:

$$\oint_l \mathbf{H} \cdot d\mathbf{l} = \int_S \mathbf{J} \cdot d\mathbf{S}$$

$$\nabla \times \mathbf{H} = \mathbf{J}$$

有旋

磁通连续性原理:

$$\oint_S \mathbf{B} \cdot d\mathbf{S} = 0$$

$$\nabla \cdot \mathbf{B} = 0$$

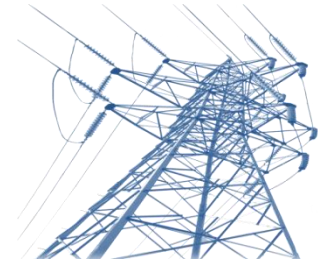
无散

本构关系:

$$\mathbf{B} = \mu \mathbf{H}$$



### 3. 静态电磁场 恒定电流的电场和磁场



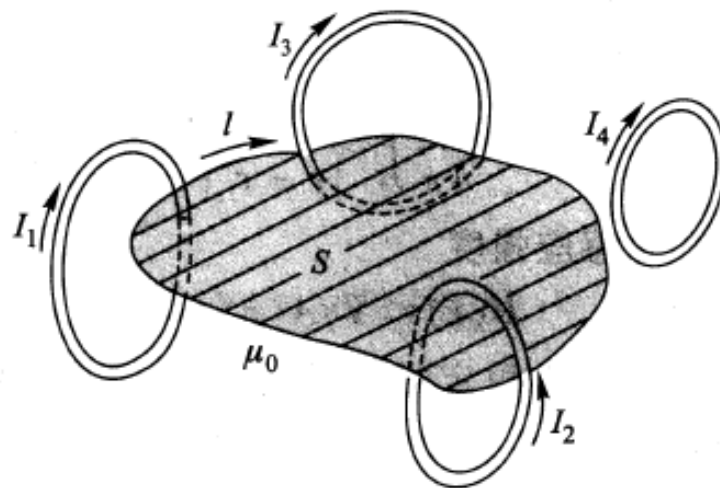
#### 3.3.2 真空中的安培环路定律 （有旋）

在真空中，  $\mathbf{B} = \mu_0 \mathbf{H}$  代入前式中，

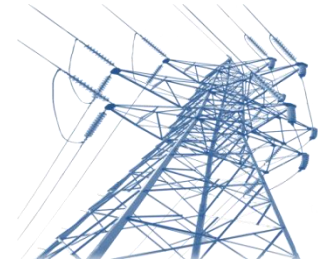
$$\oint_l \frac{\mathbf{B}}{\mu_0} \cdot d\mathbf{l} = \int_S \mathbf{J}_c \cdot d\mathbf{S} \quad \Rightarrow \quad \oint_l \mathbf{B} \cdot d\mathbf{l} = \mu_0 \int_S \mathbf{J}_c \cdot d\mathbf{S} = \mu_0 \sum I_i$$

微分形式：  $\nabla \times \mathbf{B} = \mu_0 \mathbf{J}_c$

$$\oint_l \mathbf{B} \cdot d\mathbf{l} = \mu_0 (I_1 + I_2 - I_3)$$



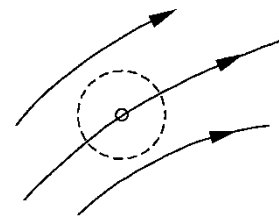
### 3. 静态电磁场 恒定电流的电场和磁场



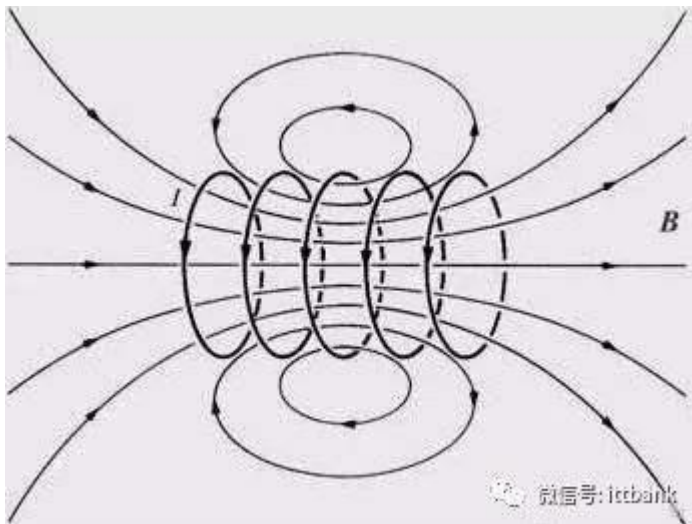
#### 3.3.3 磁通连续性原理 恒定磁场的无散性

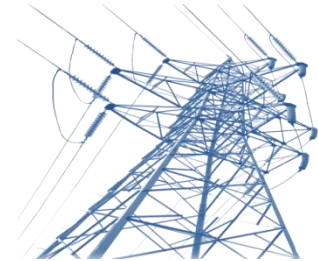
$$\oint_S \mathbf{B} \cdot d\mathbf{S} = 0$$

$$\nabla \cdot \mathbf{B} = 0$$



$$\nabla \cdot \mathbf{B} = 0, \quad \rho = 0$$





### 3. 静态电磁场 恒定电流的电场和磁场

#### 3.3.4 毕奥萨伐尔定律

赫姆霍兹定理:  $\mathbf{B}(\mathbf{r}) = -\nabla\varphi(\mathbf{r}) + \nabla \times \mathbf{A}(\mathbf{r})$

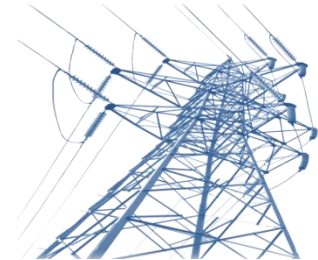
$$\varphi(\mathbf{r}) = \frac{1}{4\pi} \int_{V'} \frac{\nabla' \cdot \mathbf{B}(\mathbf{r}')}{|\mathbf{r} - \mathbf{r}'|} dV'$$

$$\mathbf{A}(\mathbf{r}) = \frac{1}{4\pi} \int_{V'} \frac{\nabla' \times \mathbf{B}(\mathbf{r}')}{|\mathbf{r} - \mathbf{r}'|} dV'$$

由  $\nabla \cdot \mathbf{B} = 0 \Rightarrow \varphi(\mathbf{r}) = 0$

由  $\nabla \times \mathbf{B} = \mu_0 \mathbf{J}_c \Rightarrow \mathbf{A}(\mathbf{r}) = \frac{\mu_0}{4\pi} \int_{V'} \frac{\mathbf{J}_c(\mathbf{r}')}{|\mathbf{r} - \mathbf{r}'|} dV' \Rightarrow \mathbf{A} \text{ 与 } \mathbf{J} \text{ 的方向一致}$





### 3. 静态电磁场 恒定电流的电场和磁场

#### 3.3.4 毕奥萨伐尔定律

由此可得到

$$\mathbf{B}(\mathbf{r}) = \nabla \times \mathbf{A}(\mathbf{r}) \quad \mathbf{A}(\mathbf{r}) = \frac{\mu_0}{4\pi} \int_{V'} \frac{\mathbf{J}_c(\mathbf{r}')}{|\mathbf{r} - \mathbf{r}'|} dV'$$

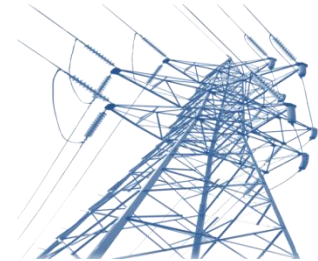
$$\mathbf{B}(\mathbf{r}) = \nabla \times \left[ \frac{\mu_0}{4\pi} \int_{V'} \frac{\mathbf{J}_c(\mathbf{r}')}{|\mathbf{r} - \mathbf{r}'|} dV' \right] = \frac{\mu_0}{4\pi} \int_{V'} \nabla \times \left[ \frac{\mathbf{J}_c(\mathbf{r}')}{|\mathbf{r} - \mathbf{r}'|} \right] dV'$$

由矢量恒等式,  $\nabla \times \frac{\mathbf{J}_c(\mathbf{r}')}{R} = \nabla \left( \frac{1}{R} \right) \times \mathbf{J}_c(\mathbf{r}') + \frac{1}{R} \boxed{\nabla \times \mathbf{J}_c(\mathbf{r}')}$  无旋

$$= \nabla \left( \frac{1}{R} \right) \times \mathbf{J}_c(\mathbf{r}') = -\frac{\mathbf{e}_R}{R^2} \times \mathbf{J}_c(\mathbf{r}') = \mathbf{J}_c(\mathbf{r}') \times \frac{\mathbf{e}_R}{R^2}$$

$$\mathbf{B}(\mathbf{r}) = \frac{\mu_0}{4\pi} \int_{V'} \frac{\mathbf{J}_c(\mathbf{r}') \times \mathbf{e}_R}{R^2} dV' = \frac{\mu_0}{4\pi} \int_{V'} \frac{\mathbf{J}_c(\mathbf{r}') \times (\mathbf{R} / R)}{R^2} dV'$$

### 3. 静态电磁场 恒定电流的电场和磁场



#### 3.3.4 毕奥萨伐尔定律

$$= \frac{\mu_0}{4\pi} \int_{V'} \frac{\mathbf{J}_c(\mathbf{r}') \times \mathbf{R}}{R^3} dV' = \frac{\mu_0}{4\pi} \int_{V'} \frac{\mathbf{J}_c(\mathbf{r}') \times (\mathbf{r} - \mathbf{r}')}{|\mathbf{r} - \mathbf{r}'|^3} dV'$$

$$= \frac{\mu_0}{4\pi} \int_{V'} \frac{\mathbf{J}_c(\mathbf{r}') \times \mathbf{e}_R}{R^2} dV'$$

$$\mathbf{B}(\mathbf{r}) \left\{ \begin{aligned} &= \frac{\mu_0}{4\pi} \int_{V'} \frac{\mathbf{J}_c(\mathbf{r}') \times \mathbf{e}_R}{R^2} dV' \\ &= \frac{\mu_0}{4\pi} \int_{S'} \frac{\mathbf{K}_c(\mathbf{r}') \times \mathbf{e}_R}{R^2} dS' \\ &= \frac{\mu_0}{4\pi} \int_{l'} \frac{I d\mathbf{l}' \times \mathbf{e}_R}{R^2} \end{aligned} \right.$$

$$\mathbf{A}(\mathbf{r}) \left\{ \begin{aligned} &= \frac{\mu_0}{4\pi} \int_{V'} \frac{\mathbf{J}_c(\mathbf{r}')}{R} dV' \\ &= \frac{\mu_0}{4\pi} \int_{S'} \frac{\mathbf{K}_c(\mathbf{r}')}{R} dS' \\ &= \frac{\mu_0}{4\pi} \int_{l'} \frac{I d\mathbf{l}'}{R} \end{aligned} \right.$$

# 3. 静态电磁场 恒定电流的电场和磁场



## 3.4 自由空间的磁场

### 3.4.1 基于场量 $B$ 的分析

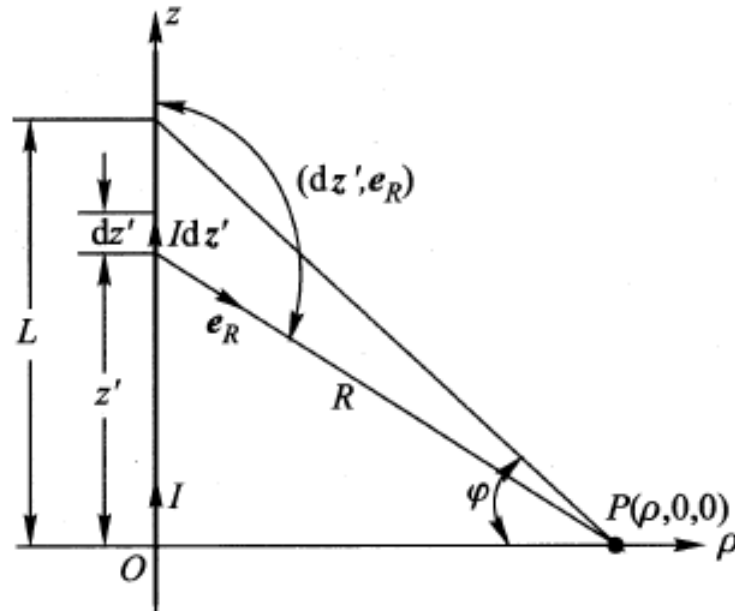
例3-4：计算真空中有限长（ $L$ ）直载流导线产生的磁感应强度。

取元电流  $Idl' = Idz'$  其在 $P$ 点处产生的场

$$d\mathbf{B} = \frac{\mu_0}{4\pi} \frac{Idz' \times \mathbf{e}_R}{R^2} = \frac{\mu_0 I}{4\pi} \frac{dz' \times \mathbf{e}_R}{\rho^2 + z'^2}$$

$$= \frac{\mu_0 I}{4\pi} \frac{dz'}{\rho^2 + z'^2} \mathbf{e}_z \times \mathbf{e}_R = \frac{\mu_0 I}{4\pi} \frac{dz'}{\rho^2 + z'^2} \sin(\mathbf{e}_z, \mathbf{e}_R) \mathbf{e}_\phi$$

$$= \frac{\mu_0 I}{4\pi} \frac{dz'}{\rho^2 + z'^2} \frac{\rho}{\sqrt{\rho^2 + z'^2}} \mathbf{e}_\phi = \frac{\mu_0 I}{4\pi} \frac{\rho dz'}{(\rho^2 + z'^2)^{3/2}} \mathbf{e}_\phi$$



$$\mathbf{B}(\mathbf{r}) = \frac{\mu_0}{4\pi} \int_{l'} \frac{Idl' \times \mathbf{e}_R}{R^2}$$

# 3. 静态电磁场 恒定电流的电场和磁场



## 3.4.1 基于场量 $\mathbf{B}$ 的分析

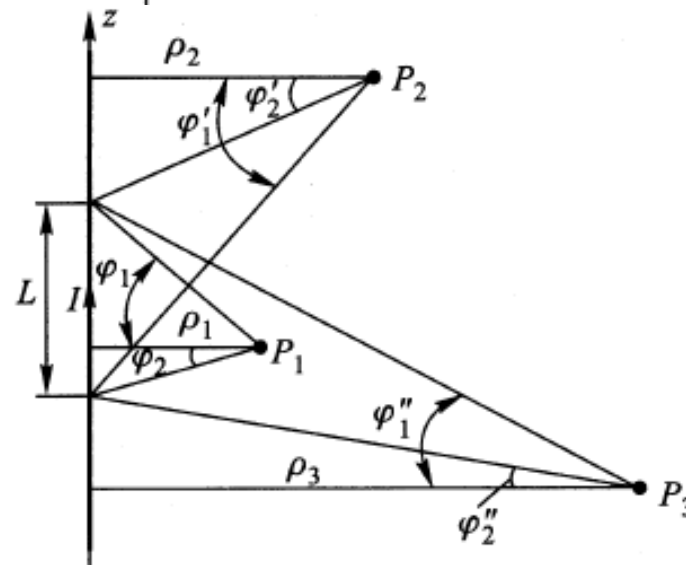
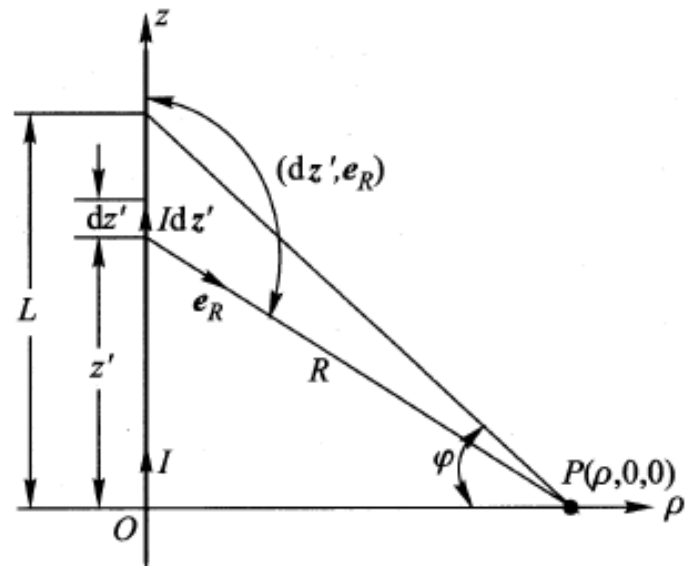
$$\begin{aligned}\mathbf{B} &= \int_l d\mathbf{B} = \frac{\mu_0 I}{4\pi} \int_l \frac{\rho}{(\rho^2 + z'^2)^{3/2}} dz' \mathbf{e}_\phi \\ &= \frac{\mu_0 I}{4\pi} \left. \frac{z'}{\sqrt{\rho^2 + z'^2}} \right|_0^L \mathbf{e}_\phi = \frac{\mu_0 I}{4\pi} \sin \varphi \mathbf{e}_\phi\end{aligned}$$

$$P_1 \text{点: } \mathbf{B}_{P_1} = \frac{\mu_0 I}{4\pi \rho_1} (\sin \varphi_1 + \sin \varphi_2) \mathbf{e}_\phi$$

$$P_2 \text{点: } \mathbf{B}_{P_2} = \frac{\mu_0 I}{4\pi \rho_2} (\sin \varphi_1' - \sin \varphi_2') \mathbf{e}_\phi$$

$$P_3 \text{点: } \mathbf{B}_{P_3} = \frac{\mu_0 I}{4\pi \rho_3} (\sin \varphi_1'' - \sin \varphi_2'') \mathbf{e}_\phi$$

$$\text{当 } L \text{ 趋于无穷大时 } \mathbf{B} = \frac{\mu_0 I}{2\pi \rho} \mathbf{e}_\phi \quad \text{应用}$$





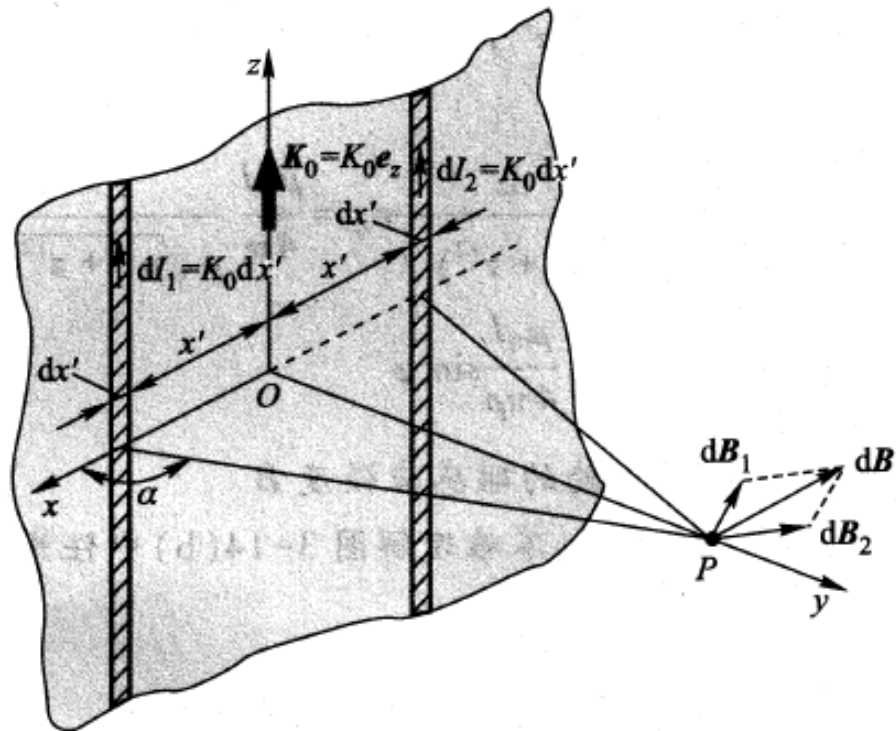
### 3. 静态电磁场 恒定电流的电场和磁场



#### 3.4.1 基于场量 $B$ 的分析

例3-5: 真空中载有恒定面电流密度 $K_0$ 的无限大导电片, 在任意点 $P$ 所产生的磁感应强度 $B$ 。

解1: 如图建立直角坐标系, 电流沿 $z$ 方向, 将面电流看作无数线电流



$$dB_1 = \frac{\mu_0 (K_0 dx')}{2\pi(x'^2 + y^2)^{1/2}} e_\phi \longrightarrow dI$$

$$e_\phi = -e_x \sin \phi + e_y \cos \phi = -e_x \sin \alpha + e_y \cos \alpha$$

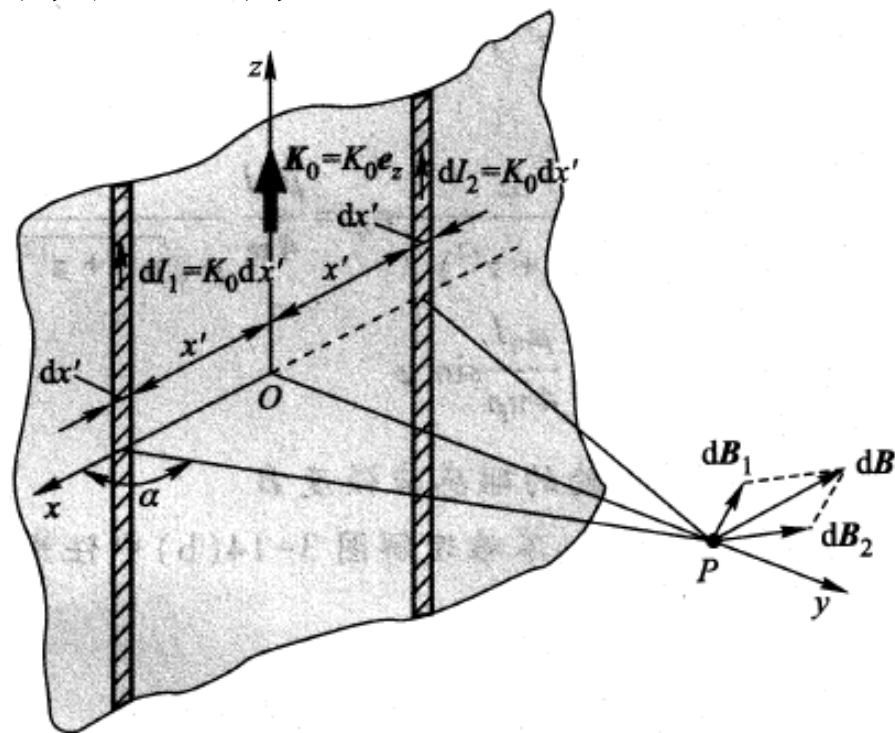
对于 $P$ 点磁场, 在 $z$ 轴两侧取对称的线电流, 磁场只有 $x$ 方向的分量, 即有

# 3. 静态电磁场 恒定电流的电场和磁场



## 3.4.1 基于场量 $B$ 的分析

$$\begin{aligned}
 \mathbf{B} &= B_x \mathbf{e}_x = - \int_{-\infty}^{+\infty} \frac{\mu_0 K_0 \sin \alpha}{2\pi(x'^2 + y^2)^{1/2}} dx' \mathbf{e}_x \\
 &= - \int_{-\infty}^{+\infty} \frac{\mu_0 K_0}{2\pi(x'^2 + y^2)^{1/2}} \frac{y}{(x'^2 + y^2)^{1/2}} dx' \mathbf{e}_x \\
 &= - \frac{\mu_0 K_0 y}{2\pi} \int_{-\infty}^{+\infty} \frac{dx'}{2\pi(x'^2 + y^2)} \mathbf{e}_x \\
 &= - \frac{\mu_0 K_0}{2\pi} \arctan \left( \frac{x'}{y} \right) \Bigg|_{-\infty}^{+\infty} \mathbf{e}_x = \begin{cases} -\frac{\mu_0 K_0}{2\pi} \mathbf{e}_x & (y > 0) \\ \frac{\mu_0 K_0}{2\pi} \mathbf{e}_x & (y < 0) \end{cases}
 \end{aligned}$$

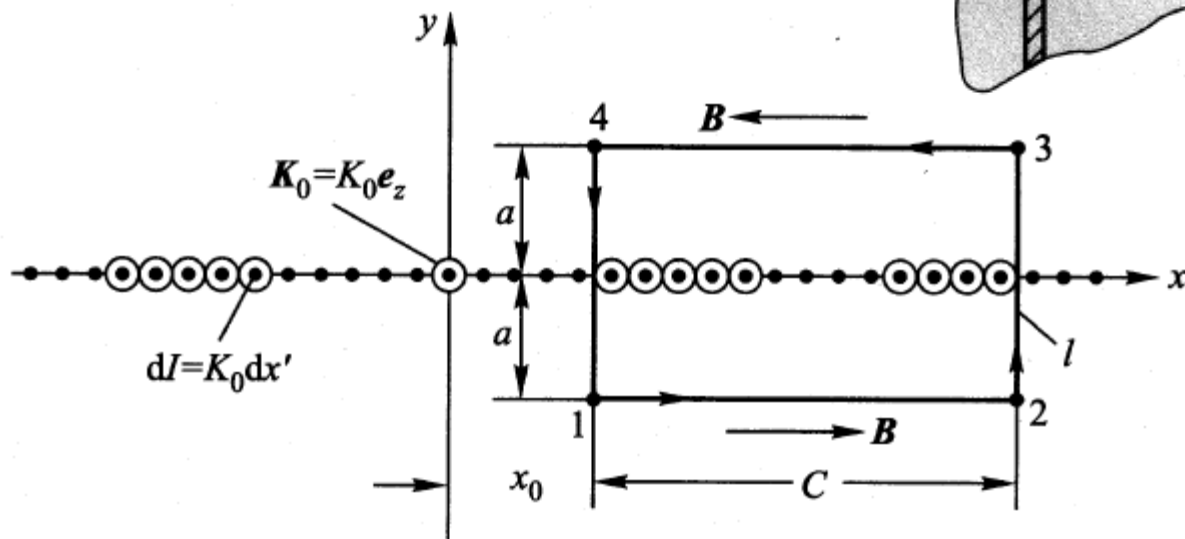
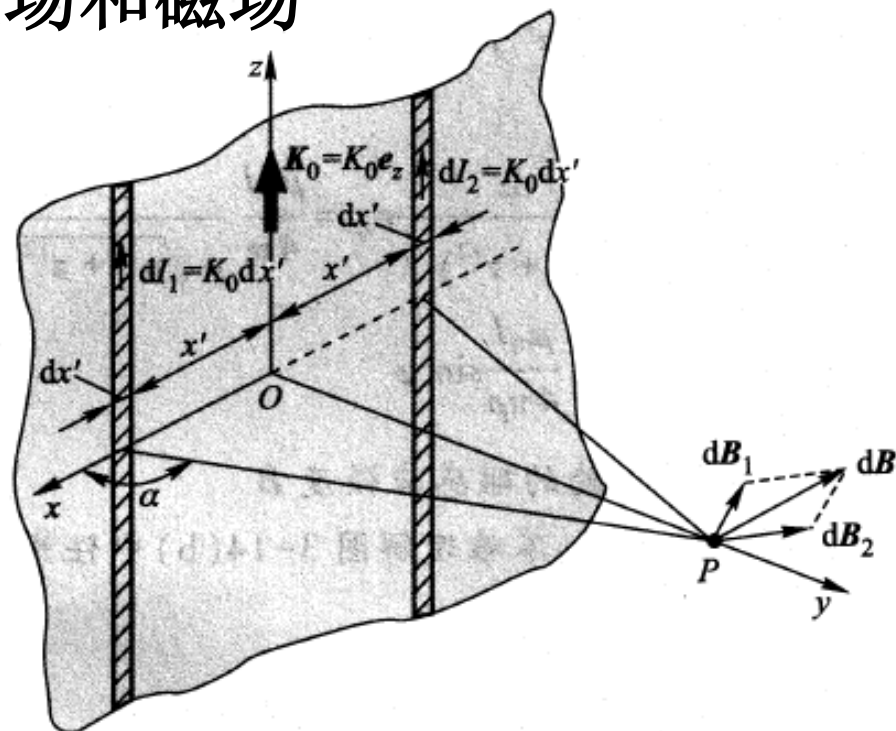


# 3. 静态电磁场 恒定电流的电场和磁场

## 3.4.1 基于场量 $B$ 的分析

解2: 安培环路定理进行求解, 如下图,

- (1) 由前可知 $B$ 的方向及对称性;
- (2)  $B$ 的数值与 $x$ 无关;
- (2)  $B$ 为关于 $z$ 轴的平行平面场;



### 3. 静态电磁场 恒定电流的电场和磁场



#### 3.4.1 基于场量 $B$ 的分析

解2: 取如图所示矩形回路, 则有

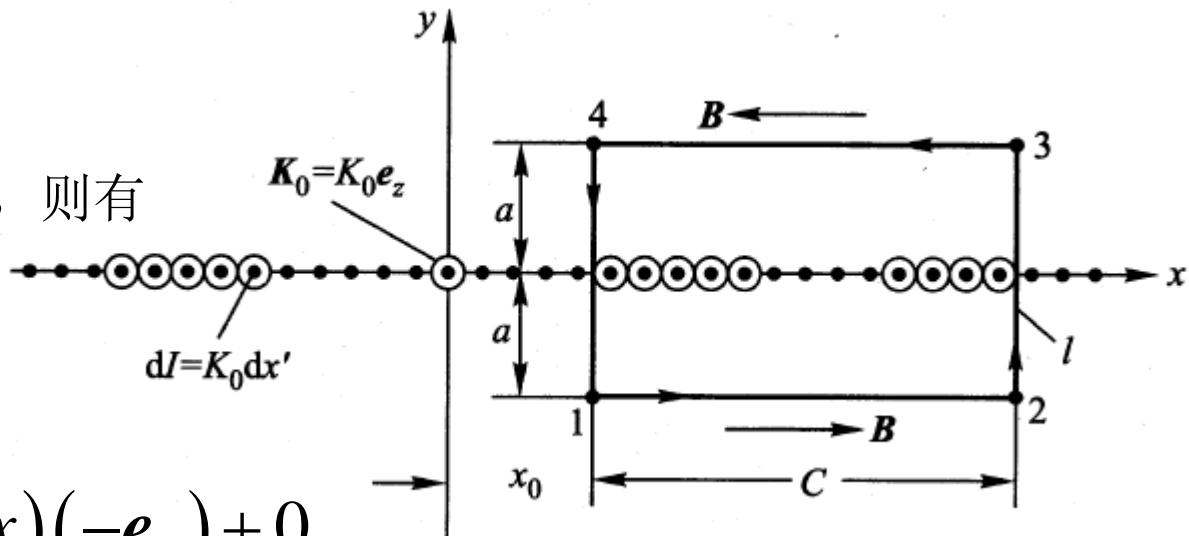
$$\oint_l \mathbf{B} \cdot d\mathbf{l} = \int_1^2 B_x \mathbf{e}_x \cdot dx \mathbf{e}_x + 0 + \int_3^4 -B_x \mathbf{e}_x \cdot (-dx)(-\mathbf{e}_x) + 0$$

$$= 2B_x C = \mu_0 \int_{x_0}^{x_0+C} dI = \mu_0 \int_{x_0}^{x_0+C} K_0 dx = \mu_0 K_0 C$$

$$\Rightarrow B_x = \frac{\mu_0 K_0}{2}$$

$$\oint_l \mathbf{B} \cdot d\mathbf{l} = \int_1^2 \mathbf{B}_1 \cdot d\mathbf{l} + \int_3^4 \mathbf{B}_2 \cdot d\mathbf{l} = B_1 \int_1^2 dl + B_2 \int_3^4 dl$$

$$= 2B_1 C = 2B_x C = \mu_0 K_0 C$$



### 3. 静态电磁场 恒定电流的电场和磁场

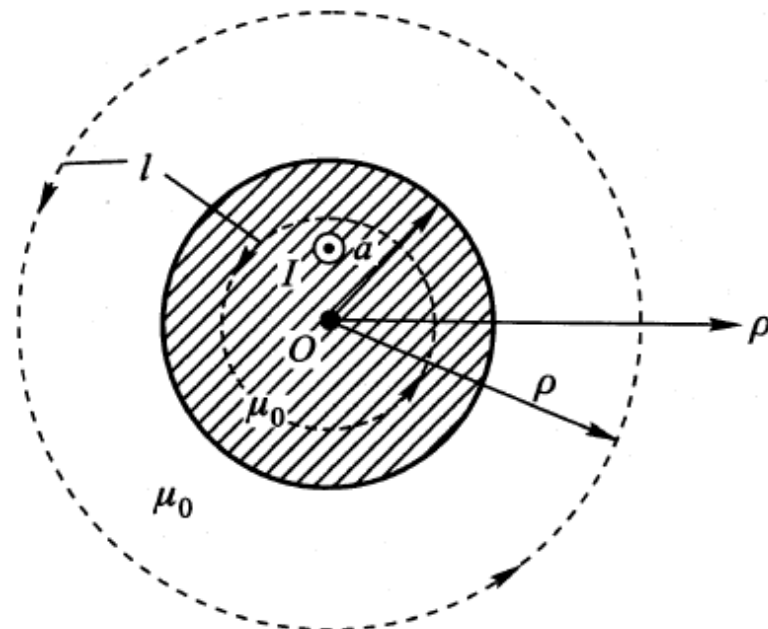


#### 3.4.1 基于场量 $B$ 的分析

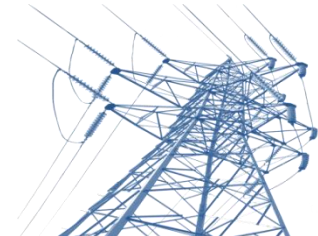
例：3-7 计算真空中半径为 $a$ ，载流为 $I$ 的无限长圆柱形导体内外磁场。

导体内：（ $\rho < a$ ）

$$\oint_l \mathbf{B} \cdot d\mathbf{l} = \int_l B \mathbf{e}_\phi \cdot d\mathbf{l} \mathbf{e}_\phi = B \int_l (\mathbf{e}_\phi \cdot \mathbf{e}_\phi) dl$$
$$= 2\pi\rho B = \mu_0 \frac{\pi\rho^2}{\pi a^2} I \quad \Rightarrow \quad \mathbf{B} = \frac{\mu_0 I \rho}{2\pi a^2} \mathbf{e}_\phi$$



### 3. 静态电磁场 恒定电流的电场和磁场

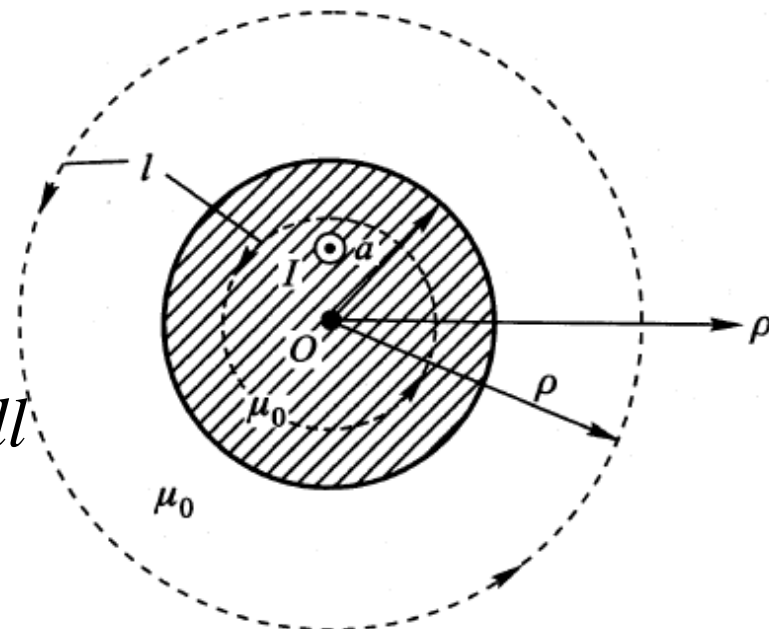


#### 3.4.1 基于场量 $B$ 的分析

导体外:  $(\rho > a)$

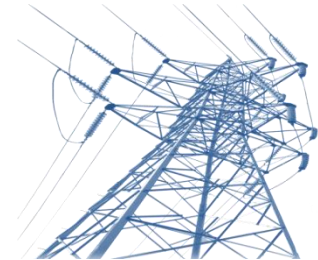
$$\oint_l \mathbf{B} \cdot d\mathbf{l} = \int_l B \mathbf{e}_\phi \cdot d\mathbf{l} \mathbf{e}_\phi = B \int_l (\mathbf{e}_\phi \cdot \mathbf{e}_\phi) dl$$

$$= 2\pi\rho B = \mu_0 I \Rightarrow \mathbf{B} = \frac{\mu_0 I}{2\pi\rho} \mathbf{e}_\phi$$



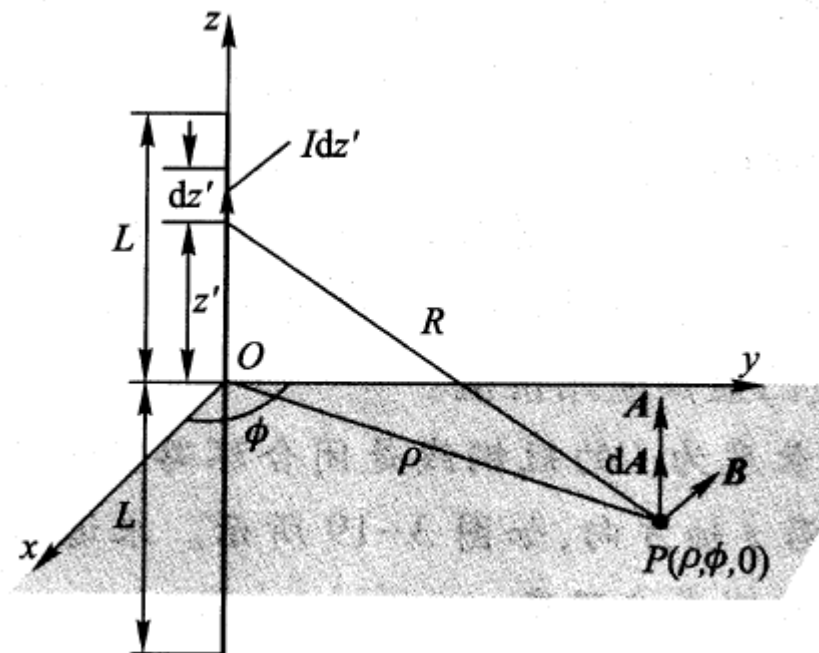


### 3. 静态电磁场 恒定电流的电场和磁场



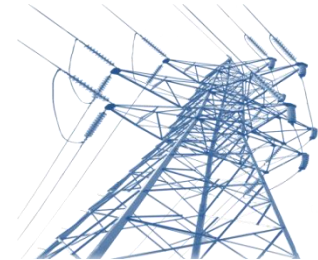
#### 3.4.2 基于场量A的分析

$$A(\mathbf{r}) \left\{ \begin{aligned} &= \frac{\mu_0}{4\pi} \int_{V'} \frac{\mathbf{J}_c(\mathbf{r}')}{R} dV' \\ &= \frac{\mu_0}{4\pi} \int_{S'} \frac{\mathbf{K}_c(\mathbf{r}')}{R} dS' \\ &= \frac{\mu_0}{4\pi} \int_{l'} \frac{I}{R} d\mathbf{l}' \end{aligned} \right.$$



例3-9: 空气中长为 $2L$ 的长直载流导线，在其中截面任意点处矢量磁位 $\mathbf{A}$ ，及 $\mathbf{B}$ 。

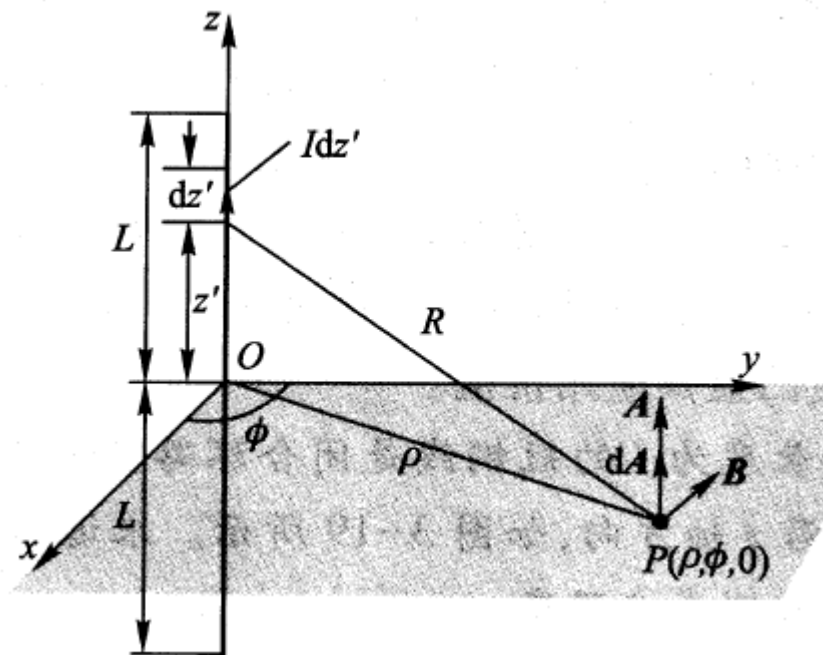
### 3. 静态电磁场 恒定电流的电场和磁场



#### 3.4.2 基于场量A的分析

解： 建立直角坐标系，取元电流，可得

$$\begin{aligned} \mathbf{A}(\mathbf{r}) &= A_z \mathbf{e}_z = \frac{\mu_0 I}{4\pi} \int_{-L}^L \frac{dz}{R} \mathbf{e}_z \\ &= \frac{\mu_0 I}{4\pi} \int_{-L}^L \frac{dz'}{\sqrt{\rho^2 + z'^2}} \mathbf{e}_z \\ &= \frac{\mu_0 I}{2\pi} \left[ \ln \left( L + \sqrt{\rho^2 + L^2} \right) - \ln \rho \right] \mathbf{e}_z \end{aligned}$$

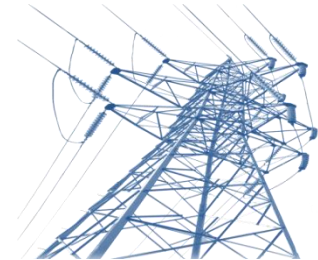


当 $L$ 无限大时，即  $L \gg \rho \quad \Rightarrow$

$$\mathbf{A} = \frac{\mu_0 I}{2\pi} \ln \frac{2L}{\rho} \mathbf{e}_z \quad ???$$

$$\mathbf{B} = \nabla \times \mathbf{A} = \frac{\mu_0 I}{2\pi \rho} \mathbf{e}_\phi$$





### 3. 静态电磁场 恒定电流的电场和磁场

#### 3.4.2 基于场量A的分析

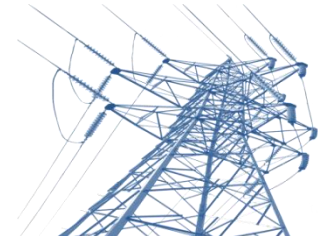
分析：当导线无限长，即 $L$ 趋于无穷大时，源分布在整个空间。但是磁矢量位的计算式实际上依据的是亥姆霍兹定理，其中规定源分布于有限区域，也就是相当于无穷远处是参考点。故上述情况不成立。此时必须把参考点选择非无穷远的某一点 $Q$ ，设其与电流相距为 $\rho_0$

修正： 
$$\mathbf{A}(\mathbf{r}) = \frac{\mu_0}{4\pi} \int_{l'} \frac{I}{R} d\mathbf{l}' + \mathbf{C} = \frac{\mu_0 I}{2\pi} \ln \frac{2L}{\rho} \mathbf{e}_z + \mathbf{C}$$

对 $Q$ 点： 
$$\mathbf{A}_Q = \frac{\mu_0 I}{2\pi} \ln \frac{2L}{\rho_0} \mathbf{e}_z + \mathbf{C} = 0 \quad \Rightarrow \quad \mathbf{C} = -\frac{\mu_0 I}{2\pi} \ln \frac{2L}{\rho_0} \mathbf{e}_z$$

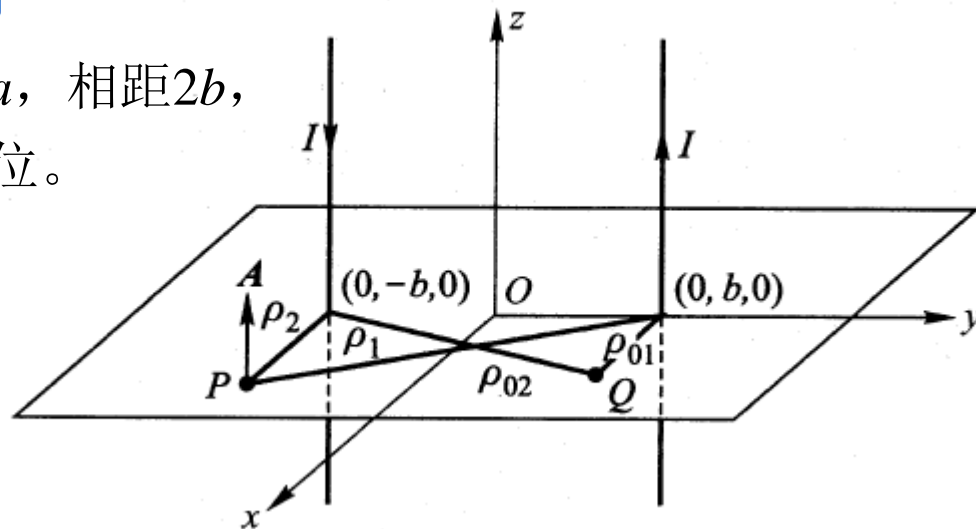
$$\Rightarrow \mathbf{A} = \frac{\mu_0 I}{2\pi} \ln \frac{\rho_0}{\rho} \mathbf{e}_z \quad \Rightarrow \quad \mathbf{B} = \nabla \times \mathbf{A} = \frac{\mu_0 I}{2\pi \rho} \mathbf{e}_\phi$$

### 3. 静态电磁场 恒定电流的电场和磁场



例3-10 无限长直平行输电线，半径 $a$ ，相距 $2b$ ，且 $b$ 远大于 $a$ ，求空间磁矢量位。

$$\begin{aligned} \mathbf{A} &= \left[ \frac{\mu_0 I}{2\pi} \ln \frac{\rho_{01}}{\rho_1} - \frac{\mu_0 I}{2\pi} \ln \frac{\rho_{02}}{\rho_2} \right] \mathbf{e}_z \\ &= \left[ \frac{\mu_0 I}{2\pi} \ln \frac{\rho_2}{\rho_1} - \frac{\mu_0 I}{2\pi} \ln \frac{\rho_{01}}{\rho_{02}} \right] \mathbf{e}_z \end{aligned}$$



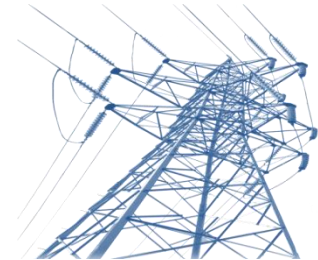
为了简化计算结果，可考虑将参考点选择在 $x$ 轴上，则有  $\rho_{01} = \rho_{02}$

$$\Rightarrow \mathbf{A} = \frac{\mu_0 I}{2\pi} \ln \frac{\rho_2}{\rho_1} \mathbf{e}_z \Rightarrow \mathbf{A} = \frac{\mu_0 I}{4\pi} \ln \frac{\sqrt{x^2 + (y+b)^2}}{x^2 + (y-b)^2} \mathbf{e}_z$$

$$\text{磁通: } \Phi = \int_S \mathbf{B} \cdot d\mathbf{S} = \int_S (\nabla \times \mathbf{A}) \cdot d\mathbf{S} = \oint_l \mathbf{A} \cdot d\mathbf{l}$$

基于 $\mathbf{A}$ 求磁通

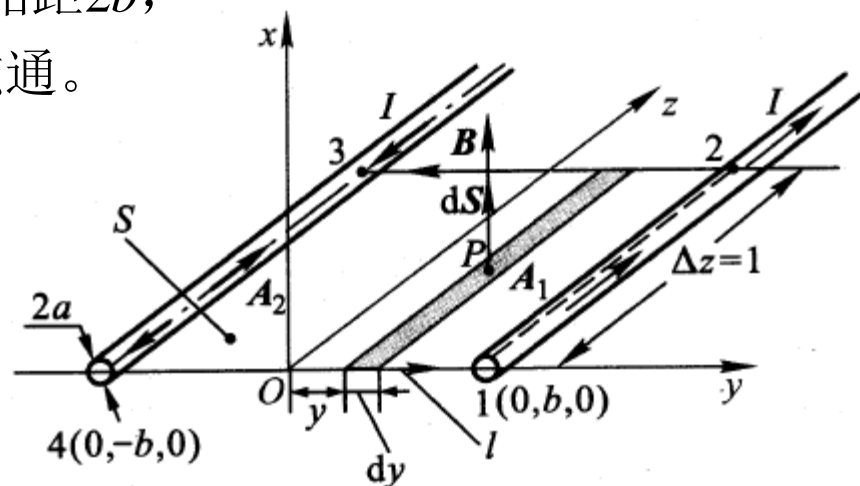
### 3. 静态电磁场 恒定电流的电场和磁场



例3-11 无限长直平行输电线，半径 $a$ ，相距 $2b$ ，  
且 $b$ 远大于 $a$ ，求两线间单位长磁通。

分析：本题与上题模型一致，故结论可用

解1：由安培环路和叠加定理

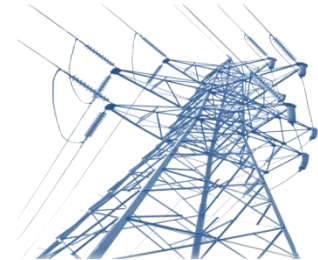


$$\begin{aligned} \mathbf{B} &= \frac{\mu_0 I}{2\pi\rho_1} \mathbf{e}_x + \frac{\mu_0 I}{2\pi\rho_2} \mathbf{e}_x \\ &= \frac{\mu_0 I}{2\pi(b-y)} \mathbf{e}_x + \frac{\mu_0 I}{2\pi(b+y)} \mathbf{e}_x \end{aligned}$$

磁通：

$$\begin{aligned} \Rightarrow \Phi &= \int_S \mathbf{B} \cdot d\mathbf{S} = \int_S \mathbf{B} \cdot \Delta z dy \mathbf{e}_x = 2 \int_0^{b-a} \left[ \frac{\mu_0 I}{2\pi(b-y)} + \frac{\mu_0 I}{2\pi(b+y)} \right] dy \\ &= \frac{\mu_0 I}{\pi} \left[ -\ln(b-y) + \ln(b+y) \right] \Big|_0^{b-a} = \frac{\mu_0 I}{\pi} \ln \frac{2b-a}{a} \end{aligned}$$

### 3. 静态电磁场 恒定电流的电场和磁场

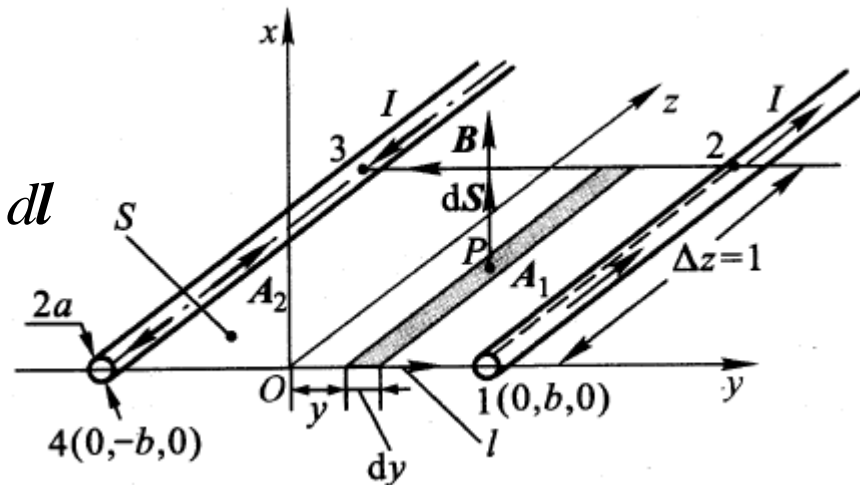


解2: 基于A进行求解

$$\text{由 } \Phi = \int_S \mathbf{B} \cdot d\mathbf{S} = \int_S (\nabla \times \mathbf{A}) \cdot d\mathbf{S} = \oint_l \mathbf{A} \cdot d\mathbf{l}$$

选取有向闭合曲线 $l$  (曲面 $S$ 的边界):

$1 \rightarrow 2 \rightarrow 3 \rightarrow 4$



$$\Phi = \oint_l \mathbf{A} \cdot d\mathbf{l} = \int_1^2 \mathbf{A}_1 \cdot d\mathbf{l} + 0 + \int_3^4 \mathbf{A}_2 \cdot d\mathbf{l} + 0$$

$$\mathbf{A}_1 : 1 \quad (0, b - a)$$

$$\mathbf{A}_2 : 4 \quad (0, -b + a)$$

$$= \mathbf{A}_1 \Delta z + \mathbf{A}_2 (-\Delta z) = \frac{\mu_0 I}{4\pi} \ln \frac{(b - a + b)^2}{(b - a - b)^2} - \frac{\mu_0 I}{4\pi} \ln \frac{(-b + a + b)^2}{(-b + a - b)^2}$$

$$= \frac{\mu_0 I}{2\pi} \ln \frac{(2b - a)^2}{a^2} = \frac{\mu_0 I}{\pi} \ln \frac{2b - a}{a}$$



### 3. 静态电磁场 恒定电流的电场和磁场

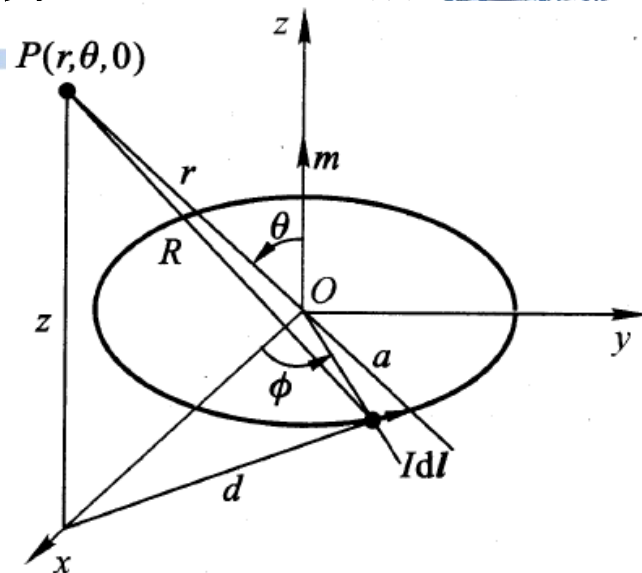


例3-12: 磁偶极子远区磁场 $\mathbf{A}$ ,  $\mathbf{B}$ 。  $r \gg a$

分析: 首先磁场具有轴对称特征,  $\mathbf{A}$ 只有 $\phi$ 方向分量, 即  $\mathbf{A} = A_\phi(r, \theta)\mathbf{e}_\phi$

定义: 磁偶极矩:  $\mathbf{m} = I\mathbf{dS}$

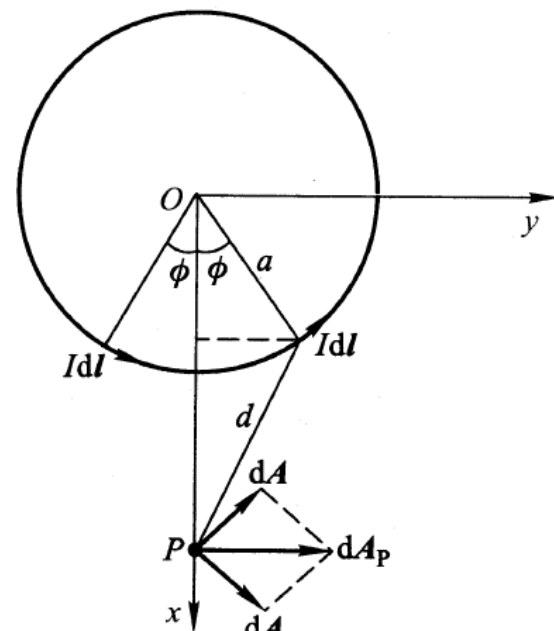
解: 要求 $\mathbf{A}$ , 先取元电流 $I\mathbf{dl}$ , 建立球坐标系,



$$d\mathbf{A} = \frac{\mu_0 I dl}{4\pi R}$$

在子午面两侧取对称的元电流, 使得 $P$ 点 $d\mathbf{A}$ 只有 $\phi$ 方向分量,

$$d\mathbf{A}_p = 2d\mathbf{A} \cos \phi = 2 \frac{\mu_0 I a d\phi}{4\pi R} \cos \phi \mathbf{e}_\phi$$



### 3. 静态电磁场 恒定电流的电场和磁场



$$A_p = \int_0^\pi dA_p = \int_0^\pi 2dA \cos \phi = \int_0^\pi 2 \frac{\mu_0 I a d\phi}{4\pi R} \cos \phi e_\phi$$

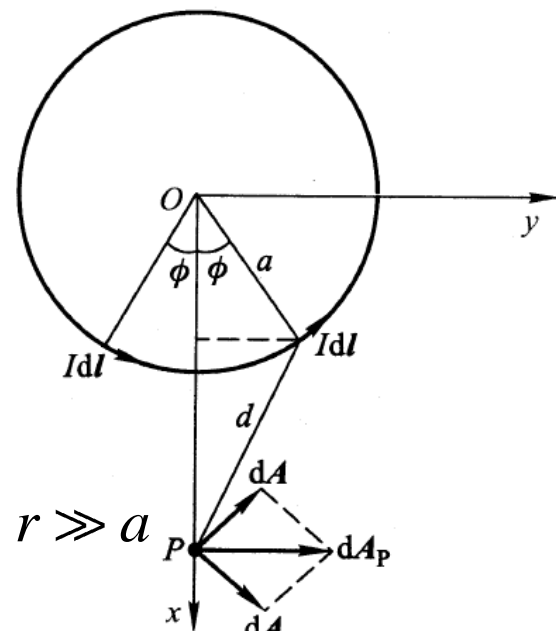
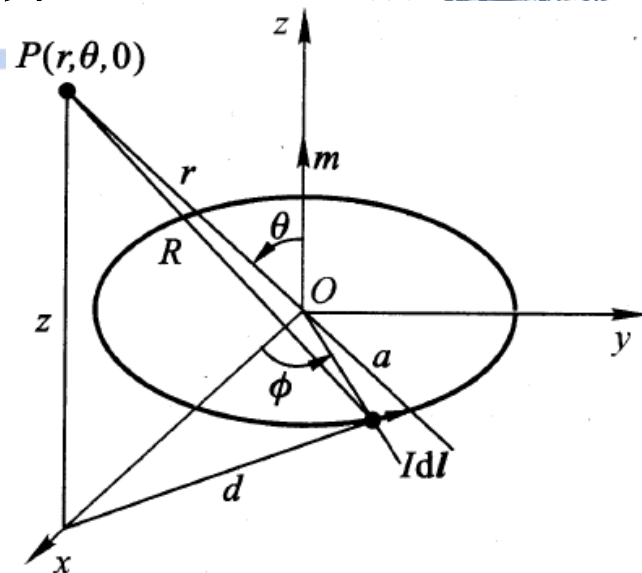
$$= \frac{\mu_0 I a}{2\pi} \int_0^\pi \frac{\cos \phi}{R} d\phi e_\phi$$

由  $R = \sqrt{z^2 + d^2} = \sqrt{(r \cos \theta)^2 + d^2}$

$$d^2 = (a \sin \phi)^2 + (r \sin \theta - \cos \phi)^2$$

→  $R = (r^2 + a^2 - 2ar \sin \theta \cos \phi)^{1/2}$

→  $\frac{1}{R} = \frac{1}{\sqrt{r^2 + a^2 - 2ar \sin \theta \cos \phi}}$



由  $r \gg a$

### 3. 静态电磁场 恒定电流的电场和磁场

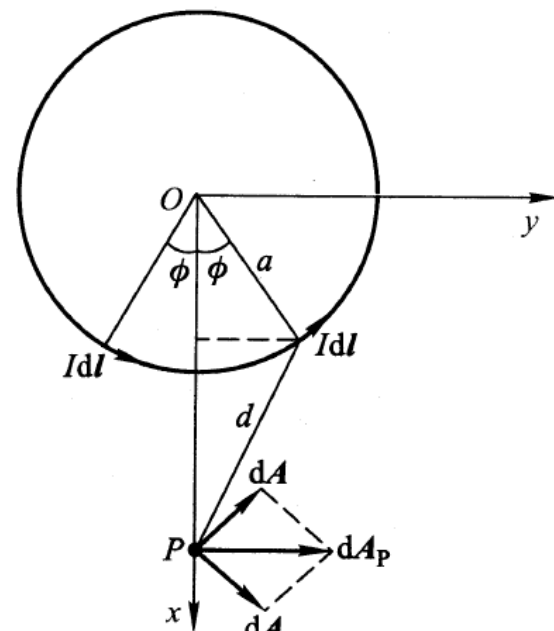
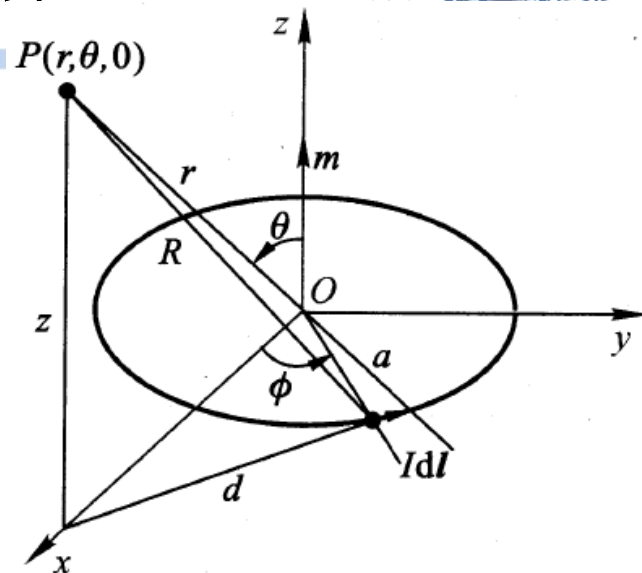


$$\frac{1}{R} = \frac{1}{r \sqrt{1 + \frac{a^2}{r^2} - \frac{2a}{r} \sin \theta \cos \phi}}$$

$$\frac{1}{R} = \frac{1}{r} \left( 1 + \frac{a^2}{r^2} - \frac{2a}{r} \sin \theta \cos \phi \right)^{-1/2}$$

由  $r \gg a \Rightarrow R \gg a$

$$\begin{aligned} \Rightarrow \frac{1}{R} &\approx \frac{1}{r} \left( 1 - \frac{2a}{r} \sin \theta \cos \phi \right)^{-1/2} \\ &\approx \frac{1}{r} \left( 1 + \frac{a}{r} \sin \theta \cos \phi \right) \end{aligned} \quad \text{代入前式}$$



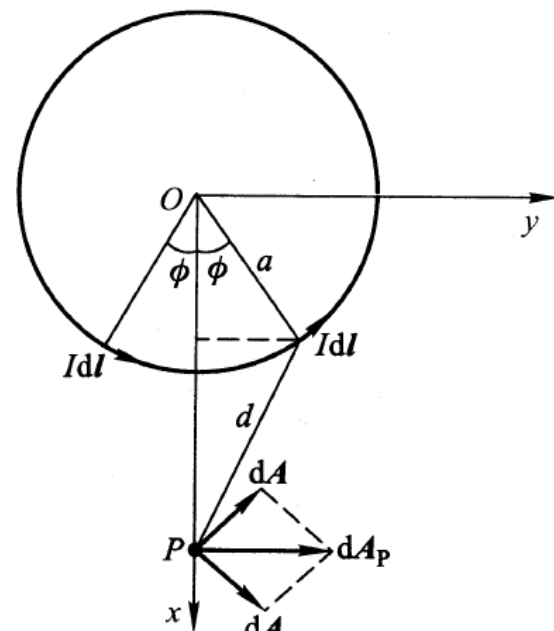
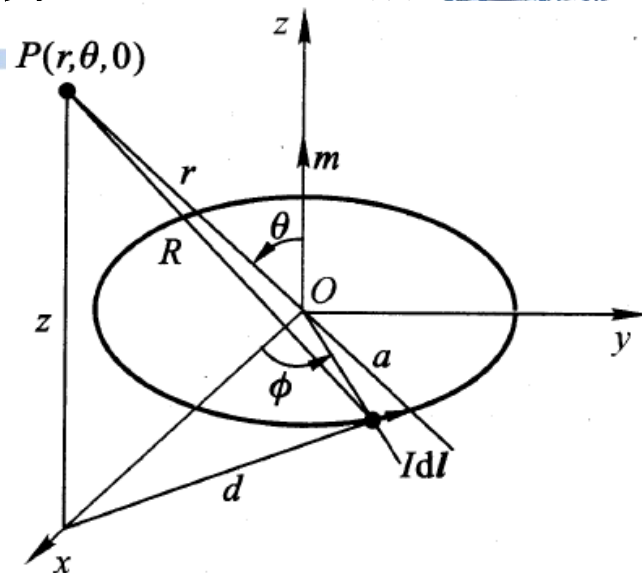
### 3. 静态电磁场 恒定电流的电场和磁场



$$\begin{aligned}
 A_p &= \frac{\mu_0 I a}{2\pi} \int_0^\pi \frac{\cos \phi}{R} d\phi \mathbf{e}_\phi \\
 &= \frac{\mu_0 I a}{2\pi} \int_0^\pi \frac{1}{r} \left( 1 + \frac{a}{r} \sin \theta \cos \phi \right) \cos \phi d\phi \mathbf{e}_\phi \\
 &= \frac{\mu_0 I \pi a^2}{4\pi r^2} \sin \theta \mathbf{e}_\phi = \frac{\mu_0}{4\pi} \frac{\mathbf{m} \times \mathbf{e}_r}{r^2}
 \end{aligned}$$

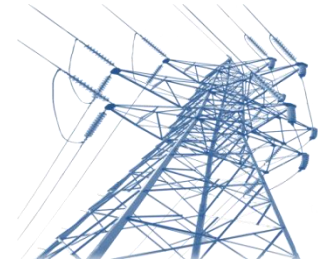
$$\mathbf{B} = \nabla \times \mathbf{A}$$

$$\begin{aligned}
 &= \frac{1}{r \sin \theta} \frac{\partial}{\partial \theta} (\sin \theta A_\phi) \mathbf{e}_r - \frac{1}{r} \frac{\partial}{\partial r} (r A_\phi) \mathbf{e}_\theta \\
 &= \frac{\mu_0 m}{4\pi r^3} (2 \cos \theta \mathbf{e}_r + \sin \theta \mathbf{e}_\theta)
 \end{aligned}$$





### 3. 静态电磁场 恒定电流的电场和磁场



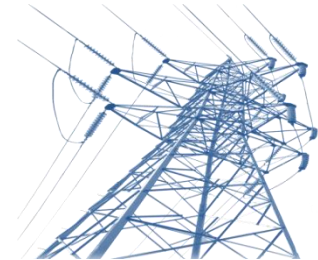
磁偶极子:

$$\left\{ \begin{array}{l} \mathbf{A}_p = \frac{\mu_0}{4\pi} \frac{\mathbf{m} \times \mathbf{e}_r}{r^2} \\ \mathbf{B} = \frac{\mu_0 m}{4\pi r^3} (2 \cos \theta \mathbf{e}_r + \sin \theta \mathbf{e}_\theta) \end{array} \right.$$

电偶极子:

$$\left\{ \begin{array}{l} \varphi = \frac{qd \cos \theta}{4\pi\epsilon_0 r^2} = \frac{1}{4\pi\epsilon_0} \frac{\mathbf{p} \cdot \mathbf{e}_r}{r^2} \\ \mathbf{E} = -\nabla \varphi = \frac{p}{4\pi\epsilon_0 r^3} (2 \cos \theta \mathbf{e}_r + \sin \theta \mathbf{e}_\theta) \end{array} \right.$$

磁偶极子远区的磁场，与电偶极子远区的电场具有相同的分布形态；不同的是所不同的是电场线起始于正电荷，终止于负电荷，而磁场线自身闭合。



### 3. 静态电磁场 恒定电流的电场和磁场

#### 3.4.3 磁场线

与电力线的定义类似，对于描述磁场 $\mathbf{B}$ 分布的磁力线有

$$\mathbf{B} \times d\mathbf{l} = 0$$

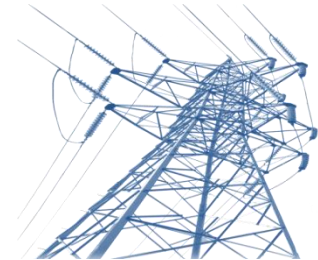
$$\begin{aligned} \Rightarrow (B_x \mathbf{e}_x + B_y \mathbf{e}_y + B_z \mathbf{e}_z) \times (dx \mathbf{e}_x + dy \mathbf{e}_y + dz \mathbf{e}_z) \\ = (B_y dz - B_z dy) \mathbf{e}_x + (B_z dx - B_x dz) \mathbf{e}_y + (B_x dy - B_y dx) \mathbf{e}_z = 0 \end{aligned}$$

$$\Rightarrow \frac{dx}{B_x} = \frac{dy}{B_y} = \frac{dz}{B_z}$$

$$\text{对于平行平面场，当给定 } \mathbf{J} = J_z(x, y) \mathbf{e}_z \quad \Rightarrow \quad \mathbf{A} = A_z(x, y) \mathbf{e}_z$$

$$\text{由 } \mathbf{B} = \nabla \times \mathbf{A}$$

# 3. 静态电磁场 恒定电流的电场和磁场



## 3.4.3 磁场线

与电力线的定义类似，对于描述磁场 $\mathbf{B}$ 分布的磁力线有

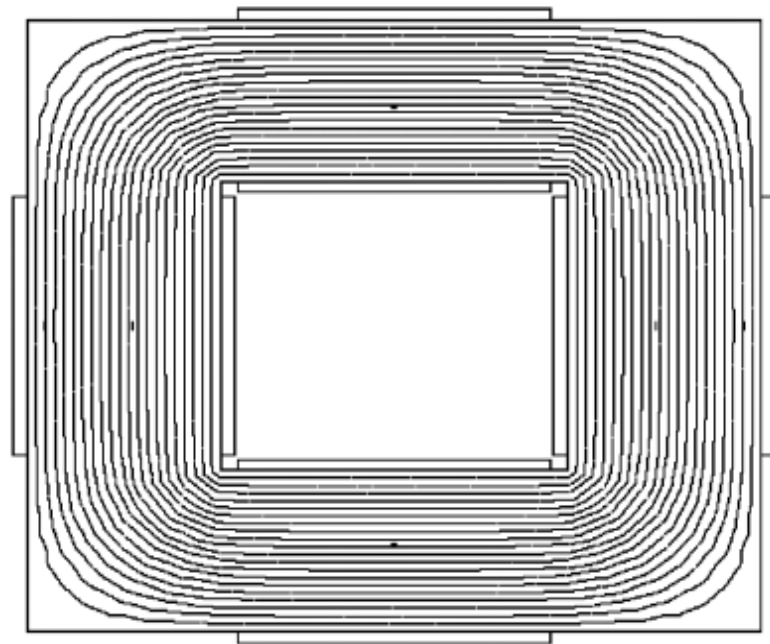
$$\mathbf{B} \times d\mathbf{l} = 0$$

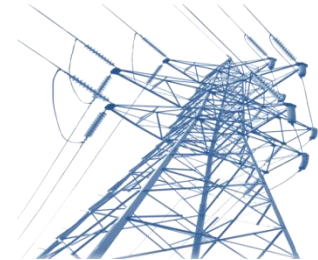
$$\Rightarrow B_x = \frac{\partial A_z}{\partial y} \quad B_y = -\frac{\partial A_z}{\partial x} \quad B_z = 0$$

$$\Rightarrow \text{将上式代入前式} \quad \frac{dx}{B_x} = \frac{dy}{B_y}$$

$$\Rightarrow \frac{\partial A_z}{\partial x} dx + \frac{\partial A_z}{\partial y} dy = 0 \quad \Rightarrow dA_z = 0$$

$$\Rightarrow A_z = C \quad A_z \text{取定值的轨迹，即为} \mathbf{B} \text{线。}$$





## 3. 静态电磁场 恒定电流的电场和磁场

### 3.5 媒质中的磁场

#### 3.5.1 媒质磁化

磁偶极子：

电子围绕原子核轨道运动 ➡ 环形电流 ➡ 磁偶极子 ➡ 轨道磁矩

原子、电子自旋 ➡ 磁偶极子 ➡ 自旋磁矩

为描述媒质的宏观磁化状态，定义，

磁化强度 $\mathbf{M}$ ：
$$\mathbf{M} = \lim_{\Delta V \rightarrow 0} \frac{\sum \mathbf{m}}{\Delta V} \quad (\text{A} / \text{m})$$


意义：单位体积中微观磁偶极矩 $\mathbf{m}$ 矢量之和。

# 3. 静态电磁场 恒定电流的电场和磁场



## 3.5.1 媒质磁化

单个磁偶极子: 
$$\mathbf{A} = \frac{\mu_0}{4\pi} \frac{\mathbf{m} \times \mathbf{e}_r}{r^2}$$

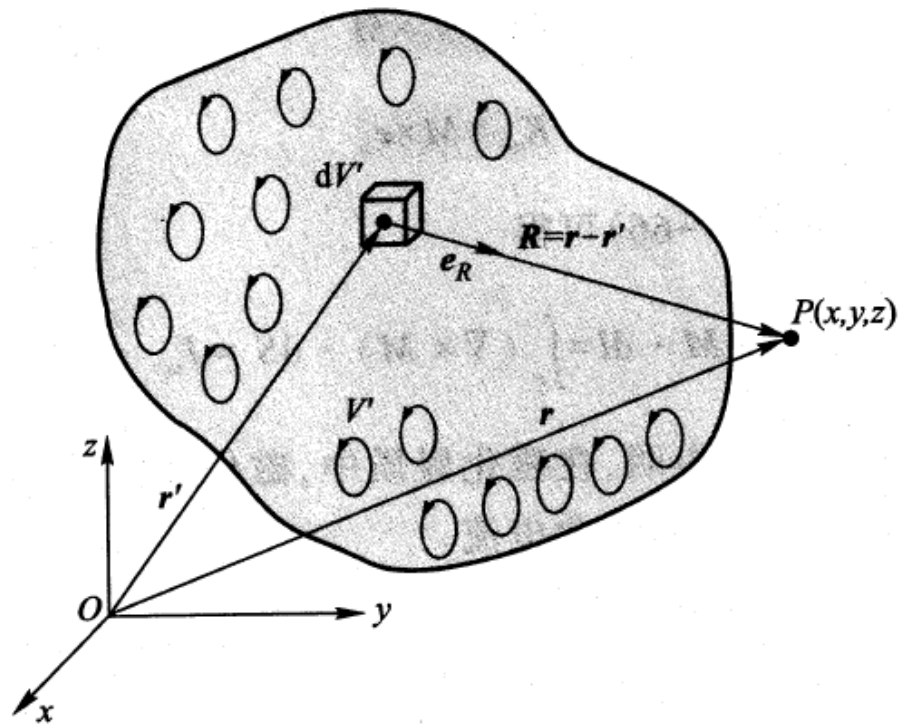


$$\mathbf{A} = \frac{\mu_0}{4\pi} \frac{\mathbf{m} \times \mathbf{e}_R}{R^2}$$

$$\mathbf{A}_1 = \frac{\mu_0}{4\pi} \frac{\mathbf{m}_1 \times \mathbf{e}_R}{R^2} \quad \mathbf{A}_2 = \frac{\mu_0}{4\pi} \frac{\mathbf{m}_2 \times \mathbf{e}_R}{R^2} \dots$$

$dV'$  对应于P点处的场,

$$d\mathbf{A} = \frac{\mu_0}{4\pi} \frac{\sum_{i=1}^{\infty} \mathbf{m} \times \mathbf{e}_R}{R^2} = \frac{\mu_0}{4\pi} \frac{\mathbf{M} \times \mathbf{e}_R}{R^2} dV' = \frac{\mu_0}{4\pi} \mathbf{M} \times \nabla' \left( \frac{1}{R} \right) dV'$$



### 3. 静态电磁场 恒定电流的电场和磁场



#### 3.5.1 媒质磁化

$$\mathbf{A} = \int_{V'} \frac{\mu_0}{4\pi} \mathbf{M} \times \nabla' \left( \frac{1}{R} \right) dV'$$

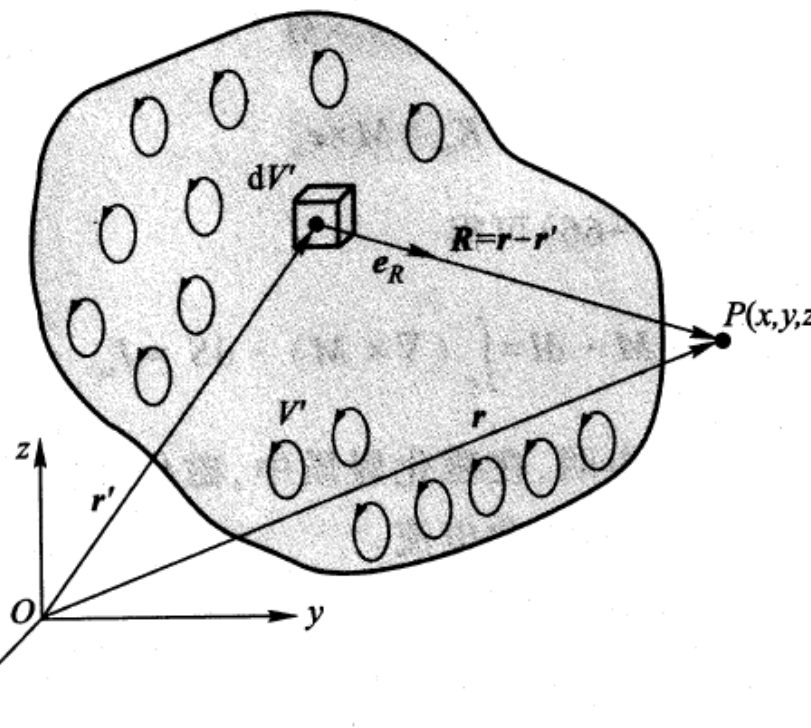
由矢量恒等式

$$\begin{aligned} \nabla \times (\Psi \mathbf{A}) &= \Psi \nabla \times \mathbf{A} + \nabla \Psi \times \mathbf{A} \\ &= \Psi \nabla \times \mathbf{A} - \mathbf{A} \times \nabla \Psi \end{aligned}$$

$$\mathbf{M}(\mathbf{r}') \times \nabla' \left( \frac{1}{R} \right) = \frac{1}{R} \nabla' \times \mathbf{M}(\mathbf{r}') - \nabla' \times \left[ \frac{\mathbf{M}(\mathbf{r}')}{R} \right]$$

$$\mathbf{A} = \frac{\mu_0}{4\pi} \int_{V'} \frac{\nabla' \times \mathbf{M}(\mathbf{r}')}{R} dV' - \int_{V'} \nabla' \times \left[ \frac{\mathbf{M}(\mathbf{r}')}{R} \right] dV'$$

由矢量恒等式  $\int_V (\nabla \times \mathbf{A}) dV = \oint_S (\mathbf{e}_n \times \mathbf{A}) dS$





### 3. 静态电磁场 恒定电流的电场和磁场



#### 3.5.1 媒质磁化

$$\mathbf{A} = \frac{\mu_0}{4\pi} \int_{V'} \frac{\nabla' \times \mathbf{M}(\mathbf{r}')}{R} dV' + \oint_{S'} \frac{\mathbf{M}(\mathbf{r}') \times \mathbf{e}_n}{R} dS'$$

自由空间传导电流产生磁场，

$$\mathbf{A} = \frac{\mu_0}{4\pi} \int_{V'} \frac{\mathbf{J}_c(\mathbf{r}')}{R} dV' \quad \mathbf{A} = \frac{\mu_0}{4\pi} \int_{S'} \frac{\mathbf{K}_c(\mathbf{r}')}{R} dS'$$

比较发现，规律一致，故定义如下

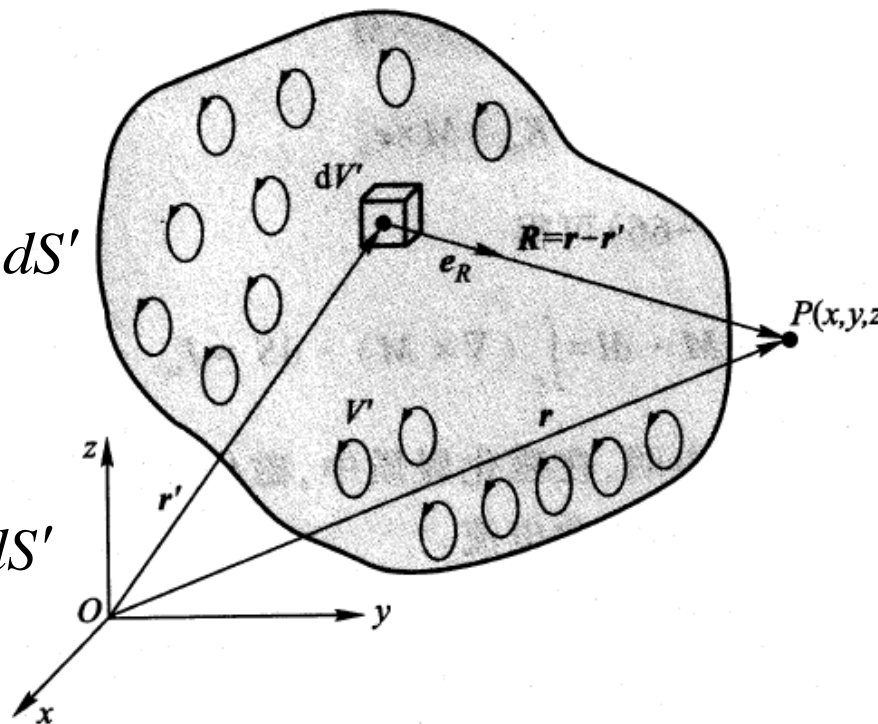
$$\mathbf{J}_m = \nabla' \times \mathbf{M}(\mathbf{r}')$$

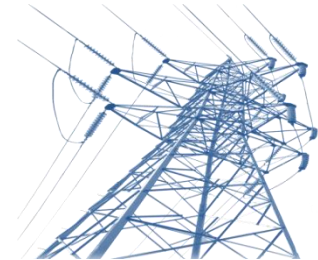
磁化体电流密度

$$\mathbf{K}_m = \mathbf{M}(\mathbf{r}') \times \mathbf{e}_n$$

磁化面电流密度

$$\oint_l \mathbf{M}(\mathbf{r}') \cdot d\mathbf{l} = \int_S [\nabla \times \mathbf{M}(\mathbf{r}')] \cdot d\mathbf{S} = \int_S \mathbf{J}_m \cdot d\mathbf{S} = I_m$$





### 3. 静态电磁场 恒定电流的电场和磁场

#### 3.5.2 一般形式的安培环路定律

自由空间:  $\oint_l \mathbf{B} \cdot d\mathbf{l} = \mu_0 \sum I$

媒质空间:  $\oint_l \mathbf{B} \cdot d\mathbf{l} = \mu_0 \left( \sum I + \sum I_m \right)$

$$\Rightarrow \oint_l \mathbf{B} \cdot d\mathbf{l} = \mu_0 \left( \sum I + \oint_l \mathbf{M} \cdot d\mathbf{l} \right) \Rightarrow \oint_l \left( \frac{\mathbf{B}}{\mu_0} - \mathbf{M} \right) \cdot d\mathbf{l} = \sum I$$

定义:  $\mathbf{H} = \frac{\mathbf{B}}{\mu_0} - \mathbf{M} \quad (\text{A/m}) \Rightarrow \oint_l \mathbf{H} \cdot d\mathbf{l} = \sum I$

对多数媒质:  $\mathbf{M} = \chi_m \mathbf{H} \quad \leftarrow \text{磁化率}$

$$\mathbf{B} = \mu_0 (\mathbf{H} + \mathbf{M}) = \underline{\mu_0 (1 + \chi_m)} \mathbf{H} = \underline{\mu} \mathbf{H}$$

磁导率

$$\mu_r = \frac{\mu}{\mu_0} = (1 + \chi_m)$$

相对磁导率





# 3. 静态电磁场 恒定电流的电场和磁场



## 3.5.3 不同媒质分界面的边界条件

### (1) 两种不同磁媒质

$$\oint_l \mathbf{H} \cdot d\mathbf{l} = \sum I = \int_S \mathbf{J} \cdot d\mathbf{S}$$

设分界面上，电流密度  $\mathbf{K} = K\mathbf{e}_n'$  ( $\mathbf{e}_n' = \mathbf{e}_t \times \mathbf{e}_n$ )

分界面两侧作一个狭小的矩形回路

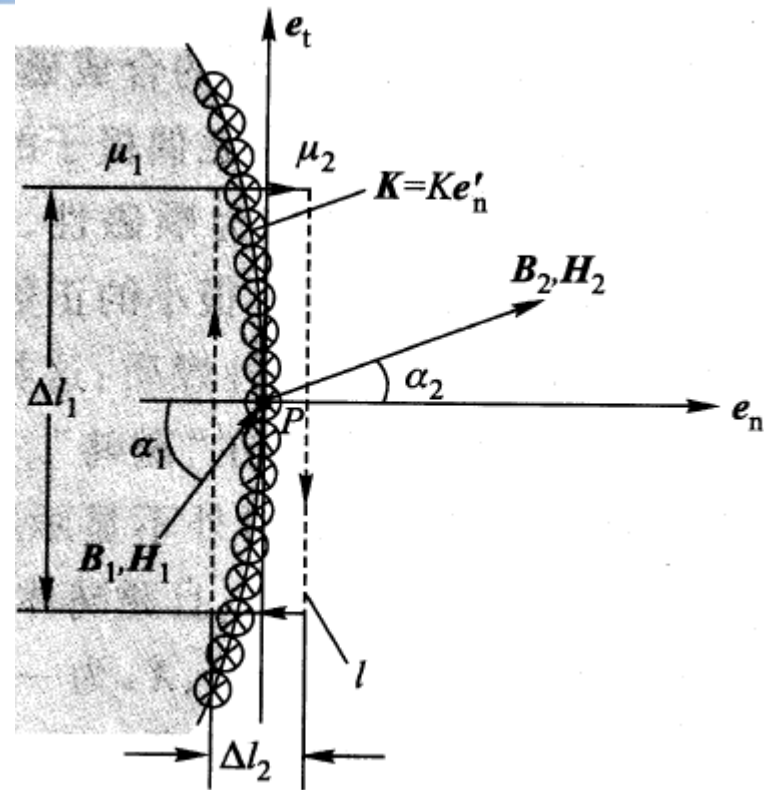
$$\oint_l \mathbf{H} \cdot d\mathbf{l} = H_{1t}\Delta l_1 - H_{2t}\Delta l_1 = K\Delta l_1$$

$$\Rightarrow H_{1t} - H_{2t} = K$$

通常情况下，不同磁媒质分界面处，不存在自由面电流，即  $K=0$

$$\Rightarrow H_{1t} = H_{2t}$$

$$\text{同理由 } \oint_S \mathbf{B} \cdot d\mathbf{S} = 0 \Rightarrow B_{1n} = B_{2n}$$



$$\mathbf{e}_n \times (\mathbf{H}_2 - \mathbf{H}_1) = \mathbf{K}$$

$$\mathbf{e}_n \cdot (\mathbf{B}_2 - \mathbf{B}_1) = 0$$

### 3. 静态电磁场 恒定电流的电场和磁场



#### 3.5.3 不同媒质分界面的边界条件

折射定理：
$$\frac{\tan \alpha_1}{\tan \alpha_2} = \frac{\mu_1}{\mu_2}$$

(2) 铁磁媒质与空气分界面  $\mu_1 \gg \mu_2 \approx \mu_0$

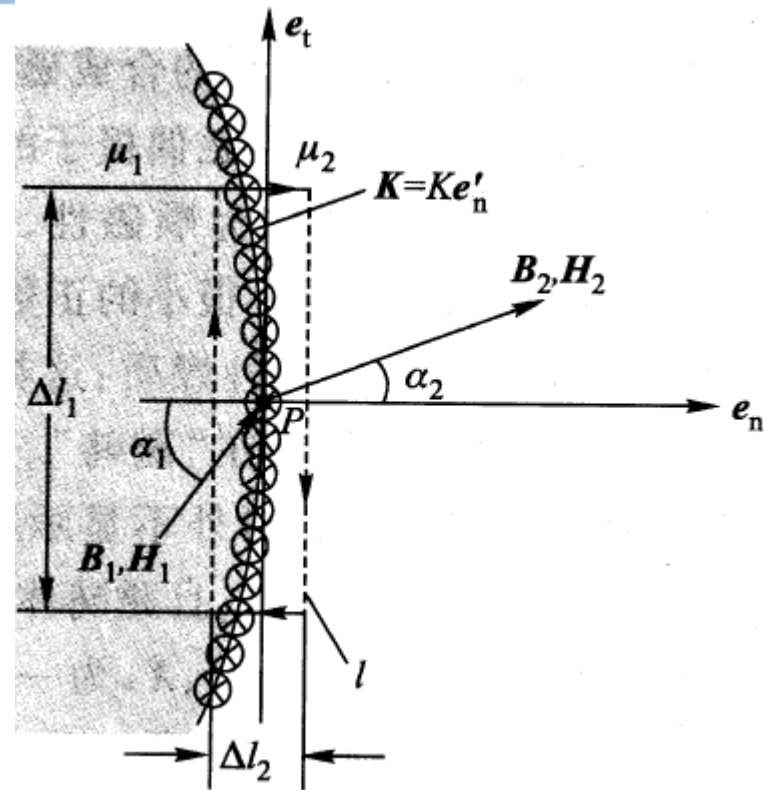
由折射定理可知，只要  $\alpha_1 \neq \pi/2$ ，则  $\alpha_2 \rightarrow 0$

即空气侧场线近似垂直于分界面

➡  $B_{1n} = B_{2n} \quad H_{1t} = H_{2t} \approx 0$

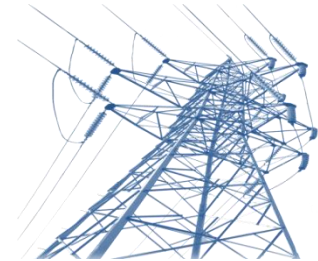
$$H_{1t} = H_{2t}$$

$$\oint_S \mathbf{B} \cdot d\mathbf{S} = 0 \quad \Rightarrow \quad B_{1n} = B_{2n}$$



$$\mathbf{e}_n \times (\mathbf{H}_2 - \mathbf{H}_1) = \mathbf{K}$$

$$\mathbf{e}_n \cdot (\mathbf{B}_2 - \mathbf{B}_1) = 0$$



## 3. 静态电磁场 恒定电流的电场和磁场

### 3.5.3 不同媒质分界面的边界条件

(3) 基于 $\mathbf{A}$ 的表述

$$\left\{ \begin{array}{l} \mathbf{A}_1 = \mathbf{A}_2 \\ \frac{1}{\mu_1} (\nabla \times \mathbf{A}_1)_t - \frac{1}{\mu_2} (\nabla \times \mathbf{A}_2)_t = K \end{array} \right.$$



### 3. 静态电磁场 恒定电流的电场和磁场



#### 3.5.4 场的分布

(1) 基于场量 $\mathbf{H}$ 的分析

例3-15 截面半径 $a \ll R$ ,  $d \ll R$ , 磁导率为 $\mu$ , 求铁心及气隙中 $\mathbf{H}$ ,  $\mathbf{B}$

解: 设 铁心中:  $\mathbf{H}$ ,  $\mathbf{B}$       气隙中:  $\mathbf{H}_\delta$ ,  $\mathbf{B}_\delta$

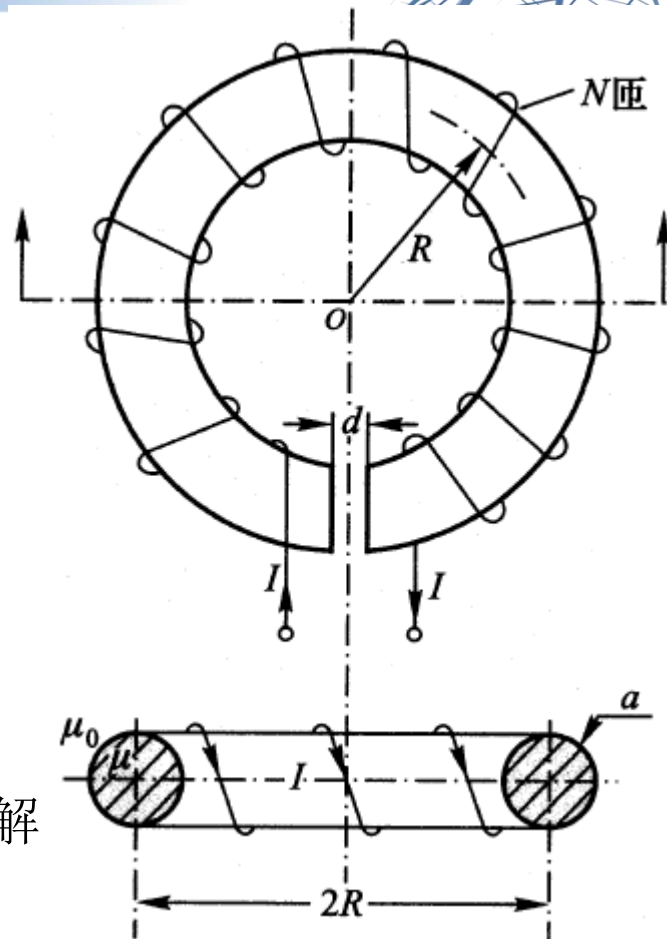
由安培环路定理, 
$$\oint_l \mathbf{H} \cdot d\mathbf{l} = NI$$

$$H_\delta d + H(2\pi R - d) = NI$$

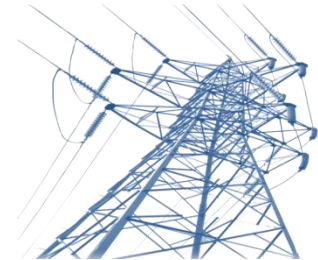
由分界面边界条件,

$$B_n = B_{\delta n} \Rightarrow B = B_\delta \Rightarrow \mu H = \mu_0 H_\delta$$

联立求解



### 3. 静态电磁场 恒定电流的电场和磁场



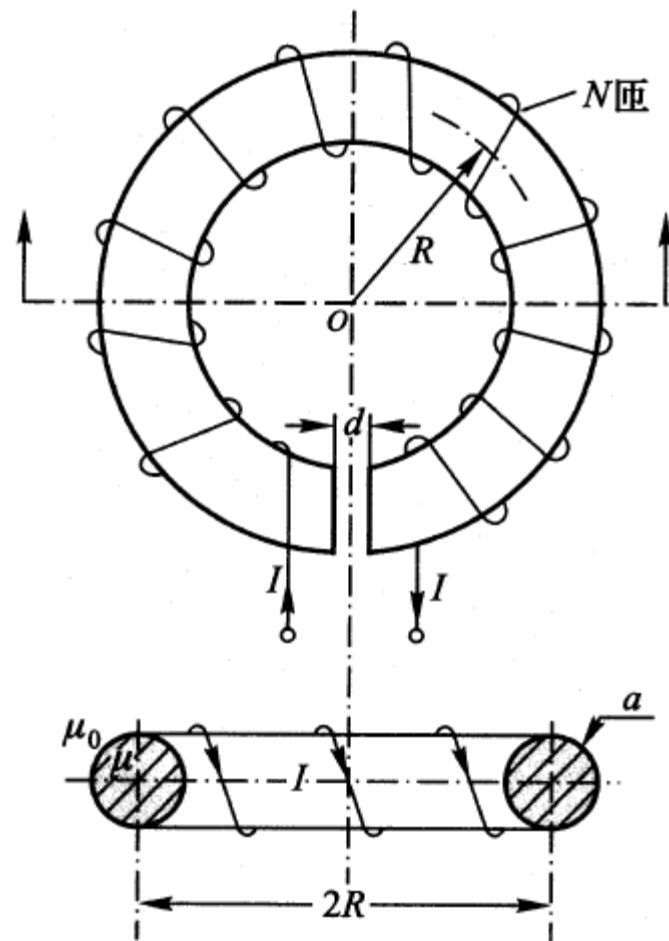
#### 3.5.4 场的分布

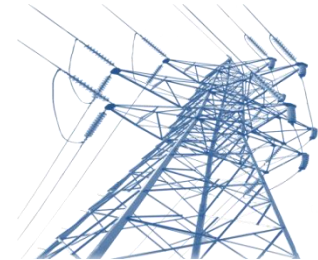
(1) 基于场量 $\mathbf{H}$ 的分析

$$\Rightarrow \mathbf{H} = \frac{NI}{\mu_r d + (2\pi R - d)} \mathbf{e}_\phi \quad \mathbf{B} = \mu \mathbf{H}$$

$$H_\delta = \frac{\mu}{\mu_0} H = \frac{\mu_r NI}{\mu_r d + (2\pi R - d)} \quad B_\delta = \mu_0 H_\delta$$

$$\mathbf{H}_\delta = H_\delta \mathbf{e}_\phi \quad \mathbf{B}_\delta = \mu_0 \mathbf{H}_\delta$$





### 3. 静态电磁场 恒定电流的电场和磁场

#### 3.5.4 场的分布

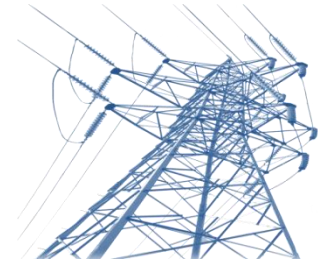
##### (2) 基于边值问题

前面关于磁场的求解:

$$\left. \begin{aligned} \mathbf{B} &= \frac{\mu_0}{4\pi} \int_{V'} \frac{\mathbf{J}_c(\mathbf{r}') \times \mathbf{e}_R}{R^2} dV' \\ \oint_l \mathbf{B} \cdot d\mathbf{l} &= \mu_0 \sum I \\ \oint_l \mathbf{H} \cdot d\mathbf{l} &= \int_S \mathbf{J} \cdot d\mathbf{S} = \sum I \end{aligned} \right\} \text{积分}$$

前面关于磁场的方程:

$$\left. \begin{aligned} \nabla \times \mathbf{H} &= \mathbf{J} \\ \mathbf{B} &= \mu \mathbf{H} \\ \mathbf{B} &= \nabla \times \mathbf{A} \end{aligned} \right\} \text{微分}$$



### 3. 静态电磁场 恒定电流的电场和磁场

#### 3.5.4 场的分布

##### (2) 基于边值问题

$$\left. \begin{aligned} \nabla \times \mathbf{H} &= \mathbf{J}_c \\ \mathbf{B} &= \mu_0 \mathbf{H} \\ \mathbf{B} &= \nabla \times \mathbf{A} \end{aligned} \right\} \nabla \times \nabla \times \mathbf{A} = \nabla (\nabla \cdot \mathbf{A}) - \nabla^2 \mathbf{A} = \mu_0 \mathbf{J}_c$$

分析： 对于矢量场 $\mathbf{A}$ ，需由其散度和旋度唯一确定，故由  $\mathbf{B} = \nabla \times \mathbf{A}$  可知，仍需要定义其散度

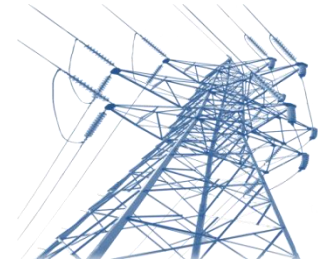
规定：  $\nabla \cdot \mathbf{A} = 0$       库仑规范

$$\nabla^2 \mathbf{A} = -\mu_0 \mathbf{J}_c \quad \Rightarrow \quad \left\{ \begin{aligned} \nabla^2 A_x &= -\mu_0 J_{cx} \\ \nabla^2 A_y &= -\mu_0 J_{cy} \\ \nabla^2 A_z &= -\mu_0 J_{cz} \end{aligned} \right.$$





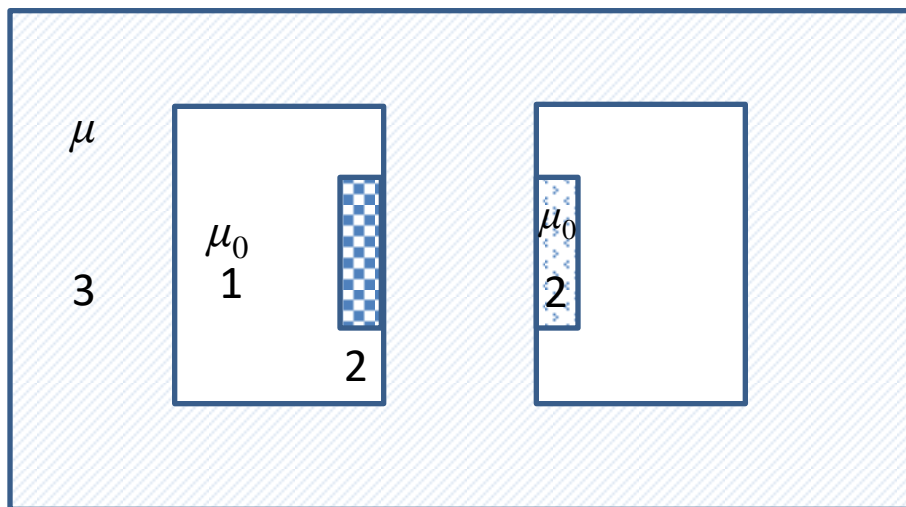
### 3. 静态电磁场 恒定电流的电场和磁场



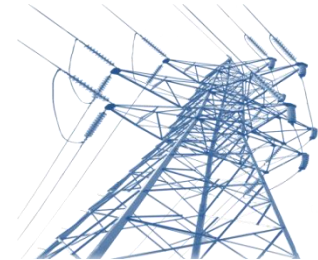
#### 3.5.4 场的分布

##### (2) 基于边值问题

思考题： 对1,2,3区域分别列写关于 $A_z$ 的边值问题，大致画出 $\mathbf{B}$ 线走势。



### 3. 静态电磁场 恒定电流的电场和磁场



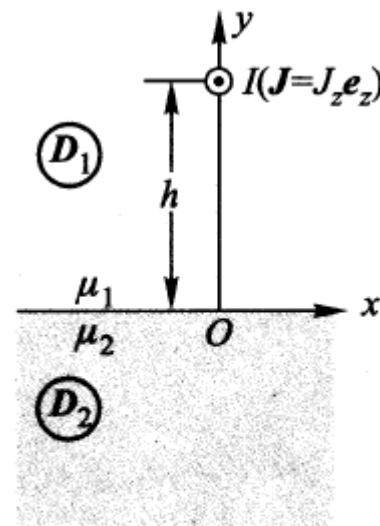
#### 3.5.4 场的分布

(3) 镜像法 与静电场中类似, 根据恒定磁场解的唯一性, 计算和分析无限长直载流导线在空间的磁场问题

$$\left\{ \begin{array}{l} \nabla^2 A_z = -\mu_0 J_{cz} \\ A_{z1}|_{y=0} = A_{z2}|_{y=0} \quad (H_{1t} = H_{2t}) \\ \frac{1}{\mu_1} \frac{\partial A_{z1}}{\partial n} = \frac{1}{\mu_2} \frac{\partial A_{z2}}{\partial n} \quad (B_{1n} = B_{2n}) \end{array} \right.$$

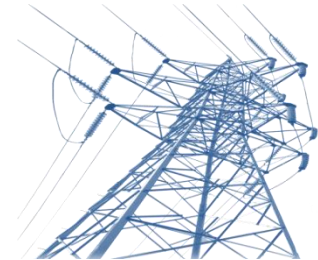


如何取镜像?



(a) 线电流-无限大平表面媒质系统

### 3. 静态电磁场 恒定电流的电场和磁场



#### 3.5.4 场的分布

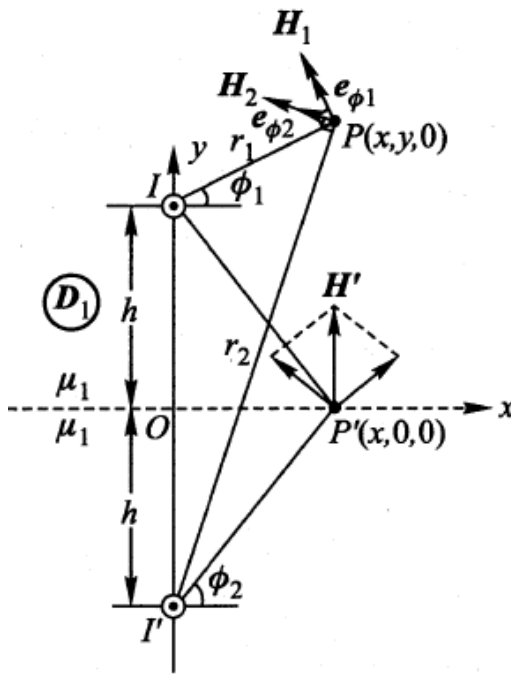
(3) 镜像法 与静电场中类似，根据恒定磁场解的唯一性，计算和分析无限长直载流导线在空间的磁场问题

由

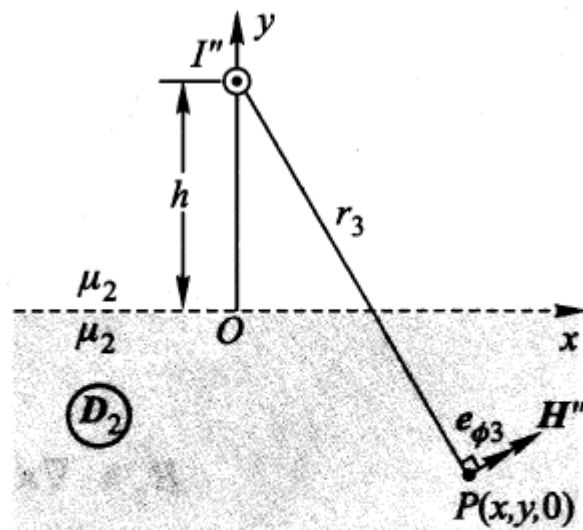
$$\begin{cases} \nabla^2 A_z = -\mu_0 J_{cz} \\ A_{z1}|_{y=0} = A_{z2}|_{y=0} \\ \frac{1}{\mu_1} \frac{\partial A_{z1}}{\partial n} = \frac{1}{\mu_2} \frac{\partial A_{z2}}{\partial n} \end{cases}$$

$$I' = \frac{\mu_2 - \mu_1}{\mu_1 + \mu_2} I$$

$$I'' = \frac{2\mu_1}{\mu_1 + \mu_2} I$$

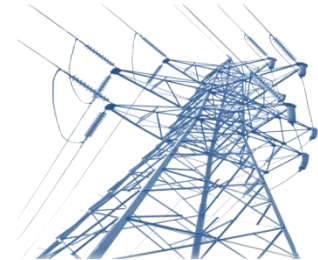


(b) 上半空间磁场的镜像法图示



(c) 下半空间磁场的镜像法图示

### 3. 静态电磁场 恒定电流的电场和磁场



例3-18: 设一根载流为 $I$ 的无限长直导线平行放置在无限大铁磁媒质表面上方, 间距为 $h$ , 试求空气中和铁磁媒质中的磁场

解: 由前面的分析可知,  $\mu_1 = \mu_0, \mu_2 = \mu_\infty$

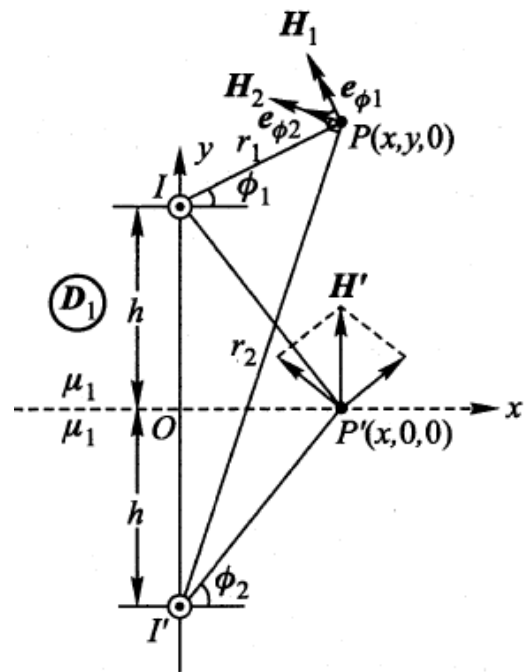
$$\Rightarrow I' = \frac{\mu_2 - \mu_1}{\mu_1 + \mu_2} I = \frac{\mu_\infty - \mu_0}{\mu_0 + \mu_\infty} I \approx I$$

$$I'' = \frac{2\mu_1}{\mu_1 + \mu_2} I = \frac{2\mu_0}{\mu_0 + \mu_\infty} I \approx 0$$

$$\Rightarrow (1) \text{ 上半空间: } \mathbf{H} = \mathbf{H}_1 + \mathbf{H}_2 = \frac{I}{2\pi r_1} \mathbf{e}_{\phi_1} + \frac{I}{2\pi r_2} \mathbf{e}_{\phi_2}$$

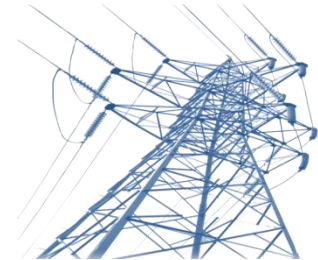
$$\text{其中 } r_1 = \sqrt{x^2 + (y-h)^2} \quad r_2 = \sqrt{x^2 + (y+h)^2}$$

$$\text{由单位矢量转换关系, } \begin{cases} \mathbf{e}_{\phi_1} = -\mathbf{e}_x \sin \phi_1 + \mathbf{e}_y \cos \phi_1 \\ \mathbf{e}_{\phi_2} = -\mathbf{e}_x \sin \phi_2 + \mathbf{e}_y \cos \phi_2 \end{cases}$$



(b) 上半空间磁场的镜像法图示

### 3. 静态电磁场 恒定电流的电场和磁场



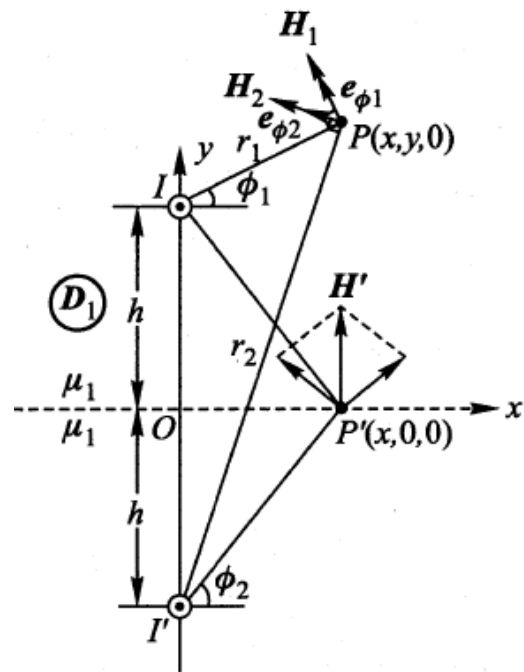
又由

$$\begin{cases} \sin \phi_1 = \frac{y-h}{r_1}; & \cos \phi_1 = \frac{x}{r_1} \\ \sin \phi_2 = \frac{y+h}{r_2}; & \cos \phi_2 = \frac{x}{r_2} \end{cases}$$

$$\begin{aligned} \Rightarrow \mathbf{H} &= \frac{I}{2\pi} \left[ - \left( \frac{y-h}{x^2 + (y-h)^2} + \frac{y+h}{x^2 + (y+h)^2} \right) \right] \mathbf{e}_x \\ &= \frac{I}{2\pi} \left[ \left( \frac{x}{x^2 + (y-h)^2} + \frac{x}{x^2 + (y+h)^2} \right) \right] \mathbf{e}_y \end{aligned}$$

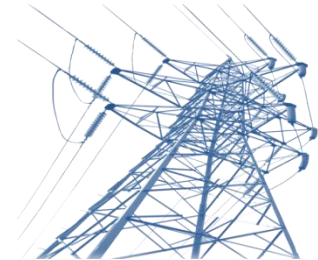
在边界上 ( $y=0$ ) 任意一点处:

$$\mathbf{H}|_{y=0} = \frac{Ix}{\pi(x^2 + h^2)} \mathbf{e}_y$$



(b) 上半空间磁场的镜像法图示

### 3. 静态电磁场 恒定电流的电场和磁场

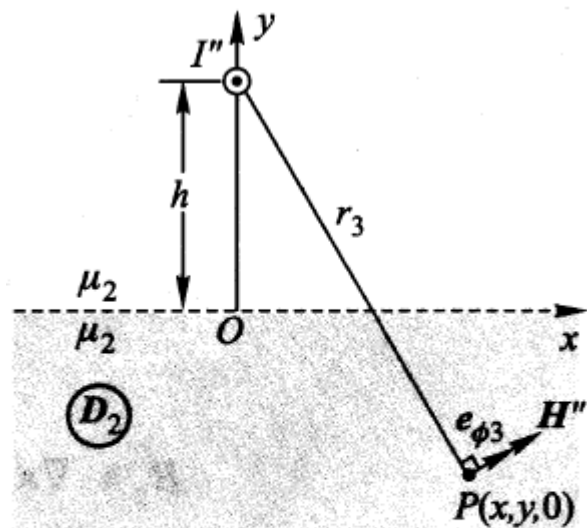


(2) 下半空间

由于  $I'' \approx 0 \Rightarrow H \approx 0$

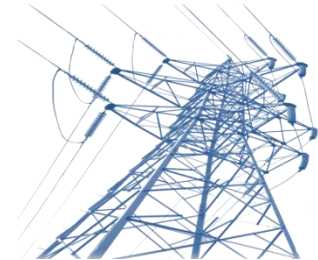
$$\mathbf{B} = \mu \mathbf{H} = \mu_\infty \mathbf{H} = ??$$

$$\begin{aligned} \mathbf{B} &= \mu_\infty \mathbf{H} = \mu_\infty \frac{I''}{2\pi r_3} \mathbf{e}_{\phi 3} = \mu_\infty \frac{2\mu_0}{\mu_0 + \mu_\infty} \frac{I}{2\pi r_3} \mathbf{e}_{\phi 3} \\ &= \frac{\mu_0 I}{2\pi r_3} \mathbf{e}_{\phi 3} \end{aligned}$$



(c) 下半空间磁场的镜像法图示

### 3. 静态电磁场 恒定电流的电场和磁场



#### 3.6 电感

##### 3.6.1 自电感

磁链： 载有电流 $I$ 的线圈，其各匝交链的磁通总和，称之为磁链 $\Psi$ ，也称自感磁链

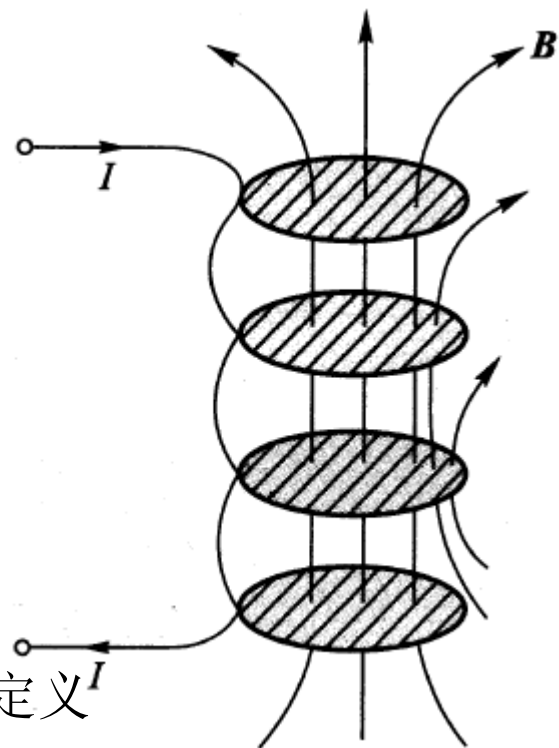
线圈各匝交链的磁通往往并不相同（由于漏磁存在等）

$$\Psi = \sum_{i=1}^M N_i \Phi_i$$

对线性媒质，线圈自感磁链 $\Psi$ 与其励磁电流 $I$ 成正比，定义

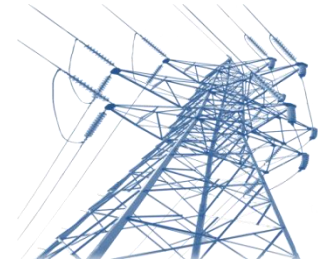
$$L = \frac{\Psi}{I} \quad \text{静态自感系数}$$

对非线性媒质，定义  $L = \frac{d\Psi}{dI}$  静态自感系数





### 3. 静态电磁场 恒定电流的电场和磁场



#### 3.6.1 自电感

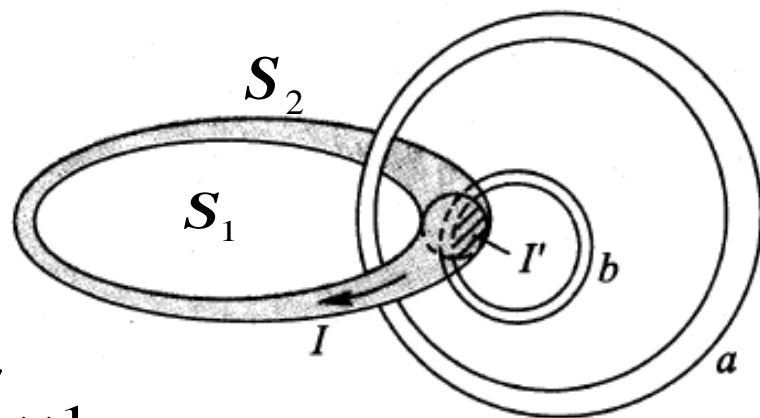
自感磁链： 外磁链+内磁链 （载流导体截面较大，不可忽略时）

a. 外磁链： 与电流完全交链的磁通之和

b. 内磁链： 与电流部分交链的磁通之和

a. 外磁链对应磁通：  $dS_1 \rightarrow d\Phi_1 \rightarrow I \quad 1$

b. 内磁链对应磁通：  $dS_2 \rightarrow d\Phi_2 \rightarrow I' \quad \frac{I'}{I} \times 1$

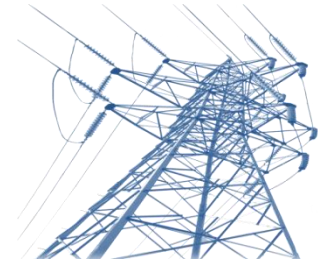


$$d\Psi_o = d\Phi_1 \times 1 \quad \Rightarrow \quad \Psi_o = \int_{S_1} d\Phi_1 \times 1$$

$$d\Psi_i = d\Phi_2 \times \frac{I'}{I} \quad \Rightarrow \quad \Psi_i = \int_{S_2} d\Phi_2 \times \frac{I'}{I}$$

$$L = \frac{\Psi}{I} = \frac{\Psi_i + \Psi_o}{I} = L_i + L_o$$

### 3. 静态电磁场 恒定电流的电场和磁场



#### 3.6.1 自电感

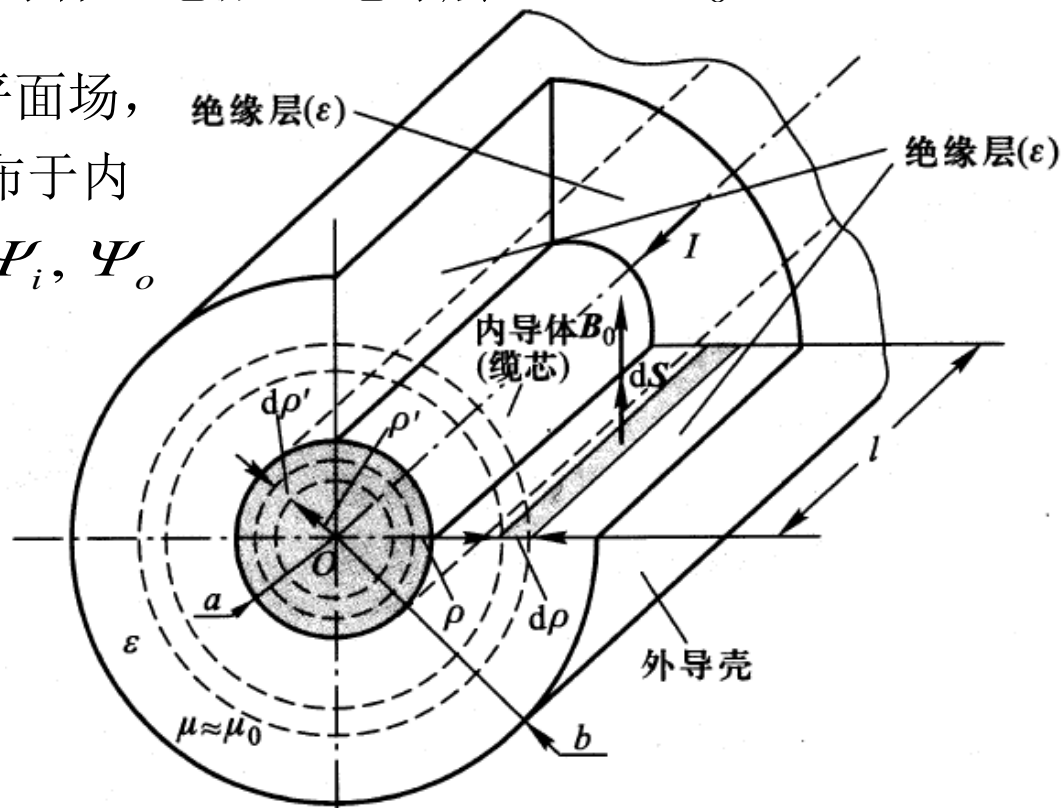
例3-19: 求同轴电缆的自感。外壳厚度可忽略, 导体内外径分别为 $a, b$ , 长度为 $L$ , 远大于 $a, b$ , 内导体总电流 $I$ , 绝缘层  $\mu \approx \mu_0$

解: 由于  $L \gg b$ , 可视为平行平面场, 场具有圆柱对称性, 磁场分布于内导体和绝缘层, 分别对应于  $\Psi_i, \Psi_o$ .

(1) 外磁链 $\Psi_o$ :

$$\begin{aligned}\Psi_o &= \int_{S_1} d\Psi_o = \int_{S_1} d\Phi_o \times 1 \\ &= \int_{S_1} \mathbf{B}_o \cdot d\mathbf{S}\end{aligned}$$

求 $\mathbf{B}_o$ 和 $\mathbf{H}_o$ , 确定面元 $d\mathbf{S}$



### 3. 静态电磁场 恒定电流的电场和磁场



(1) 外磁链 $\psi_o$ :

求 $\mathbf{B}_o$ 和 $\mathbf{H}_o$ .

作半径为 $\rho$ 的环形路径 $l$  ( $a < \rho < b$ )

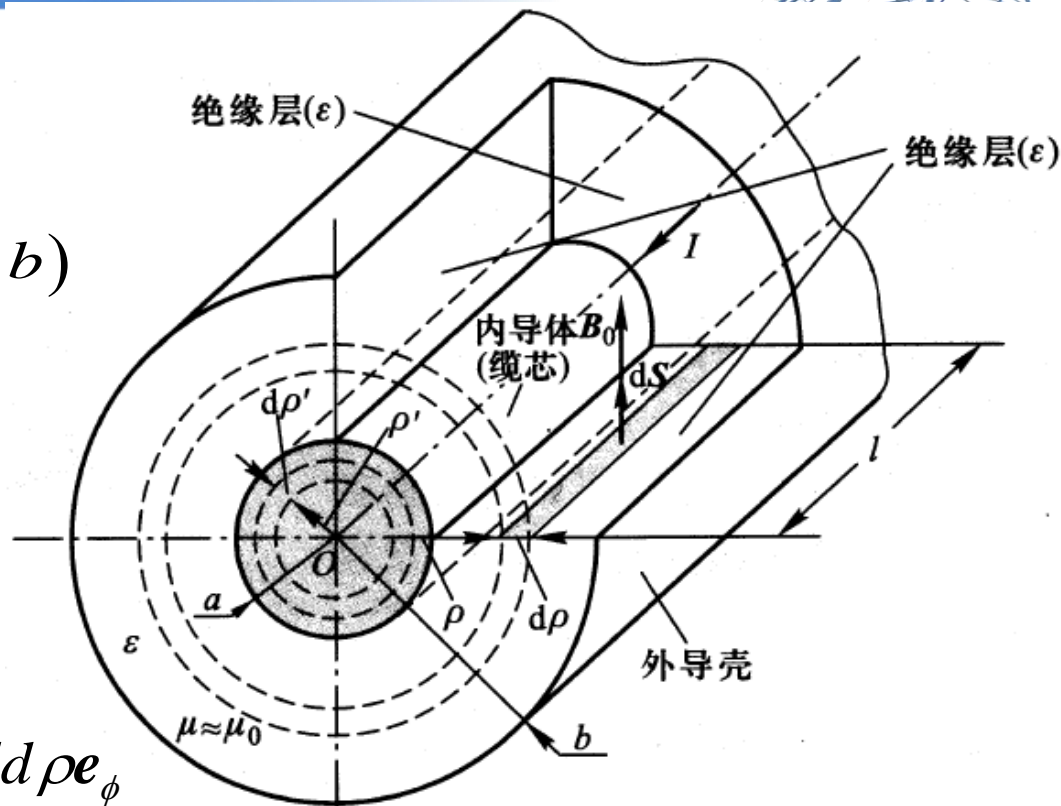
$$\oint_l \mathbf{H}_o \cdot d\mathbf{l} = \oint_l H_o \mathbf{e}_\phi \cdot d\mathbf{l} \mathbf{e}_\phi$$

$$= \oint_l H_o dl = H_o \oint_l dl = I$$

➡  $\mathbf{H}_o = \frac{I}{2\pi\rho} \mathbf{e}_\phi \quad \mathbf{B}_o = \frac{\mu_0 I}{2\pi\rho} \mathbf{e}_\phi$

取长度为 $l$ , 宽为 $d\rho$ 的面元  $d\mathbf{S} = l d\rho \mathbf{e}_\phi$

$$\Psi_o = \int_{S_1} d\Psi_o = \int_{S_1} d\Phi_o = \int_{S_1} \mathbf{B}_o \cdot d\mathbf{S} = \int_a^b \frac{\mu_0 I}{2\pi\rho} l d\rho = \frac{\mu_0 I l}{2\pi} \ln \frac{b}{a}$$



### 3. 静态电磁场 恒定电流的电场和磁场



(2) 内磁链 $\Psi_i$ :

求 $\mathbf{B}_i$ 和 $\mathbf{H}_i$ : 作半径为 $\rho$ 的环形路径 $l$  ( $a < \rho < b$ )

$$\oint_l \mathbf{H}_i \cdot d\mathbf{l} = \oint_l H_i \mathbf{e}_\phi \cdot d\mathbf{l} \mathbf{e}_\phi = \oint_l H_i dl$$

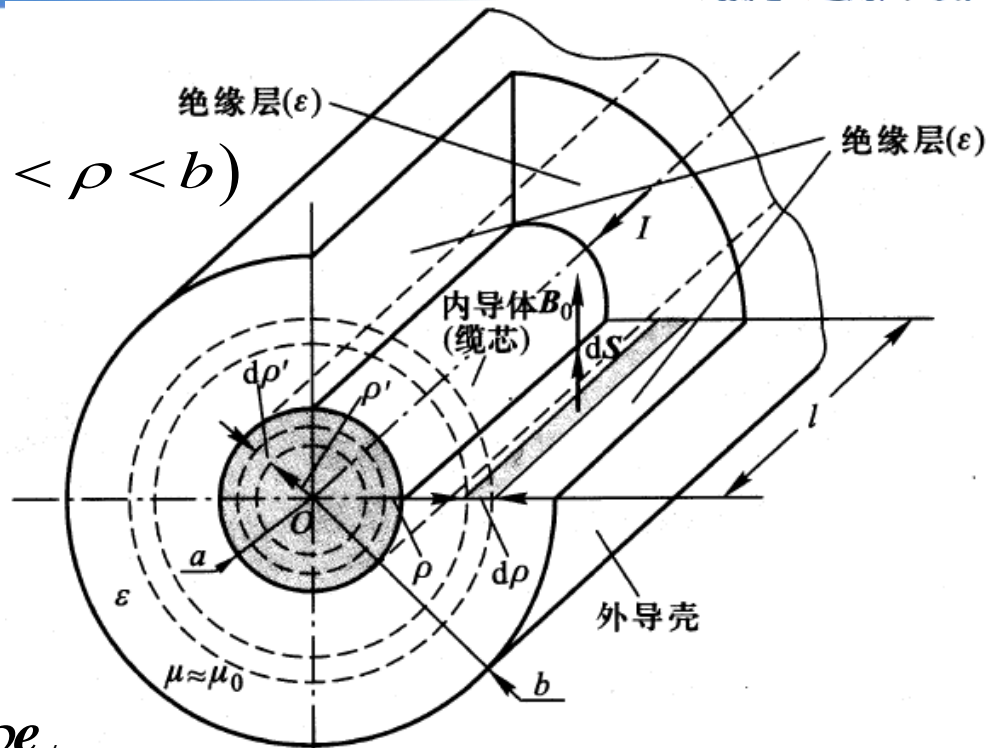
$$= H_i \oint_l dl = I' = \frac{\pi \rho^2}{\pi a^2} I$$

➔  $\mathbf{H}_i = \frac{I \rho}{2\pi a^2} \mathbf{e}_\phi \quad \mathbf{B}_i = \frac{\mu_0 I \rho}{2\pi a^2} \mathbf{e}_\phi$

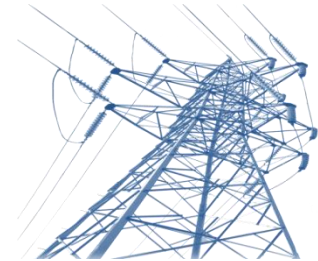
取长度为 $l$ , 宽为 $d\rho$ 的面元  $d\mathbf{S} = l d\rho \mathbf{e}_\phi$

$$\Psi_i = \int_{S_2} d\Psi_i = \int_{S_2} d\Phi_i \times \frac{I}{I'} = \int_{S_2} \frac{I}{I'} \mathbf{B}_i \cdot d\mathbf{S} = \int_0^a \frac{\rho^2}{a^2} \frac{\mu_0 I \rho}{2\pi a^2} l d\rho = \frac{\mu_0 I l}{8\pi}$$

自感:  $L = \frac{\Psi}{I} = \frac{\Psi_i + \Psi_o}{I} = L_i + L_o = \frac{\mu_0 l}{2\pi} \ln \frac{b}{a} + \frac{\mu_0 l}{8\pi}$



### 3. 静态电磁场 恒定电流的电场和磁场



例3-20：计算下图所示两线传输线的自感，线长为 $l$ ，且远大于导线半径 $a$ 和线间距 $D$ 。

解：

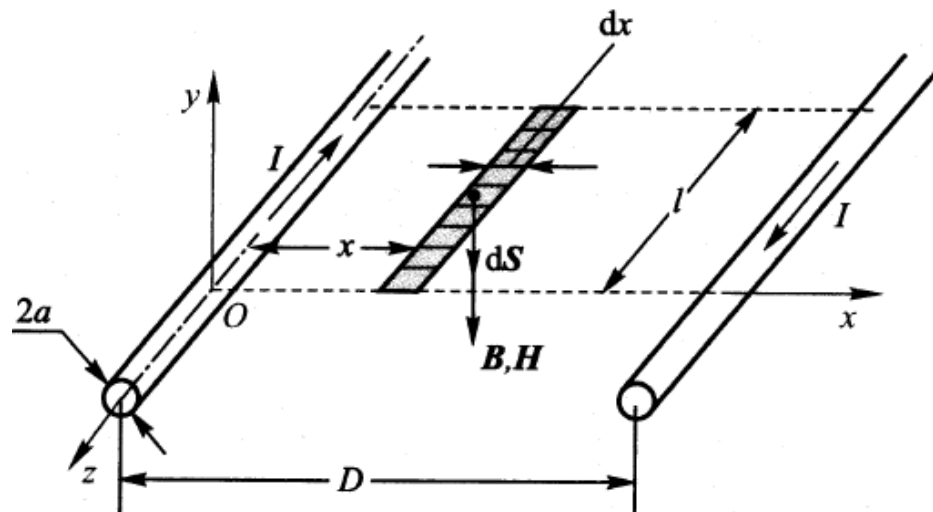
(1) 由前面分析可知，双线传输线的内自感只与长度有关，

$$L_i = \frac{\mu_0}{8\pi} 2l = \frac{\mu_0 l}{4\pi}$$

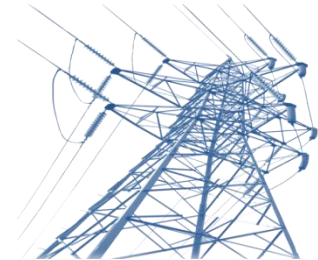
(2) 外自感，可按照如下求解

$$\Psi_o = \int_S d\Psi_o = \int_S d\Phi_o = \int_S \mathbf{B}_o \cdot d\mathbf{S} = \int_S \mu_0 \mathbf{H}_o \cdot d\mathbf{S}$$

由安培环路和叠加定理，坐标为 $x$ 处的 $\mathbf{H}$

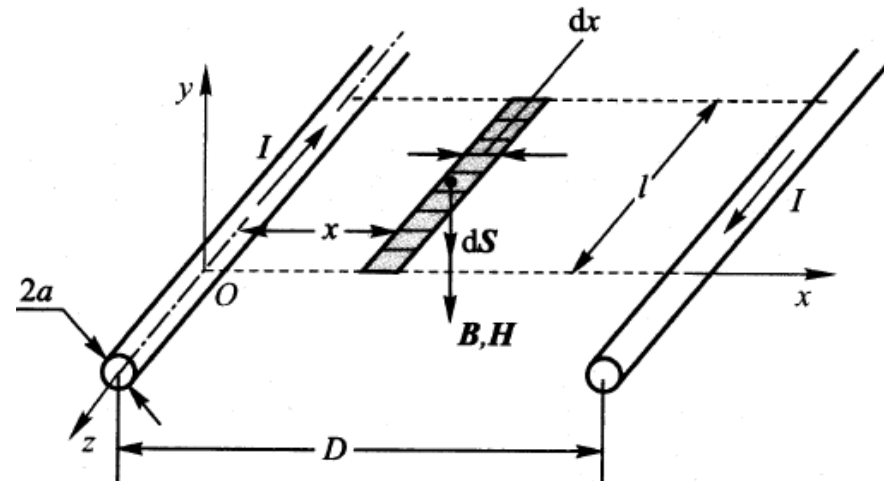


### 3. 静态电磁场 恒定电流的电场和磁场



$$\mathbf{H}_o = \left[ \frac{I}{2\pi x} + \frac{I}{2\pi(D-x)} \right] (-\mathbf{e}_y)$$

取长度为 $l$ ，宽为 $dx$ 的面元  $d\mathbf{S} = ldx(-\mathbf{e}_y)$



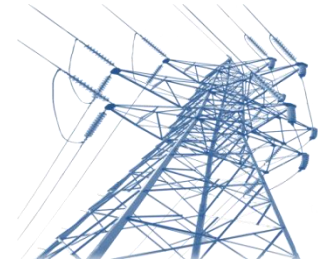
$$\Psi_o = \int_S d\Psi_o = \int_S \mathbf{B}_o \cdot d\mathbf{S} = \int_S \mu_0 \mathbf{H}_o \cdot d\mathbf{S}$$

$$= \frac{\mu_0 I l}{2\pi} \int_a^{D-a} \left( \frac{1}{x} + \frac{1}{D-x} \right) dx = \frac{\mu_0 I l}{\pi} \ln \frac{D-a}{a}$$

$$L = L_i + L_o = \frac{\Psi_i + \Psi_o}{I} = \frac{\mu_0 l}{4\pi} + \frac{\mu_0 l}{\pi} \ln \frac{D-a}{a}$$

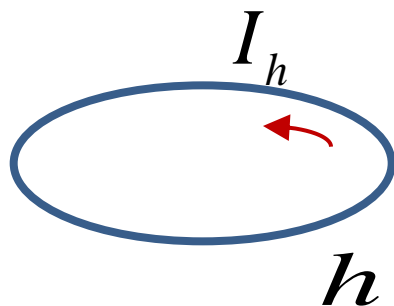


### 3. 静态电磁场 恒定电流的电场和磁场



#### 3.6.2 互电感

线性媒质中，若一个线圈 $k$ 的磁链由另一个线圈 $h$ 的电流 $I_h$ 产生，记为互感磁链 $\psi_{kh}$ ，定义线圈 $h$ 对线圈 $k$ 的静态互感系数



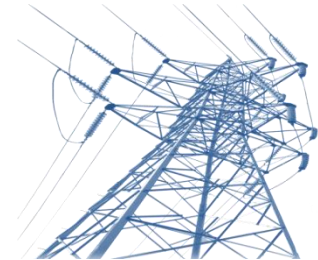
$$M_{kh} = \frac{\Psi_{kh}}{I_h}$$

$$M_{hk} = \frac{\Psi_{hk}}{I_k}$$

可证： $M_{kh} = M_{hk}$



### 3. 静态电磁场 恒定电流的电场和磁场



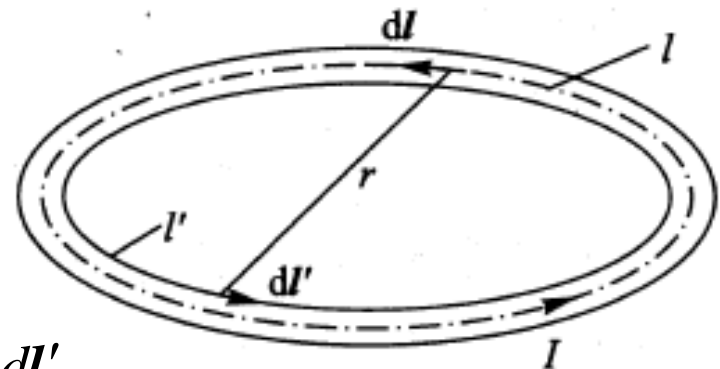
#### 3.6.3 线形回路电感（截面可忽略）

由于截面可忽略，线电流 $I$ 可看作集中在单匝回路中心轴线 $l$ 上流动，

$$\Psi_o = \Phi_o = \int \mathbf{B}_o \cdot d\mathbf{S} = \oint_{l'} \mathbf{A} \cdot d\mathbf{l}'$$

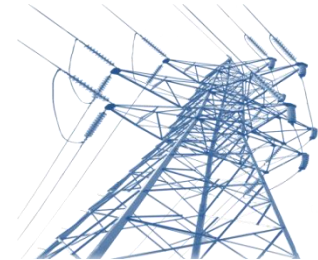
$$\text{由 } \mathbf{A}(\mathbf{r}) = \frac{\mu_0}{4\pi} \int_l \frac{I}{R} d\mathbf{l}$$

$$\Rightarrow \Psi_o = \Phi_o = \frac{\mu_0}{4\pi} \oint_{l'} \left( \oint_l \frac{I}{R} d\mathbf{l} \right) \cdot d\mathbf{l}' = \frac{\mu_0 I}{4\pi} \oint_{l'} \oint_l \frac{d\mathbf{l} \cdot d\mathbf{l}'}{R}$$



对于多匝细导线绕制的线圈，其通过电流 $I$ 时所产生的磁通，可近似认为是，单匝电流 $I$ 所产生的磁通的 $N$ 倍，且该磁通与全部 $N$ 匝线圈交链，

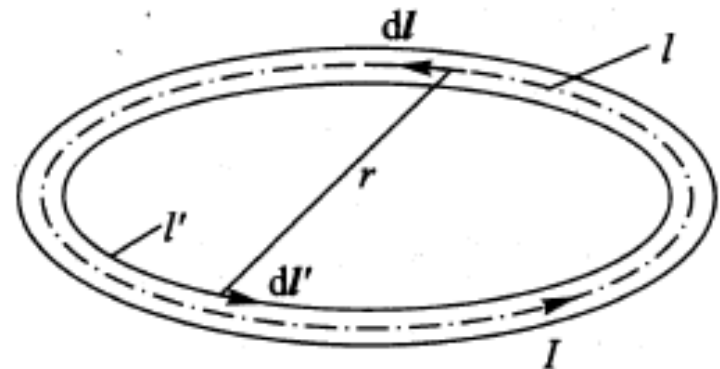
### 3. 静态电磁场 恒定电流的电场和磁场



#### 3.6.3 线形回路电感（截面可忽略）

外自感为

$$\begin{aligned} L_o &= \frac{\Psi'}{I} = \frac{N\Phi_o'}{I} = N \frac{N\Phi_o}{I} = \frac{N^2\Phi_o}{I} \\ &= \frac{N^2\mu_0 I}{4\pi} \oint_{l'} \oint_l \frac{dl \cdot dl'}{R} \end{aligned}$$



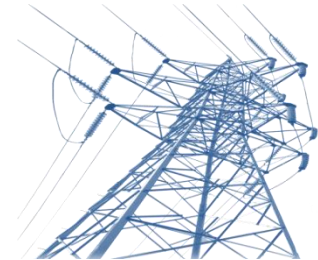
内自感：

当回路任何部位的曲率半径都大于截面半径时，其内自感等同于无限长直导线，只与其长度 $l$ 有关，

$$L_i = \frac{\mu_0 l}{8\pi I} \quad (\ll L_o)$$

$$L = L_i + L_o \approx L_o$$

### 3. 静态电磁场 恒定电流的电场和磁场



#### 3.6.3 线形回路电感（截面可忽略）

两线形回路互感：

$$\Psi_{12} = \Phi_{12} = \oint_{l_1} \mathbf{A}_P \cdot d\mathbf{l}_1 = \frac{\mu_0 I_2}{4\pi} \oint_{l_1} \oint_{l_2} \frac{d\mathbf{l}_2 \cdot d\mathbf{l}_1}{R}$$

回路2对回路1的互感：

$$M_{12} = \frac{\Psi_{12}}{I_2} = \frac{\mu_0}{4\pi} \oint_{l_1} \oint_{l_2} \frac{d\mathbf{l}_2 \cdot d\mathbf{l}_1}{R}$$

同理可知，回路1对回路2的互感为

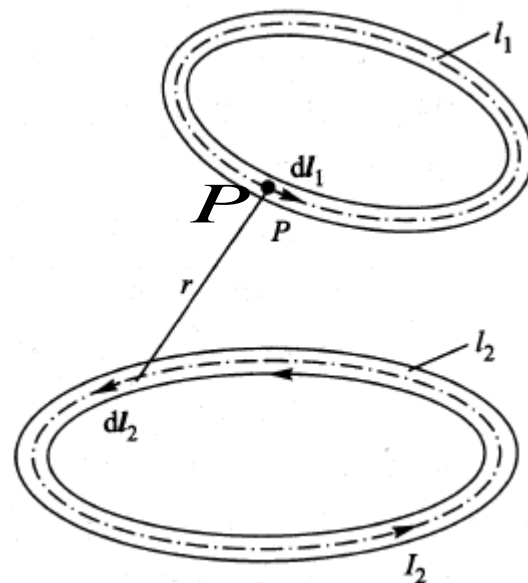
$$M_{12} = \frac{\Psi_{12}}{I_2} = \frac{\mu_0}{4\pi} \oint_{l_1} \oint_{l_2} \frac{d\mathbf{l}_2 \cdot d\mathbf{l}_1}{R}$$

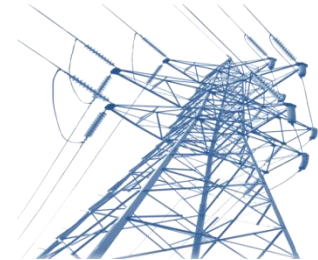


$$M_{12} = M_{21}$$

当两个回路的匝数分别为 $N_1$ 和 $N_2$ 时，

$$M_{12} = M_{21} = \frac{N_1 N_2 \mu_0}{4\pi} \oint_{l_1} \oint_{l_2} \frac{d\mathbf{l}_2 \cdot d\mathbf{l}_1}{R}$$





### 3. 静态电磁场 恒定电流的电场和磁场

#### 3.7 磁场能量

##### 3.7.1 载流回路系统中的磁场能量

设电流*i*由零逐渐增加至终值，并引起感应电动势 $e = -d\Psi / dt$ ，外电源克服感应电动势提供给线圈能量  $dW = uidt$  ( $u = -e$ )

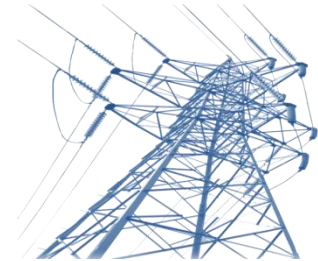
$$dW = i \left( \frac{d\Psi}{dt} \right) dt = id(Li) = Lidi$$

假设过程中无能量损失（机械能、焦耳热等），电源做功转化为磁场能量，

$$dW_m = dW = Lidi$$

$$\Rightarrow W_m = \int dW_m = \int_0^I Lidi = \frac{1}{2} LI^2 \quad \left\{ \begin{array}{l} \text{单个回路电感: } L = 2W_m / I^2 \\ \text{磁场能量: } W_m = LI^2 / 2 = I\Psi / 2 \end{array} \right.$$





## 3. 静态电磁场 恒定电流的电场和磁场

### 3.7.1 载流回路系统中的磁场能量

$N$ 个载流回路系统:

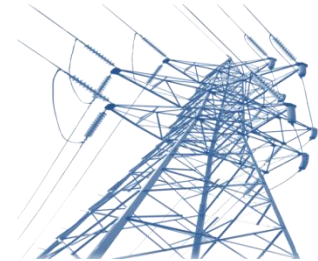
设磁场建立过程如下: 各回路电流按照同一比例增长 ( $0 \rightarrow I_k$ ), 增长的比例系数为  $m$  ( $0 \leq m \leq 1$ ), 则增长过程中某一时刻  $k$  回路电流为  $i_k(t) = m(t) I_k$ , 与回路  $k$  交链的磁通  $\Psi'_k = m \Psi_k$ , 在  $dt$  时间内, 外源在  $n$  个载流回路中作功,

$$\begin{aligned} dW_m = dW &= \sum_{k=1}^n i_k d\Psi'_k = \sum_{k=1}^n m I_k d(m \Psi_k) \\ &= \sum_{k=1}^n m I_k \Psi_k dm \end{aligned}$$

当回路达到最终状态, 外源所作总功:



# 3. 静态电磁场 恒定电流的电场和磁场



## 3.7.1 载流回路系统中的磁场能量

$$W_m = \int dW_m = \sum_{k=1}^n I_k \Psi_k \int_0^1 m dm = \frac{1}{2} \sum_{k=1}^n I_k \Psi_k$$

对于第 $k$ 个载流回路， $\Psi_k$ 为自感磁链与互感磁链之和，即

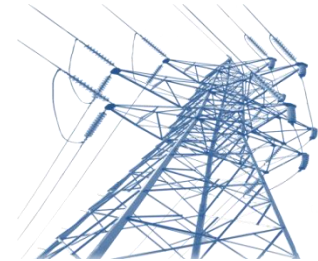
$$\begin{aligned} \Psi_k &= (\Psi_L)_k + (\Psi_M)_k = L_k I_k + M_{k1} I_1 + M_{k2} I_2 + \dots + M_{kn} I_n \\ &= L_k I_k + \sum_{h=1, h \neq k}^n M_{kh} I_h \end{aligned}$$



对于第 $k$ 个载流回路， $\Psi_k$ 为自感磁链与互感磁链之和，即

$$W_m = \frac{1}{2} L_1 I_1^2 + \frac{1}{2} L_2 I_2^2 + \dots + \frac{1}{2} L_n I_n^2 + (M_{12} I_1 I_2 + M_{13} I_1 I_3 + \dots + M_{n-1,n} I_{n-1} I_n)$$

### 3. 静态电磁场 恒定电流的电场和磁场



#### 3.7.1 载流回路系统中的磁场能量

$$= \frac{1}{2} \sum_{k=1}^n L_k I_k^2 + \frac{1}{2} \sum_{k=1}^n \sum_{h=1, h \neq k}^n M_{kh} I_k I_h$$

由前一节分析可知，对于某个单匝的线形回路，以 $k$ 回路为例，其磁链 $\psi_k$ 为

$$\Psi_k = \oint_{l_k'} \mathbf{A}_k \cdot d\mathbf{l}_k' \quad \mathbf{A}_k: \text{各回路电流在} k \text{号回路上} d\mathbf{l}_k' \text{处产生的合磁矢量位}$$

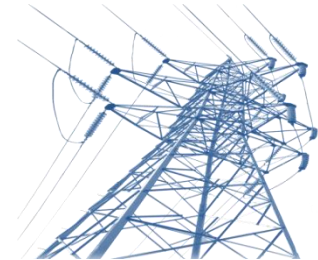
$$W_m = \frac{1}{2} \sum_{k=1}^n I_k \Psi_k = \frac{1}{2} \sum_{k=1}^n I_k \oint_{l_k'} \mathbf{A}_k \cdot d\mathbf{l}_k' = \frac{1}{2} \sum_{k=1}^n \oint_{l_k'} \mathbf{A}_k \cdot \boxed{I_k d\mathbf{l}_k'} \rightarrow \text{元电流}$$

$$\rightarrow W_m = \frac{1}{2} \sum_{k=1}^n \int_{V_k'} \mathbf{A}_k \cdot \mathbf{J}_k dV_k' = \frac{1}{2} \int_{V'} \mathbf{A} \cdot \mathbf{J} dV' \quad (V' = V_1' + V_2' + \dots + V_k') \quad \mathbf{J}_k dV_k'$$

静电场:

$$W_e = \frac{1}{2} \int_{V'} \rho \phi dV'$$





### 3. 静态电磁场 恒定电流的电场和磁场

#### 3.7.2 磁场能量分布及其密度

$$\mathbf{A} \leftrightarrow \mathbf{B} = \nabla \times \mathbf{A}$$

$$\mathbf{J} \leftrightarrow \nabla \times \mathbf{H} = \mathbf{J}$$

$$\Rightarrow W_m = \frac{1}{2} \int_V \mathbf{B} \cdot \mathbf{H} dV \quad w_m = \frac{1}{2} \mathbf{B} \cdot \mathbf{H} \xrightarrow{\text{线性、各向同性}} = \frac{1}{2} \mu H^2 = \frac{B^2}{2\mu}$$

求磁场能量:

$$W_m = \frac{1}{2} \sum_{k=1}^n I_k \Psi_k$$

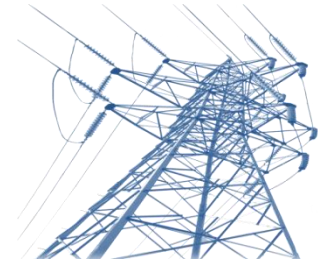
$$W_m = \frac{1}{2} \sum_{k=1}^n L_k I_k^2 + \frac{1}{2} \sum_{k=1}^n \sum_{h=1, h \neq k}^n M_{kh} I_k I_h \quad \text{电路参数}$$

$$W_m = \frac{1}{2} \int_V \mathbf{B} \cdot \mathbf{H} dV \quad \text{场空间}$$

$$W_m = \frac{1}{2} \int_{V'} \mathbf{A} \cdot \mathbf{J} dV' \quad \text{源空间}$$



### 3. 静态电磁场 恒定电流的电场和磁场



例3-23：求同轴电缆的单位长磁场能量。

解（1）基于电路参数计算，前面已经求出过同轴电缆单位长电感为，

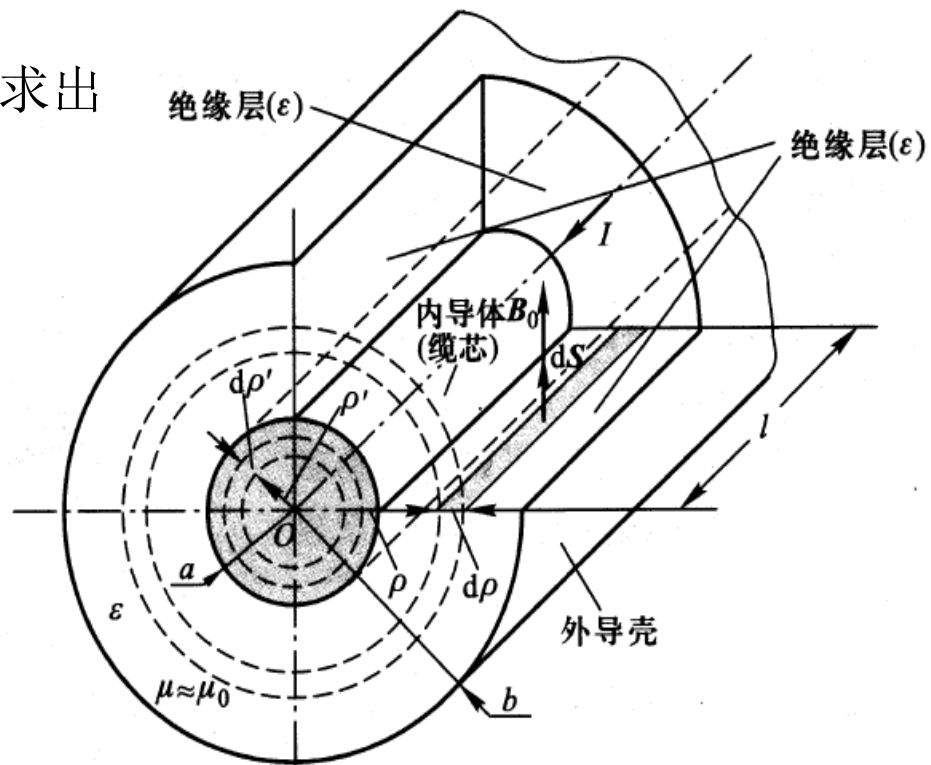
$$L = \frac{\mu_0}{2\pi} \left( \ln \frac{b}{a} + \frac{1}{4} \right)$$

➡ 
$$W_m = \frac{1}{2} L I^2 = \frac{\mu_0 I^2}{4\pi} \left( \ln \frac{b}{a} + \frac{1}{4} \right)$$

（2）基于场分布计算，

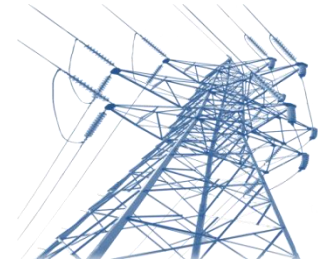
内导体：
$$\mathbf{H}_i = \frac{I\rho}{2\pi a^2} \mathbf{e}_\phi$$

外导体：
$$\mathbf{H}_o = \frac{I}{2\pi\rho} \mathbf{e}_\phi$$



➡ 
$$W_{mi} = \frac{1}{2} \int_V \mathbf{B}_i \cdot \mathbf{H}_i dV = \frac{1}{2} \int_V \mu H_i^2 dV$$

### 3. 静态电磁场 恒定电流的电场和磁场



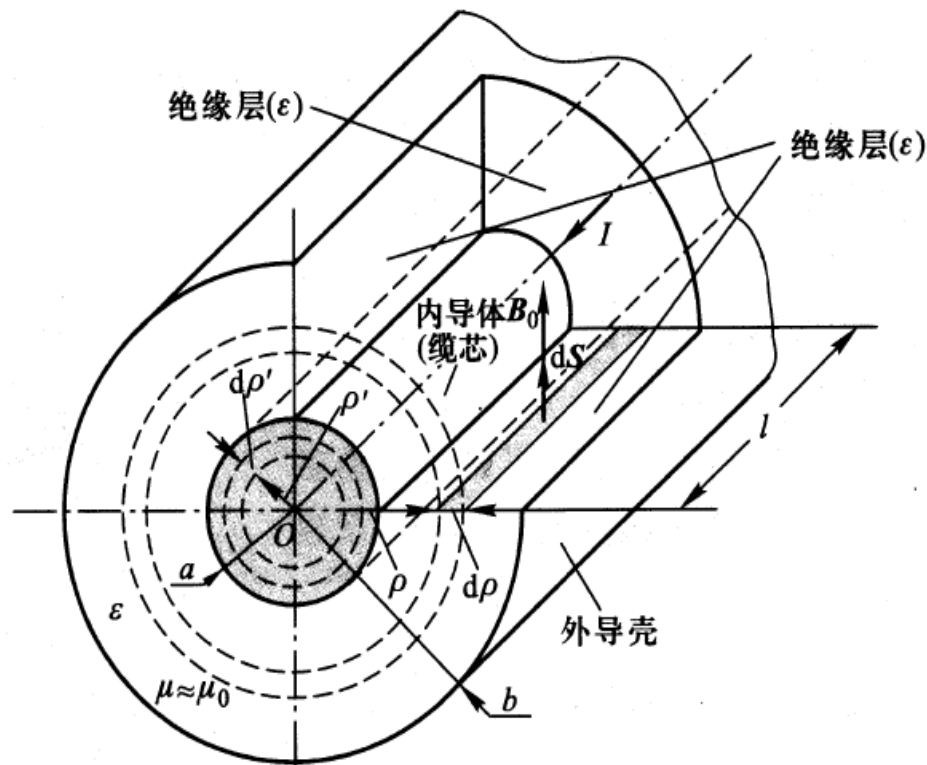
$$= \int_0^a \int_0^{2\pi} \frac{\mu_0}{2} \left( \frac{I\rho}{2\pi a^2} \right) \rho d\phi d\rho = \frac{\mu_0 I^2}{16\pi}$$

$$W_{mo} = \frac{1}{2} \int_V \mathbf{B}_o \cdot \mathbf{H}_o dV = \frac{1}{2} \int_V \mu H_o^2 dV$$

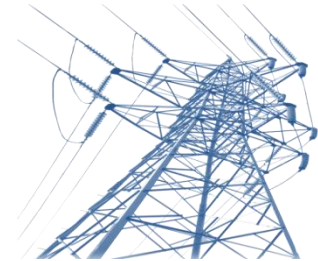
$$= \int_a^b \int_0^{2\pi} \frac{\mu_0}{2} \left( \frac{I}{2\pi\rho} \right) \rho d\phi d\rho$$

$$= \frac{\mu_0 I^2}{4\pi} \ln \frac{b}{a}$$

$$W_m = W_{mi} + W_{mo} = \frac{\mu_0 I^2}{16\pi} + \frac{\mu_0 I^2}{4\pi} \ln \frac{b}{a} = \frac{\mu_0 I^2}{4\pi} \left( \ln \frac{b}{a} + \frac{1}{4} \right)$$



# 3. 静态电磁场 恒定电流的电场和磁场



## 3.8 磁场力

磁场对运动电荷的力:  $d\mathbf{F} = dq(\mathbf{v} \times \mathbf{B})$

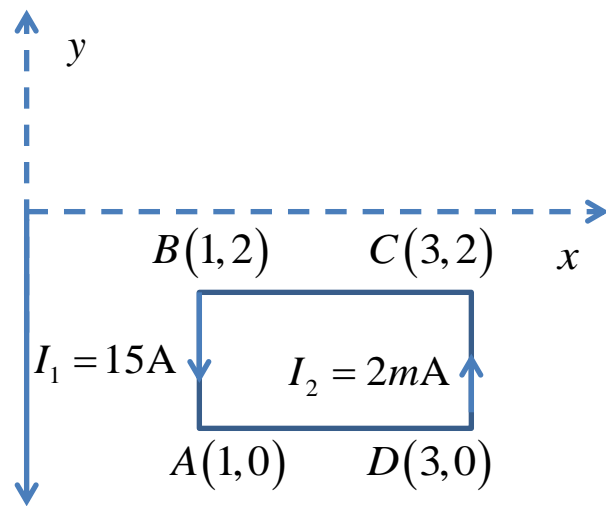
磁场对元电流的力:  $d\mathbf{F} = I d\mathbf{l} \times \mathbf{B}$

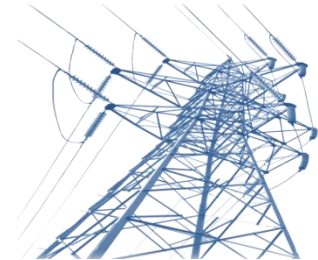
对整个载流回路:  $d\mathbf{F} = \oint_l I d\mathbf{l} \times \mathbf{B} = -I \oint_l \mathbf{B} \times d\mathbf{l}$

例: 求载流回路受合力

解: 设回路是刚性的, 总力为各边受力之和,

$$\begin{aligned} d\mathbf{F} &= \oint_{l_2} I_2 d\mathbf{l} \times \mathbf{B} = -I_2 \oint_{l_2} \mathbf{B} \times d\mathbf{l} \\ &= -2 \times 10^{-3} \left( \int_{BA} \mathbf{B}_1 \times d\mathbf{l} + \int_{DC} \mathbf{B}_1 \times d\mathbf{l} \right) \\ &= -2 \times 10^{-3} \times \left( \int_{BA} \frac{\mu_0 I_1}{2\pi \times 1} \mathbf{e}_z \times d\mathbf{l} (-\mathbf{e}_y) + \int_{DC} \frac{\mu_0 I_1}{2\pi \times 3} \mathbf{e}_z \times d\mathbf{l} (-\mathbf{e}_y) \right) \end{aligned}$$





### 3. 静态电磁场 恒定电流的电场和磁场

#### 3.8 磁场力

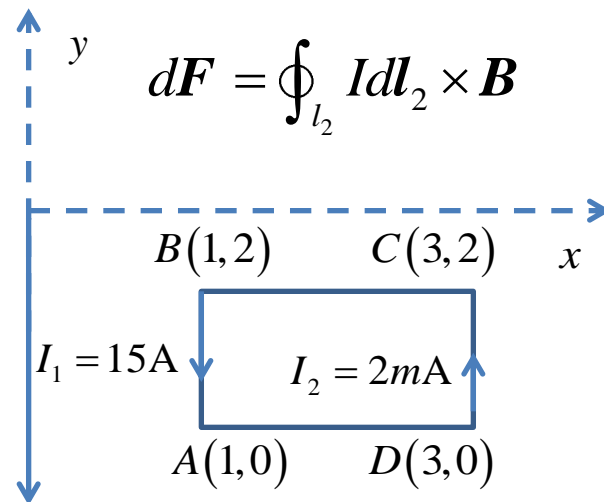
$$\begin{aligned}
 &= -2 \times 10^{-3} \times 4\pi \times 10^{-7} \left( \int_{BA} \frac{I_1}{2\pi \times 1} d\mathbf{l} \mathbf{e}_x + \int_{DC} \frac{I_1}{2\pi \times 3} d\mathbf{l} \mathbf{e}_x \right) \\
 &= -2 \times 10^{-3} \times 4\pi \times 10^{-7} \times 15 \times \left( \int_{BA} \frac{1}{2\pi \times 1} dl + \int_{DC} \frac{1}{2\pi \times 3} dl \right) \mathbf{e}_x \\
 &= -8 \times 10^{-9} \mathbf{e}_x \text{ (N)} = -8 \mathbf{e}_x \text{ (nN)}
 \end{aligned}$$

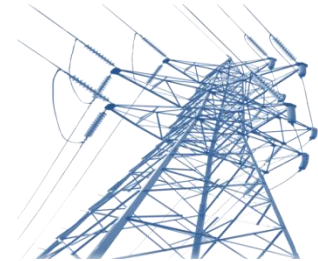
思考：求载流直导线为载流回路？

$$\mathbf{B}(\mathbf{r}) = \frac{\mu_0}{4\pi} \oint_{l_1} \frac{I d\mathbf{l}_1 \times \mathbf{e}_R}{R^2}$$

$$\mathbf{F}(\mathbf{r}) = \frac{\mu_0}{4\pi} \oint_{l_2} \oint_{l_1} (I_2 d\mathbf{l}_2) \times \frac{I_1 d\mathbf{l}_1 \times \mathbf{e}_R}{R^2}$$

麻烦





### 3. 静态电磁场 恒定电流的电场和磁场

#### 3.8 磁场力

虚位移法：

由功能守恒可得  $dW = dW_m + Fdg$

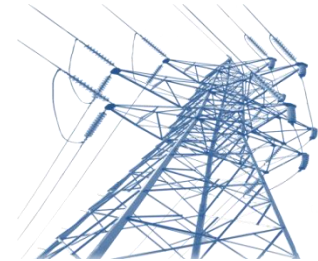
$$dW = uidt = id\Psi \left( = \sum i_k d\Psi_k \right) \quad \text{外源输入系统的能量}$$

$$dW_m = \frac{1}{2} \sum i_k d\Psi_k \quad \text{广义坐标} dg \text{变化引起磁场能量变化}$$

$$Fdg \quad dg \text{方向的广义力做功}$$



### 3. 静态电磁场 恒定电流的电场和磁场



#### 3.8 磁场力

(1) 常电流系统  $I_k$  不变, 磁链变化量为  $d\psi_k$

外源提供能量, 故由  $dW = dW_m + Fdg$

$$\left\{ \begin{array}{l} dW = \sum i_k d\Psi_k \\ dW_m = \frac{1}{2} \sum i_k d\Psi_k \end{array} \right. \Rightarrow Fdg = dW_m \Big|_{I_k=C} \Rightarrow F = \frac{dW_m}{dg} \Big|_{I_k=C}$$

(2) 常磁链系统  $I_k$  变化, 磁链不变, 即  $d\psi_k$

$$\text{由 } d\Psi_k = 0 \rightarrow dW = 0 \Rightarrow Fdg = -dW_m \Big|_{\Psi_k=C} \Rightarrow F = -\frac{dW_m}{dg} \Big|_{\Psi_k=C}$$

广义力  $F$  的方向: 广义坐标  $dg$  增大的方向



### 3. 静态电磁场 恒定电流的电场和磁场



例3-24：两线传输线系统，求导线所受到的力

解：基于电路参数计算，前面已经求出过同轴电缆单位长电感为，

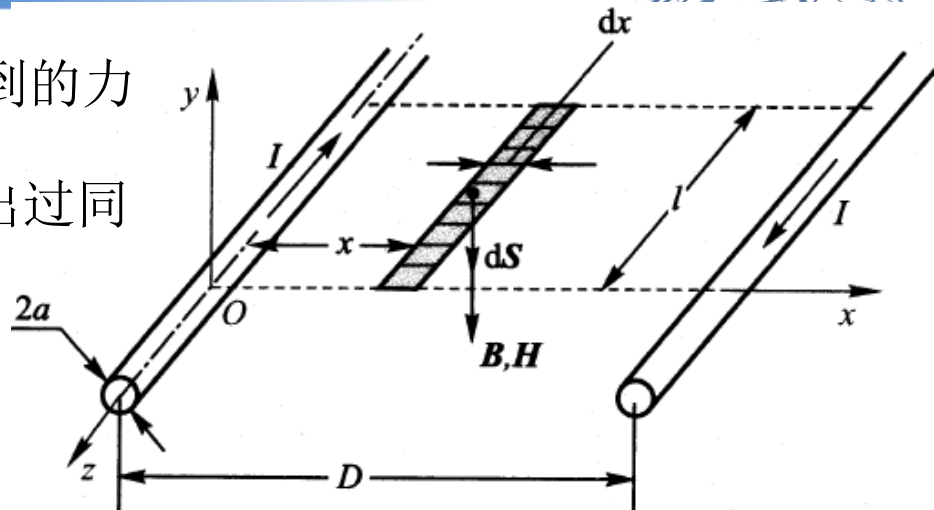
$$L = \frac{\mu_0 l}{\pi} \left( \frac{1}{4} + \ln \frac{D-a}{a} \right) \\ \approx \frac{\mu_0 l}{\pi} \left( \frac{1}{4} + \ln \frac{D}{a} \right)$$

系统能量  $W_m = \frac{1}{2} L I^2 \approx \frac{\mu_0 I^2 l}{2\pi} \left( \frac{1}{4} + \ln \frac{D}{a} \right)$

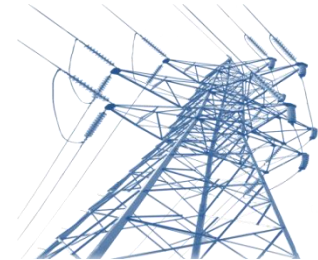
设系统为常电流系统，由虚位移法，若取广义坐标为 $D$ ，导线1受力为

$$F_1 = \left. \frac{dW_m}{dD} \right|_{I_k=C} = \frac{1}{2} I^2 \frac{dL}{dD} = \frac{\mu_0 I^2 l}{2\pi D}$$

正方向 $\mathbf{e}_x$ ，即 $D$ 增大的方向



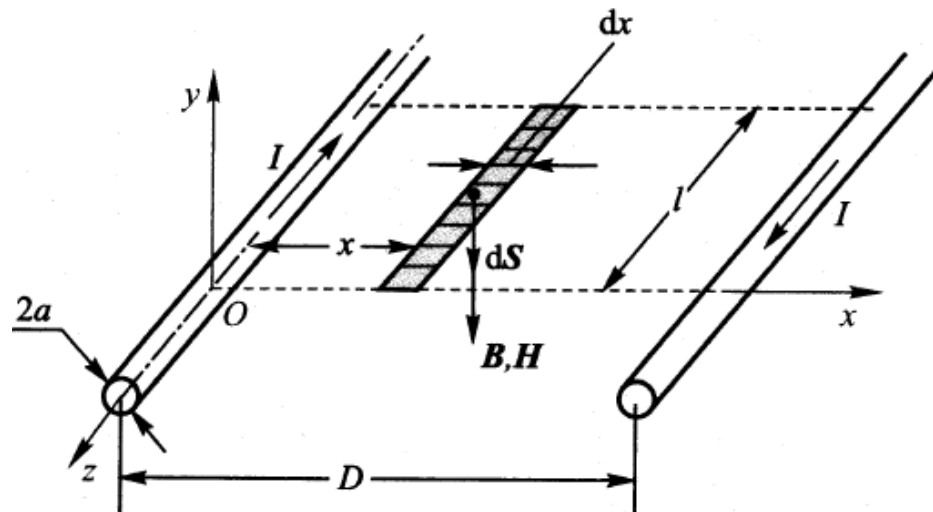
### 3. 静态电磁场 恒定电流的电场和磁场



若取广义坐标为 $a$ ，导线1受力为

$$F_2 = \left. \frac{dW_m}{da} \right|_{I_k=C} = \frac{1}{2} I^2 \frac{dL}{da} = -\frac{\mu_0 I^2 l}{2\pi a}$$

正方向 $\mathbf{e}_\rho$ ，即 $a$ 增大的方向

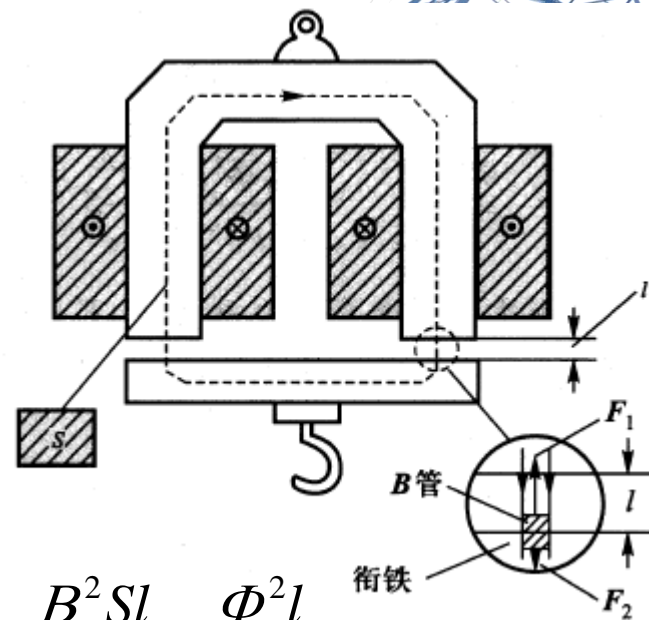


### 3. 静态电磁场 恒定电流的电场和磁场



例3-26: 求电磁铁对衔铁的吸力, 已知铁心截面面积为 $S$ , 空气隙长度为 $l$ , 忽略边缘效应, 认为气隙中磁密 $B$ 均匀分布

解: 由于已知尺寸等参数, 磁密 $B$ 亦可认为均匀分布, 故可以假定系统是常磁链系统,



$$\text{系统能量: } W_m = \frac{B^2}{2\mu} \times 2Sl' + \frac{B^2}{2\mu_0} \times 2Sl \approx \frac{B^2}{2\mu_0} \times 2Sl = \frac{B^2 Sl}{\mu_0} = \frac{\Phi^2 l}{\mu_0 S}$$

由虚位移法, 若取广义坐标为 $l$ , 衔铁受力为

$$F = - \left. \frac{dW}{dg} \right|_{\Phi=C} = - \frac{dW}{dl} = - \frac{\Phi^2}{\mu_0 S} = - \frac{B^2 S}{\mu_0} \quad \text{正方向 } \mathbf{e}_y, \text{ 即 } l \text{ 增大的方向}$$